Jahresbericht 2019

Luftgütemessungen der Umweltschutzabteilung der Stadt Wien

gemäß Immissionsschutzgesetz – Luft
MA 22 –376947/2020 1. Juli 2020



Inhaltsverzeichnis

| 1 | Ube | rsicht | |
|---|------|--|----|
| | 1.1 | Schadstoffe gemäß IG-L | 2 |
| | 1.2 | Ozon | 4 |
| | 1.3 | Messtechnische Änderungen gegenüber dem Vorjahr | 5 |
| 2 | Allg | emeine Informationen | 6 |
| | 2.1 | Gesetzliche Grundlagen | 6 |
| | 2.2 | Grenzwerte, Zielwerte und Alarmwerte gemäß IG-L | 6 |
| | | 2.2.1 Grenzwerte | 8 |
| | | 2.2.2 Zielwert | 9 |
| | | 2.2.3 Alarmwerte | 9 |
| | 2.3 | Informationswerte, Zielwerte und Alarmwerte gemäß Ozongesetz | 9 |
| | | 2.3.1 Informations- und Warnwerte für Ozon | |
| | | 2.3.2 Zielwerte für Ozon | |
| 3 | Erg | ebnisse kontinuierlicher Messungen | 11 |
| | 3.1 | Schwefeldioxid (SO ₂) | 11 |
| | 3.2 | Feinstaub PM ₁₀ | 14 |
| | 3.3 | Feinstaub PM _{2,5} | 20 |
| | 3.4 | Stickstoffdioxid (NO ₂) | 23 |
| | 3.5 | Kohlenmonoxid (CO) | 29 |
| | 3.6 | Ozon (O ₃) | 31 |
| 4 | Erg | ebnisse diskontinuierlicher Analysen | 38 |
| | 4.1 | Benzol | 38 |
| | 4.2 | Benzo(a)pyren | 39 |
| | 4.3 | Schwermetalle im PM ₁₀ | 40 |
| | 4.4 | Staubniederschlag | 43 |
| | 4.5 | Blei im Staubniederschlag | 44 |
| | 4.6 | Kadmium im Staubniederschlag | 45 |
| 5 | Vor | erkundungsmessungen | 46 |
| 6 | Aus | blick | 47 |
| 7 | Anh | ang | 49 |
| | 7.1 | Abkürzungen | 49 |
| | 7.2 | Umrechnungsfaktoren | 51 |

| 8 | Lite | ratur | | 62 |
|---|------|-------|--|----|
| | | 7.6.2 | Herleitung der Kalibrierfunktionen | 58 |
| | | 7.6.1 | Verwendete Kalibrierfunktionen | 57 |
| | 7.6 | Nachv | veis der Äquivalenz und Herleitung von Kalibrierfunktionen | 57 |
| | 7.5 | Messu | nsicherheiten | 55 |
| | 7.4 | Messv | erfahren | 53 |
| | 7.3 | Messs | tellen im Jahr 2019 | 52 |
| | | | | |

Abbildungsverzeichnis

| Abbildung 1: Schwefeldioxid Messstellen | 11 |
|--|----|
| Abbildung 2: gemittelte Schwefeldioxid Jahresmittelwerte von 2010 bis 2019 | 13 |
| Abbildung 3: Feinstaub PM ₁₀ Messstellen | 14 |
| Abbildung 4: Anzahl der Tage mit einem Tagesmittelwert über 50 μg/m³ von 2010 bis 2019 | 16 |
| Abbildung 5: gemittelte Feinstaub PM ₁₀ Jahresmittelwerte von 2010 bis 2019 | 19 |
| Abbildung 6: Feinstaub PM _{2,5} Messstellen | 20 |
| Abbildung 7: gemittelte PM _{2,5} Jahresmittelwerte von 2010 bis 2019 | 22 |
| Abbildung 8: Stickstoffdioxid Messstellen | 23 |
| Abbildung 9: gemittelte Stickstoffdioxid Jahresmittelwerte von 2010 bis 2019 | 27 |
| Abbildung 10: gemittelte Stickstoffoxid Jahresmittelwerte von 2010 bis 2019 | 28 |
| Abbildung 11: Kohlenmonoxid Messstellen | 29 |
| Abbildung 12: gemittelte Kohlenmonoxid Jahresmittelwerte von 2010 bis 2019 | 30 |
| Abbildung 13: Ozon Messstellen | 31 |
| Abbildung 14: Ozon Überschreitungen in Wien im Jahr 2019 – Belastungsbild | 34 |
| Abbildung 15: gemittelte Ozon Jahresmittelwerte von 2010 bis 2019 | 35 |
| Abbildung 16: Maximaler Ozon-Einstundenwert eines Jahres von 2010 bis 2019 | 36 |
| Abbildung 17: Ozon, AOT40 gemittelt über 5 Jahre in Wien | 37 |
| Abbildung 18: Benzol Jahresmittelwerte von 2010 bis 2019 | 38 |
| Abbildung 19: Bezo(a)pyren Jahresmittelwerte 2010 bis 2019 | 39 |
| Abbildung 20: Blei in PM ₁₀ – Jahresmittelwerte von 2010 bis 2019 | 40 |
| Abbildung 21: Arsen in PM $_{10}$ – Jahresmittelwerte von 2010 bis 2019 | 41 |
| Abbildung 22: Kadmium in PM - Labresmittelwerte von 2010 bis 2019 | 42 |

| Abbildung 23: Nickel in PM ₁₀ – Jahresmittelwerte von 2010 bis 2019 | 42 |
|--|----|
| Abbildung 24: Staubniederschlag – Jahresmittelwerte von 2010 bis 2019 | 43 |
| Abbildung 25: Blei im Staubniederschlag – Jahresmittelwerte von 2010 bis 2019 | 44 |
| Abbildung 26: Kadmium im Staubniederschlag – Jahresmittelwerte von 2010 bis 2019 | 45 |
| Abbildung 27: Messstellen des Wiener Luftmessnetzes | 52 |

Tabellenverzeichnis

| Tabelle 1: Anzahl der überwachten Luftschadstoffe seit 2013 in den Messstellen | 1 |
|--|----|
| Tabelle 2: Überschreitungsübersicht 2019 für Schwefeldioxid (SO ₂) | 2 |
| Tabelle 3: Überschreitungsübersicht 2019 für Feinstaub der Fraktion PM ₁₀ | 2 |
| Tabelle 4: Überschreitungsübersicht 2019 für Feinstaub der Fraktion PM _{2,5} | 3 |
| Tabelle 5: Überschreitungsübersicht 2019 für Stickstoffdioxid (NO ₂) | 3 |
| Tabelle 6: Überschreitungsübersicht 2019 für Kohlenmonoxid (CO) | 3 |
| Tabelle 7: Überschreitungsübersicht 2019 für diskontinuierlich erfasste Schadstoffe | 4 |
| Tabelle 8: Überschreitungsübersicht 2019 für Ozon (O $_3$) | 4 |
| Tabelle 9: Übersicht über die im IG-L festgelegten Grenzwerte | 8 |
| Tabelle 10: Übersicht über die im IG-L festgelegten Zielwerte | 9 |
| Tabelle 11: Übersicht der im IG-L festgelegten Alarmwerte | 9 |
| Tabelle 12: Übersicht der Ozon Informations- und Alarmschwellwerte | 9 |
| Tabelle 13: Ozon Zielwerte bezüglich Gesundheits- und Vegetationsschutz | 10 |
| Tabelle 14: Schwefeldioxid Monatsmittelwerte im Jahr 2019 | 12 |
| Tabelle 15: PM_{10} -Jahresmittelwerte und Anzahl der Tage mit TMW > 50 μg/m³ 2019 | 15 |
| Tabelle 16: Feinstaub PM ₁₀ : Tage mit Tagesmittelwerten größer 50 μg/m³ im Jahr 2019 | 16 |
| Tabelle 17: Feinstaub PM ₁₀ Monatsmittelwerte im Jahr 2019 | 17 |
| Tabelle 18: Anzahl der Tage mit PM ₁₀ Überschreitungen im Jahr 2019 | 18 |
| Tabelle 19: Feinstaub PM _{2,5} Monatsmittelwerte im Jahr 2019 | 21 |
| Tabelle 20: Stickstoffdioxid Grenzwertüberschreitungen in Wien im Jahr 2019 | 24 |
| Tabelle 21: Stickstoffdioxid Zielwertüberschreitungen in Wien im Jahr 2019 | 24 |
| Tabelle 22: Stickstoffdioxid Monatsmittelwerte in Wien im Jahr 2019 | 25 |

| Tabelle 23: Stickstoffoxid Monatsmittelwerte in Wien im Jahr 2019 | 26 |
|---|----|
| Tabelle 24: Kohlenmonoxid Monatsmittelwerte in Wien im Jahr 2019 | 29 |
| Tabelle 25: Ozon-Episoden in Nordostösterreich im Jahr 2019 (Informationsschwelle) | 32 |
| Tabelle 26: Ozon-Episoden in Wien im Jahr 2019 (Informationsschwelle) | 32 |
| Tabelle 27: Ozon-Zielwertüberschreitungen in Wien im Jahr 2019 | 33 |
| Tabelle 28: Ozon Monatsmittelwerte in Wien im Jahr 2019 | 33 |
| Tabelle 29: Anzahl der Ozon – Überschreitungstage in Wien im Jahr 2019 | 34 |
| Tabelle 30: Schwermetalle in PM ₁₀ – Jahresmittelwerte in Wien von 2010 bis 2019 | 40 |
| Tabelle 31: PM ₁₀ Erfassung an Wiener Messstellen | 47 |
| Tabelle 32: PM _{2,5} Erfassung an Wiener Messstellen | 48 |
| Tabelle 33: Mittelwerte | 49 |
| Tabelle 34: Luftschadstoffe | 50 |
| Tabelle 35: Meteorologie | 50 |
| Tabelle 36: Einheiten | 51 |
| Tabelle 37: Bezeichnungen – allgemein | 51 |
| Tabelle 38: Umrechnung der Mischungsverhältnisse | 51 |
| Tabelle 39: Überblick über die kontinuierlichen Messverfahren | 53 |
| Tabelle 40: Überblick über die diskontinuierlichen Messverfahren | 55 |
| Tabelle 41: rel. erweiterte kombinierte Messunsicherheiten für Einstundenmittelwerte 2019 | 56 |
| Tabelle 42: rel. erweiterte kombinierte Messunsicherheiten für Jahresmittelwerte 2019 | 56 |
| Tabelle 43: rel. erweiterte Messunsicherheiten für kontinuierliche Feinstaub-Jahresmittelwerte 2019 | 56 |
| Tabelle 44: Kalibrierfunktionen für äquivalente PM ₁₀ -Ergebnisse des Jahres 2019 | 57 |
| Tabelle 45: Kalibrierfunktionen für äquivalente PM _{2,5} -Ergebnisse des Jahres 2019 | 58 |

| abelle 46: Ergebnisse der PM ₁₀ -Äquivalenzüberprüfung mit dem Messgerätetyp Grimm EDM-180 für gan | Z |
|--|----|
| lien ohne die Stationen "A23-Wehlistraße" und "Kendlerstraße" | 59 |
| abelle 47: Ergebnisse der PM ₁₀ -Äquivalenzüberprüfung mit dem Messgerätetyp Grimm EDM-180 für die | |
| tation "A23-Wehlistraße" | 59 |
| abelle 48: Ergebnisse der PM ₁₀ -Äquivalenzüberprüfung mit dem Messgerätetyp Grimm EDM-180 für die | |
| tation "Kendlerstraße" | 50 |
| abelle 49: Ergebnisse der PM _{2,5} -Äquivalenzüberprüfung mit dem Messgerätetyp Grimm EDM-180 für Wie | n |
| nne der Station "A23-Wehlistraße" | 61 |
| abelle 50: Ergebnisse der PM _{2,5} -Äquivalenzüberprüfung mit dem Messgerätetyp Grimm EDM-180 für die | |
| tation "A23-Wehlistraße" | 61 |

1 Übersicht

Der vorliegende Bericht präsentiert die Ergebnisse der Immissionsmessungen des Jahres 2019, durchgeführt vom Luftmessnetz der Stadt Wien. Die Beurteilung der Wiener Luftgüte erfolgt dabei anhand der im Immissionsschutzgesetz-Luft (IG-L) [1], sowie im Ozongesetz (OzonG) [5] festgelegten Luftqualitätskriterien. Die folgende Aufstellung (Tabelle 1) gibt einen Überblick über die überwachten Luftschadstoffe und die Anzahl der entsprechenden Messstationen. Eine detaillierte Darstellung der Messausstattung im Wiener Luftgütemessnetz und der genauen Position der Stationen kann dem Abschnitt 7.3 entnommen werden.

| Überblick über die gesetzlich zu überwachenden Luftschadstoffe | | | | | | | | | | |
|--|-----------|--------------------------|----------------|--------------------|------|------|------|------|------|------|
| Kamanananta | gesetzl. | MKV ¹ Methode | | Anzahl Messstellen | | | | | | |
| Komponente | Grundlage | MINV | Methode | 2013 | 2014 | 2015 | 2016 | 2017 | 2018 | 2019 |
| SO ₂ | IG-L | 4 | kontinuierlich | 7 | 7 | 7 | 7 | 7 | 7 | 6 |
| NO ₂ | IG-L | 12 | kontinuierlich | 17 | 17 | 17 | 16 | 16 | 16 | 16 |
| CO | IG-L | 1 | kontinuierlich | 4 | 4 | 4 | 3 | 3 | 3 | 3 |
| O ₃ | OzonG | 5 | kontinuierlich | 5 | 5 | 5 | 5 | 5 | 5 | 5 |
| PM ₁₀ | IG-L | 12 | kontinuierlich | 13 | 13 | 13 | 13 | 13 | 13 | 13 |
| PM _{2,5} | IG-L | 6 | kontinuierlich | 6 | 6 | 6 | 6 | 6 | 6 | 13 |
| Blei im PM ₁₀ | IG-L | >0 ² | Stichproben | 1 | 1 | 1 | 1 | 1 | 1 | 1 |
| Schwermetalle im PM ₁₀ | IG-L | >0 ² | Stichproben | 1 | 1 | 1 | 1 | 1 | 1 | 1 |
| Benzo(a)pyren | IG-L | 2 | Stichproben | 2 | 2 | 2 | 2 | 2 | 3 | 3 |
| Benzol | IG-L | 2 | Stichproben | 2 | 2 | 2 | 2 | 2 | 2 | 2 |
| Staubniederschlag | IG-L | >0 ² | Stichproben | 2 | 2 | 2 | 2 | 2 | 2 | 2 |
| Cd im Staub- niederschlag | IG-L | >0 ² | Stichproben | 2 | 2 | 2 | 2 | 2 | 2 | 2 |
| Pb im Staub- niederschlag | IG-L | >0 ² | Stichproben | 2 | 2 | 2 | 2 | 2 | 2 | 2 |

Tabelle 1: Anzahl der überwachten Luftschadstoffe seit 2013 in den Messstellen

1

¹ Mindestanzahl an Messstationen laut IG-L Messkonzeptverordnung (IG-L-MKV) 2012 [2] bzw. Ozonmesskonzeptverordnung (Ozon-MKV) [6].

² In der IG-L-MKV ist keine Mindestanzahl an Messstationen festgelegt. Gemäß § 6 hat der Landeshauptmann jedoch Messstellen zu betreiben, um die Einhaltung des vorgegebenen Grenzwertes zu kontrollieren.

1.1 Schadstoffe gemäß IG-L

Schwefeldioxid (SO₂)

Im Jahr 2019 wurden der Alarmwert und die Grenzwerte für SO₂ an allen sieben Messstellen eingehalten:

| Schwefeldioxid SO₂ (6 Messstellen) – Überschreitungen 2019 | | | | | | |
|--|------------------|--------------------|--|--|--|--|
| Grenz-/Alarmwert | Überschreitungen | maximaler Messwert | | | | |
| Alarmwert:500 µg/m³ als MW3 | keine | 161 µg/m³ | | | | |
| Grenzwert:200 µg/m³ als HMW³ | keine | 334 μg/m³ | | | | |
| Grenzwert:120 µg/m³ als TMW | keine | 23 μg/m³ | | | | |

Tabelle 2: Überschreitungsübersicht 2019 für Schwefeldioxid (SO₂)

Pro Kalenderjahr dürfen an einer Messstelle pro Tag drei Halbstundenmittelwerte (höchstens jedoch 48 pro Kalenderjahr) im Bereich 200 bis 350 μ g/m³ liegen, ohne dass der Grenzwert als überschritten gilt. Im Jahr 2019 wurden insgesamt 2 Halbstundenmittelwerte über der Schwelle von 200 μ g/m³ gemessen. Betroffen war die Messstelle Kaiser-Ebersdorf. Die Grenzwerte für Schwefeldioxid werden daher weiterhin an allen Wiener Messstellen durchgehend ab dem Jahr 2006 eingehalten.

Feinstaub der Fraktion PM₁₀

An allen dreizehn PM₁₀-Messstellen wurden die Grenzwerte eingehalten:

| Feinstaub PM ₁₀ (13 Messstellen) – Überschreitungen 2019 | | | | | |
|---|------------------|---|--|--|--|
| Grenzwert | Überschreitungen | Maximum | | | |
| 25 TMW > 50 μg/m ^{3 4} | Keine | 7 Tage (Taborstraße, Gerichtsgasse, Stadlau) | | | |
| 40 μg/m³ (JMW) | Keine | 20 μg/m³ (Taborstraße) | | | |

Tabelle 3: Überschreitungsübersicht 2019 für Feinstaub der Fraktion PM_{10}

Pro Kalenderjahr dürfen an einer Messstelle höchstens 25 Tagesmittelwerte über dem Wert von 50 μ g/m³ liegen. Im Jahr 2019 lag die Anzahl von Überschreitungstagen von Feinstaub der Fraktion PM₁₀ an allen Wiener Messstellen unterhalb dieser Höchstgrenze (mit dem Maximalwert an Überschreitungstagen von 7 an den Messstellen Taborstraße, Gerichtsgasse und Stadlau). Seit dem Jahr 2015 werden die Grenzwerte für Feinstaub der Fraktion PM₁₀ an allen Messstellen eingehalten.

 $^{^{3}}$ Pro Tag dürfen drei Halbstundenmittelwerte (höchstens jedoch 48 pro Kalenderjahr) im Bereich 200 bis 350 μg/m 3 liegen, ohne dass der Grenzwert für den SO₂-Halbstundenmittelwert überschritten wird. Über 350 μg/m 3 liegt aber in jedem Fall eine Grenzwertüberschreitung vor.

 $^{^4}$ Pro Kalenderjahr dürfen ab dem Jahr 2010 höchstens 25 Tagesmittelwerte über dem Wert von 50 μg/m 3 liegen. Die Richtlinie 2008/50/EG des Europäischen Parlaments und des Rates über Luftqualität und saubere Luft für Europa legt einen Grenzwert von höchstens 35 Tagesmittelwerten über dem Wert von 50 μg/m 3 pro Kalenderjahr fest.

Feinstaub der Fraktion PM_{2,5}

Im Jahr 2019 wurde der Grenzwert für PM_{2,5} an allen dreizehn Messstellen eingehalten:

| Feinstaub PM _{2,5} (13 Messstellen) – Überschreitungen 2019 | | | | | | | | |
|--|------------------|------------------------|--|--|--|--|--|--|
| Grenz-/Zielwert | Überschreitungen | maximaler Messwert | | | | | | |
| Grenzwert: 25 µg/m³ als JMW | keine | 14 μg/m³ (Taborstraße) | | | | | | |

Tabelle 4: Überschreitungsübersicht 2019 für Feinstaub der Fraktion PM_{2.5}

Stickstoffdioxid (NO₂)

An 15 der 16 NO $_2$ -Messstellen wurden alle Grenzwerte eingehalten. An der verkehrsnahen Messstelle "Hietzinger Kai" wurde der zulässige Jahresmittelwert von 35 μ g/m³mit dem Wert 38 μ g/m³ überschritten. Der in der Richtlinie 2008/50/EG des Europäischen Parlaments und des Rates über Luftqualität und saubere Luft für Europa unionsweit verankerte Grenzwert von 40 μ g/m³ für den Jahresmittelwert wurde an allen 16 NO $_2$ -Messstellen eingehalten. Der zulässige Grenzwert von 200 μ g/m³ als Halbstundenmittelwert wurde an keiner Station überschritten. Zielwertüberschreitungen wurden an zwei Messstellen festgestellt (insgesamt nur zwei Tagesmittelwerte im Jahr 2019). Tabelle 5 stellt die Überschreitungen der Grenz- und Zielwerte zusammengefasst dar.

| Stickstoffdioxid NO ₂ (16 Messstellen) – Überschreitungen 2019 | | | | | | | | | | |
|---|-------------------|----------------------------|--|--|--|--|--|--|--|--|
| Grenz-/Alarm-/Zielwert | Überschreitungen | maximaler Messwert | | | | | | | | |
| Alarmwert:400 µg/m³ als MW3 | keine | 137 µg/m³ (Hietzinger Kai) | | | | | | | | |
| Grenzwert:200 µg/m³ als HMW | keine | 177 μg/m³ (Hietzinger Kai) | | | | | | | | |
| Grenzwert: 35 μg/m³ als JMW | 1 (kein Störfall) | 38 μg/m³ (Hietzinger Kai) | | | | | | | | |
| Zielwert: 80 μg/m³ als TMW | 1 (kein Störfall) | 84 µg/m³ (Hietzinger Kai) | | | | | | | | |
| Zieiwert. οο μg/III als IMW | 1 (kein Störfall) | 83 µg/m³ (Taborstraße) | | | | | | | | |

Tabelle 5: Überschreitungsübersicht 2019 für Stickstoffdioxid (NO₂)

Die Hintergründe der NO_2 Grenzwertüberschreitungen wurden durch Statuserhebungen gemäß § 8 IG-L untersucht [11], [14]. Die daraus gewonnenen Erkenntnisse sind nach wie vor anwendbar.

Kohlenmonoxid (CO)

Im Jahr 2019 wurde der Grenzwert für CO an allen drei Messstellen eingehalten:

| Kohlenmonoxid CO (3 Messstellen) – Überschreitungen 2019 | | | | | | | | |
|--|-------------------------|--|--|--|--|--|--|--|
| Grenzwert Überschreitungen maximaler Messwert | | | | | | | | |
| 10 mg/ m³ als MW8 | 1,2 mg/m³ (Taborstraße) | | | | | | | |

Tabelle 6: Überschreitungsübersicht 2019 für Kohlenmonoxid (CO)

Diskontinuierliche Stichprobenanalysen

Bei den folgenden diskontinuierlich durch Stichprobenanalysen erfassten Schadstoffen wurden alle Grenzwerte bzw. Zielwerte eingehalten (Tabelle 7).

| Grenzwertüberschreitungen bei diskontinuierlichen Schadstoffen 2019 | | | | | | | | | | | |
|---|-----------------------------|----------------------|------------------------------|------------------|--|--|--|--|--|--|--|
| Schadstoff | Grenzwert | Zielwert | Maximaler JMW ⁵ | Überschreitungen | | | | | | | |
| Benzol | 5 μg/m3 | | 0,9 μg/m ³ | keine | | | | | | | |
| Staubniederschlag | 210 mg/(m ² d) | | 73 mg/(m ² d) | keine | | | | | | | |
| Blei im Staubniederschlag | 0,100 mg/(m ² d) | | 0,021 mg/(m ² d) | keine | | | | | | | |
| Kadmium im Staubniederschlag | 0,002 mg/(m ² d) | | 0,0003 mg/(m ² d) | keine | | | | | | | |
| Blei in PM ₁₀ | 0,5 μg/m³ | | 0,002 μg/m³ | keine | | | | | | | |
| Arsen in PM ₁₀ | | 6 ng/m³ | 0,3 ng/ m ³ | keine | | | | | | | |
| Nickel in PM ₁₀ | | 20 ng/m ³ | 0,6 ng/ m ³ | keine | | | | | | | |
| Kadmium in PM ₁₀ | | 5 ng/m³ | 0,3 ng/ m ³ | keine | | | | | | | |
| Benzo(a)pyren in PM ₁₀ | | 1ng/m³ | 0,4 ng/ m ³ | keine | | | | | | | |

Tabelle 7: Überschreitungsübersicht 2019 für diskontinuierlich erfasste Schadstoffe

1.2 Ozon

In Wien wurden für Ozon Überschreitungen des Zielwertes an allen fünf Messstellen und Überschreitungen der Informationsschwelle an vier Messstellen registriert. Die Alarmschwelle wurde an allen fünf Messstellen nicht überschritten. Tabelle 8 gibt einen entsprechenden Überblick.

| Ozon (O₃) (5 Messstellen) – Überschreitungen 2019 | | | | | | | | | | |
|---|-------------------------|-----------|---------------|--|--|--|--|--|--|--|
| Alarmschwelle | Anzahl Überschreitungen | Maximum | Messstelle | | | | | | | |
| 240 μg/m³ (1MW) | keine | 216 μg/m³ | Hohe Warte | | | | | | | |
| Informationsschwelle | Anzahl Überschreitungen | Maximum | Messstelle | | | | | | | |
| | 4 | 216 μg/m³ | Hohe Warte | | | | | | | |
| 100/3 /100001 | 2 | 203 μg/m³ | Laaer Berg | | | | | | | |
| 180 μg/m³ (1MW) | 1 | 201 μg/m³ | Stephansplatz | | | | | | | |
| | 1 | 181 µg/m³ | Hermannskogel | | | | | | | |

| Zielwert | Anzahl Überschreitungen | Maximum | Messstelle |
|-------------------|-------------------------|-----------------------|---------------|
| | 346 (an 48 Tagen) | 163 μg/m ³ | Hermannskogel |
| | 147 (an 24 Tagen) | 165 μg/m ³ | Laaer Berg |
| 120 μg/m³ (MW8-O) | 142 (an 25 Tagen) | 169 μg/m³ | Hohe Warte |
| | 115 (an 21 Tagen) | 169 μg/m³ | Stephansplatz |
| | 72 (an 17 Tagen) | 147 µg/m³ | Lobau |

Tabelle 8: Überschreitungsübersicht 2019 für Ozon (O₃)

4

⁵ Der höchste Jahresmittelwert der verschiedenen Messstationen.

1.3 Messtechnische Änderungen gegenüber dem Vorjahr

Bei der Ausstattung der Messstellen ergeben sich gegenüber dem Vorjahr folgende Änderungen:

- An den Stationen Belgradplatz und Kaiser-Ebersdorf wird PM₁₀ ab 1. Jänner 2019 ausschließlich mit einem kontinuierlichen Messverfahren gemessen. Die gravimetrischen Referenz-Messgeräte wurden verlegt.
- An den Stationen Laaer Berg, Gerichtsgasse und Lobau werden ab 1. Jänner 2019 die Messungen von PM₁₀ mit dem gravimetrischen Referenzverfahren durchgeführt.
- An der Station Lobau wird PM_{2,5} ab 1. Jänner 2019 ausschließlich mit einem kontinuierlichen Messverfahren gemessen. Das gravimetrische Referenz-Messgerät wurde zur Bestimmung von PM₁₀ umgerüstet.
- An den Messstellen Belgradplatz, Laaer Berg, Kaiser-Ebersdorf, Gaudenzdorf, Schafberg, Gerichtsgasse und Liesing-Gewerbegebiet wird ab 2019 zusätzlich zu PM₁₀ auch PM_{2,5} kontinuierlich gemessen. Damit erfassen alle 13 Feinstaub-Messstellen des Wiener Luftgütemessnetzes sowohl PM₁₀ als auch PM_{2,5}.
- An der Messstelle Hermannskogel wird die Messung von Schwefeldioxid (SO₂) auf Grund der seit Jahren durchgehend niedrigen Konzentrationen deutlich unter der unteren Beurteilungsschwelle eingestellt. Es bleiben sechs SO₂ Messstellen in Betrieb.

2 Allgemeine Informationen

2.1 Gesetzliche Grundlagen

Gemäß Immissionsschutzgesetz-Luft [1] und der zugehörigen Messkonzeptverordnung [2] hat jeder Messnetzbetreiber bis zum 31. Juli des Folgejahres einen Jahresbericht zu veröffentlichen. Gegenwärtig ist über die Messwerte der Luftschadstoffe Schwefeldioxid, PM_{10} , $PM_{2,5}$, Stickstoffdioxid, Kohlenmonoxid, Benzol, Arsen, Kadmium, Nickel, Benzo(a)pyren und über Depositionen von Staubniederschlag, Blei im Staubniederschlag und Kadmium im Staubniederschlag zu berichten. Zusätzlich sind die Jahresmittelwerte der gemessenen Stickstoffoxide (NO_x)für das abgelaufene Kalenderjahr anzugeben.

Der Jahresbericht hat jedenfalls folgende Informationen auszuweisen:

- Jahresmittelwerte für das abgelaufene Kalenderjahr
- Überschreitungen der Grenz-, Alarm- bzw. Zielwerte, jedenfalls die betroffenen Messstellen, die Höhe und die Häufigkeit der Überschreitung
- Kenngrößen der eingesetzten Messverfahren
- Charakterisierungen der Messstellen
- Berichte über Vorerkundungsmessungen und deren Ergebnisse, insbesondere über dabei festgestellte Überschreitungen
- ein Vergleich mit den Jahresmittelwerten vorangegangener Jahre
- Nachweis der Äquivalenz von Messgeräten und Herleitung der Kalibrierfunktion

Gemäß Ozongesetz [5] kann im Rahmen dieses Jahresberichts auch über die Ozonbelastung des abgelaufenen Jahres berichtet werden. Dabei sind zumindest anzugeben:

- Überschreitungen der Informations- und Alarmschwelle
- Überschreitungen der Zielwerte für Ozon ab dem Jahr 2010
- Überschreitungen der langfristigen Ziele für Ozon für das Jahr 2020

2.2 Grenzwerte, Zielwerte und Alarmwerte gemäß IG-L

Im Immissionsschutzgesetz-Luft [1] sind zum vorsorglichen Schutz der menschlichen Gesundheit Grenzwerte, Zielwerte und Alarmwerte, sowie Vorgaben in Bezug auf die durchschnittliche $PM_{2,5}$ Exposition definiert.

Immissionsgrenzwerte

Immissionsgrenzwerte sind höchstzulässige Immissionskonzentrationen. Außer bei Störfällen und anderen in absehbarer Zeit nicht wiederkehrenden Ereignissen sind nach Überschreitungen von Grenzwerten die näheren Umstände der Episode zu untersuchen und gegebenenfalls Maßnahmenpläne und Programme zu erstellen und zu verordnen.

Zielwerte

Zielwerte sind nach Möglichkeit in einem bestimmten Zeitraum zu erreichende Immissionskonzentrationen, die mit dem Ziel festgelegt wurden, die schädlichen Einflüsse auf die menschliche Gesundheit und die Umwelt insgesamt zu vermeiden, zu verhindern oder zu verringern.

Bei Überschreitung von Zielwerten sind keine formale Ursachenanalyse ("Statuserhebung") und keine Maßnahmenpläne und Programme vorgeschrieben.

Alarmwerte

Bei der Überschreitung von Alarmwerten besteht bei kurzfristiger Exposition ein Risiko für die Gesundheit der Bevölkerung. Diese ist umgehend zu informieren und es müssen unverzüglich Maßnahmen gesetzt werden. Außerdem sind im Fall der Gefahr einer Überschreitung der Alarmwerte Maßnahmen festgelegt (Aktionsplan) die kurzfristig zu ergreifen sind um die Gefahr zu verringern und deren Dauer zu beschränken.

Vorgaben in Bezug auf die durchschnittliche PM_{2,5} Exposition

Für PM_{2,5} ist im IG-L ein Indikator für die durchschnittliche Exposition (AEI) definiert, wobei § 3a eine Verpflichtung und § 3b ein nationales Ziel festlegt. Der AEI wird anhand der Messdaten mehrerer Messstellen in Österreich im städtischen Hintergrund berechnet und vom Umweltbundesamt im österreichweiten Jahresbericht ausgewiesen. Die Vorgaben zum AEI sind sehr komplex, sie zielen abhängig von der Höhe des AEI und seiner Zusammensetzung auf den Erhalt eines guten PM_{2,5} Niveaus, bzw. andernfalls auf die Reduktion von PM_{2,5} ab.

2.2.1 Grenzwerte

Bei Überschreitung eines Grenzwertes ist festzustellen, ob ein Störfall, ein in absehbarer Zeit nicht wiederkehrendes Ereignis, die Aufwirbelung von Partikeln nach der Ausbringung bestimmter Streugüter im Winterdienst oder Emissionen aus natürlichen Quellen vorliegen.

Ist dies nicht der Fall, muss eine Statuserhebung (im Wesentlichen eine Verursacheranalyse) erstellt werden, falls eine solche noch nicht vorliegt bzw. sich die Gegebenheiten seit der letztmaligen Erstellung wesentlich verändert haben. In weiterer Folge müssen Programme mit dem Ziel erarbeitet werden, in Zukunft die Vorgaben der EU-RL 2008/50/EG [8] einzuhalten.

Eine Übersicht über die Grenzwerte im Jahr 2019 stellt die Tabelle 9 dar.

| Übersicht über die im IG-L festgelegten Grenzwerte | | | | | | | | | | |
|--|--------------|----------------------|---------------|------------------------------|--|--|--|--|--|--|
| Luftschadstoff | HMW | MW8 | TMW | JMW | | | | | | |
| Schwefeldioxid (SO ₂) | 200 μg/m³ *) | - | 120 µg/m³ | - | | | | | | |
| Kohlenmonoxid (CO) | - | 10 mg/m ³ | - | - | | | | | | |
| Stickstoffdioxid (NO ₂) | 200 μg/m³ | - | - | 35 μg/m³ **) | | | | | | |
| PM ₁₀ | - | - | 50 μg/m³ ***) | 40 μg/m³ | | | | | | |
| PM _{2,5} | - | - | - | 25 μg/m³ | | | | | | |
| Benzol | - | - | - | 5 μg/m³ | | | | | | |
| Staubniederschlag | - | - | - | 210 mg/(m³d) | | | | | | |
| Blei im Staubniederschlag | - | - | - | 0,100 mg/(m ³ d) | | | | | | |
| Kadmium im | - | - | - | 0,002 mg/(m ³ d) | | | | | | |
| Blei in PM ₁₀ | - | - | - | 0,5 μg/m³ | | | | | | |
| Arsen in PM ₁₀ | - | - | - | 6 ng/ m ³ | | | | | | |
| Kadmium in PM ₁₀ | - | - | - | 5 ng/ m ³ | | | | | | |
| Nickel in PM ₁₀ | - | - | - | 20 ng/ m ³ | | | | | | |
| Benzo(a)pyren in PM ₁₀ | - | - | - | 1 ng/ m ³ | | | | | | |

Tabelle 9: Übersicht über die im IG-L festgelegten Grenzwerte

- *) Drei HMW pro Tag, jedoch maximal 48 HMW pro Kalenderjahr bis zu einer Konzentration von 350 μ g/m³ gelten nicht als Überschreitung.
- **) Der Wert setzt sich aus dem Grenzwert von 30 μ g/m³ und einer Toleranzmarge von 5 μ g/m³ zusammen. Der zuständige Bundesminister kann auf Grundlage einer Evaluierung der Wirkung des Grenzwertes gegebenenfalls die Toleranzmarge entfallen lassen. Das ist bisher nicht erfolgt, der Grenzwert beträgt daher 35 μ g/m³. Die Richtlinie 2008/50/EG des Europäischen Parlaments und des Rates über Luftqualität und saubere Luft für Europa legt einen Grenzwert 40 μ g/m³ als Jahresmittelwert fest.
- ***) Pro Kalenderjahr sind 25 Überschreitungen zulässig. Die Richtlinie 2008/50/EG des Europäischen Parlaments und des Rates über Luftqualität und saubere Luft für Europa legt einen Grenzwert von höchstens 35 Tagesmittelwerten über dem Wert von 50 μg/m³ pro Kalenderjahr fest.

2.2.2 Zielwert

Bei Überschreitung von Zielwerten sind keine formale Ursachenanalyse ("Statuserhebung") und keine Maßnahmenpläne und Programme vorgeschrieben.

| Übersicht über die im IG-L festgelegten Zielwerte | | | | | | | | |
|---|----------|-----|--|--|--|--|--|--|
| Luftschadstoff | TMW | JMW | | | | | | |
| Stickstoffdioxid (NO ₂) | 80 μg/m³ | - | | | | | | |

Tabelle 10: Übersicht über die im IG-L festgelegten Zielwerte

2.2.3 Alarmwerte

Werden Alarmwerte überschritten so ist umgehend die Öffentlichkeit über den Österreichischen Rundfunk zu informieren und es müssen unverzüglich Maßnahmen gesetzt werden. Außerdem sind im Fall der Gefahr einer Überschreitung der Alarmwerte Maßnahmen festgelegt (Aktionsplan) die kurzfristig zu ergreifen sind um die Gefahr zu verringern und deren Dauer zu beschränken. In den letzten 25 Jahren wurden die Alarmwerte in Wien nicht überschritten und auch in Zukunft ist eine Überschreitung äußerst unwahrscheinlich. Tabelle 11 gibt Auskunft über die Höhe dieser Alarmwerte.

| Übersicht über die im IG-L festgelegten Alarmwerte | | | | | | | | |
|--|-----------|--|--|--|--|--|--|--|
| Luftschadstoff | MW3 | | | | | | | |
| Schwefeldioxid (SO ₂) | 500 μg/m³ | | | | | | | |
| Stickstoffdioxid (NO ₂) | 400 μg/m³ | | | | | | | |

Tabelle 11: Übersicht der im IG-L festgelegten Alarmwerte

2.3 Informationswerte, Zielwerte und Alarmwerte gemäß Ozongesetz

2.3.1 Informations- und Warnwerte für Ozon

Im Ozongesetz [5] sind Informations- und Alarmschwellwerte als Einstundenwerte definiert, bei deren Überschreitung an irgendeiner Messstelle im Überwachungsgebiet I Nordostösterreich⁶ die Bevölkerung möglichst rasch zu informieren ist.

Tabelle 12 zeigt diese im Überblick.

| Übersicht über die Informations- und Alarmschwellwerte von Ozon | | | | | | | |
|---|-----------|--|--|--|--|--|--|
| Ozon | 1MW | | | | | | |
| Informationsschwelle | 180 μg/m³ | | | | | | |
| Alarmschwelle | 240 μg/m³ | | | | | | |

Tabelle 12: Übersicht der Ozon Informations- und Alarmschwellwerte

⁶ Das Ozon-Überwachungsgebiet I Nordostösterreich umfasst Wien, Niederösterreich und das nördliche und mittlere Burgenland.

Anmerkung: Laut Ozongesetz, Anlage 1, ist die Informationsschwelle ein Wert, bei dessen Überschreitung bei kurzfristiger Exposition ein Risiko für die menschliche Gesundheit für besonders empfindliche Bevölkerungsgruppen besteht. Die Alarmschwelle ist ein Wert, bei dessen Überschreitung bei kurzfristiger Exposition ein Risiko für die menschliche Gesundheit für die Gesamtbevölkerung besteht.

2.3.2 Zielwerte für Ozon

Zielwerte sind auch für Ozon gegeben, wie Tabelle 13 veranschaulicht.

| Ozon Zielwerte: Gesundheits- und Vegetationsschutz | MW | Zielwerte ab dem | n Jahr 2010 | Langfristige Ziele ab 2020 |
|--|-------|--------------------------------------|--|----------------------------|
| Gesundheitsschutz | MW8-O | 120 μg/m³ | im Mittel über drei Jahre an nicht mehr als an 25 Tagen pro Jahr zu überschreiten | 120 μg/m³ |
| Vegetationsschutz | AOT40 | 18 000 ug/m³h gemittelt über 5 Jahre | | 6 000 µg/m³h |

Tabelle 13: Ozon Zielwerte bezüglich Gesundheits- und Vegetationsschutz

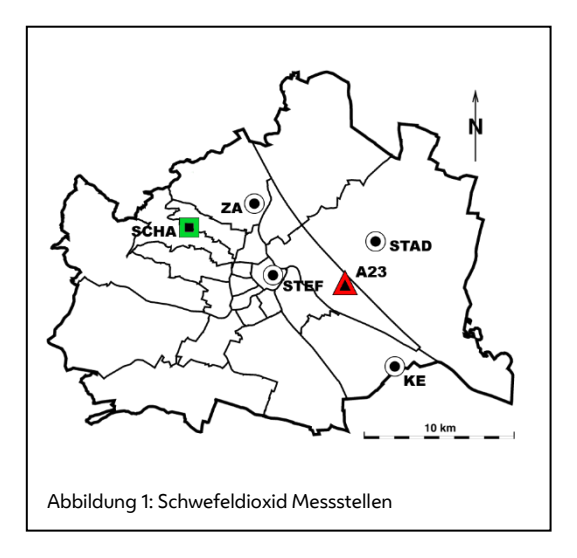
Der AOT40 ist die Summe der Differenzen zwischen den Konzentrationen über 80 μ g/m³ und 80 μ g/m³ unter ausschließlicher Verwendung der Einstundenmittelwerte (1MW) zwischen 8 und 20 Uhr MEZ im Zeitraum von Mai bis Juli.

3 Ergebnisse kontinuierlicher

Messungen

3.1 Schwefeldioxid (SO₂)

Die Lage der SO₂-Messstellen im Stadtgebiet wird in der nebenstehenden Abbildung (Abbildung 1) dargestellt. Im Jahr 2019 wurden in Wien sechs SO₂-Messstellen gemäß IG-L betrieben. Davon liegt die Messstelle A23-Wehlistraße verkehrsbeeinflusst (rotes Dreieck in der nebenstehenden Abbildung), Schafberg in einem Erholungsgebiet (grüne Quadrat), und die übrigen Stationen im bebauten Gebiet mit unterschiedlicher Dichte und Gebäudehöhe. An der Messstelle



Hermannskogel wird die Messung von Schwefeldioxid (SO_2) auf Grund der seit Jahren durchgehend niedrigen Konzentrationen deutlich unter der unteren Beurteilungsschwelle eingestellt.

Die Messungen erfolgten an allen Standorten mit der UV-Fluoreszenz Methode. Das ist die laut Immissionsschutzgesetz-Luft vorgeschriebene Referenzmethode. Detaillierte Informationen über die Standorte des Wiener Luftgütemessnetzes und deren Messausstattung sind in Abschnitt 7.3 zusammengefasst.

In den letzten Jahren wurden in Wien sehr geringe SO₂-Konzentrationen gemessen. Die verwendeten Messgeräte haben bei diesen sehr geringen Konzentrationen hohe relative Messfehler. Auf Grund der aufwändigen Qualitätssicherungsmaßnahmen ist täglich der absolute Messfehler ableitbar. Unter Einbeziehung des Umweltbundesamtes als österreichisches Referenzlaboratorium gemäß IG-L-MKV 2012 wurde für das Jahr 2019 dieser Messfehler täglich bestimmt und der Messwert entsprechend korrigiert.

Grenzwertüberschreitungen

Bei Schwefeldioxid sind Grenzwerte für Halbstundenmittelwerte (200 μ g/m³) und Tagesmittelwerte (120 μ g/m³) mit Zusatzbedingungen (siehe Abschnitt 2.2) festgelegt. So gelten drei Halbstundenmittelwerte pro Tag, jedoch maximal 48 HMW pro Kalenderjahr bis zu einer Konzentration von 350 μ g/m³ nicht als Überschreitung. Im Jahr 2019 wurden insgesamt 2 Halbstundenmittelwerte über der Schwelle von 200 μ g/m³ gemessen. Betroffen war die Messstelle Kaiser-Ebersdorf. Die Grenzwerte für Schwefeldioxid werden daher weiterhin an allen Wiener Messstellen durchgehend ab dem Jahr 2006 eingehalten.

Der höchste beobachtete Halbstundenmittelwert betrug 334 μ g/m³ an der Messstation Kaiser-Ebersdorf und der höchste Tagesmittelwert 23 μ g/m³ - ebenfalls an der Station Kaiser-Ebersdorf.

Alarmwertüberschreitungen

Der Alarmwert von 500 μ g/m³ als Dreistundenmittelwert wurde an allen Messstellen eingehalten. Der höchste beobachtete Dreistundenmittelwert betrug 81 μ g/m³ an der Station Kaiser-Ebersdorf.

Ergebnisse der Immissionsmessungen

Tabelle 14 zeigt die im Jahr 2019 in Wien gemessenen Schwefeldioxid Monatsmittelwerte in Mikrogramm pro Kubikmeter.

| Messstation | 01 | 02 | 03 | 04 | 05 | 06 | 07 | 08 | 09 | 10 | 11 | 12 | WMW | SMW | JMW |
|----------------------|----|----|----|----|----|----|----|----|----|----|----|----|-----|-----|-----|
| 1, Stephansplatz | 0 | 1 | 0 | 1 | 0 | 1 | 0 | 0 | 0 | 0 | 1 | 1 | 1 | 1 | 1 |
| 11, Kaiser-Ebersdorf | 1 | 2 | 2 | 2 | 1 | 2 | 1 | 1 | 1 | 1 | 3 | 2 | 3 | 1 | 2 |
| 11, A23-Wehlistraße | 1 | 2 | 1 | 2 | 0 | 1 | 1 | 0 | 1 | 0 | 2 | 1 | 1 | 1 | 1 |
| 18, Schafberg | 1 | 1 | 0 | 1 | 0 | 1 | 1 | 0 | 0 | 0 | 1 | 1 | 1 | 1 | 1 |
| 19, Hohe Warte | 1 | 2 | 1 | 2 | 1 | 1 | 0 | 0 | 1 | 0 | 1 | 1 | 1 | 1 | 1 |
| 22, Stadlau | 1 | 1 | 0 | 1 | 0 | 1 | 1 | 0 | 0 | 1 | 1 | 1 | 1 | 1 | 1 |
| Wien-Mittel | 1 | 1 | 1 | 1 | 0 | 1 | 0 | 0 | 1 | 1 | 1 | 1 | 1 | 1 | 1 |

Legende:

WMW:Wintermittelwert (Okt 2018 bis März 2019) SMW:Sommermittelwert (Apr bis Sep) JMW:Jahresmittelwert (Jän bis Dez) Wien-Mittel: Mittelwert über alle Stationen

Datenverfügbarkeit:

Wert zentriert und standard: Wert kursiv und rechtsbündig:

"A" zentriert:

gemäß IG-L 75% oder mehr, aber weniger als 90% Grunddaten verfügbar weniger als 75% Grunddaten verfügbar

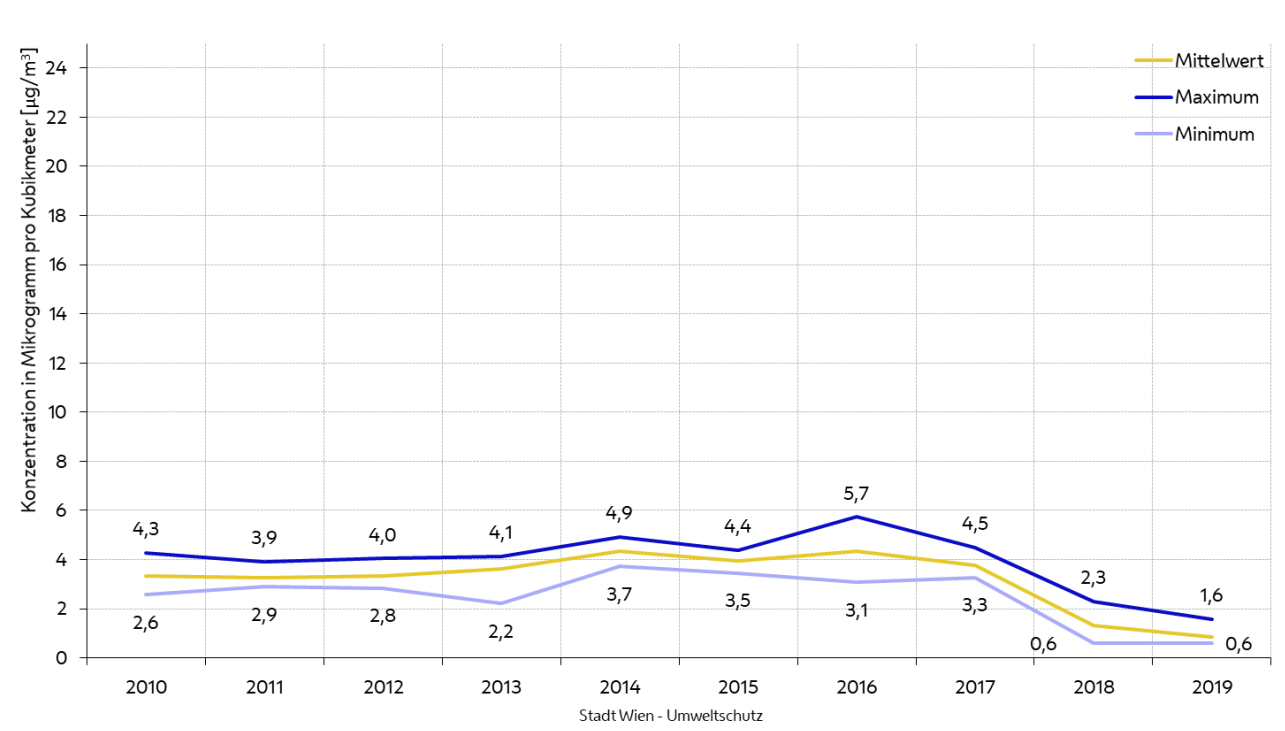
Tabelle 14: Schwefeldioxid Monatsmittelwerte im Jahr 2019

Die Ursache für die geringe Verfügbarkeit der Daten im Feber an der Messstation Kaiser-Ebersdorf und Hohe Warte ist auf eine Fehlfunktion des Messgerätes zurückzuführen.

Schadstoffentwicklung

Seit Ende der 70er Jahre wurde eine drastische Reduktion der Immissionsbelastung durch Schwefeldioxid in Wien beobachtet. In den letzten Jahren ist die gemittelte Wiener SO₂-Belastung auf sehr niedrigem Niveau geblieben.

Die folgende Abbildung (Abbildung 2) zeigt die Jahresmittelwerte der letzten zehn Jahre.



Schwefeldioxid - Jahresmittelwerte von 2010 bis 2019

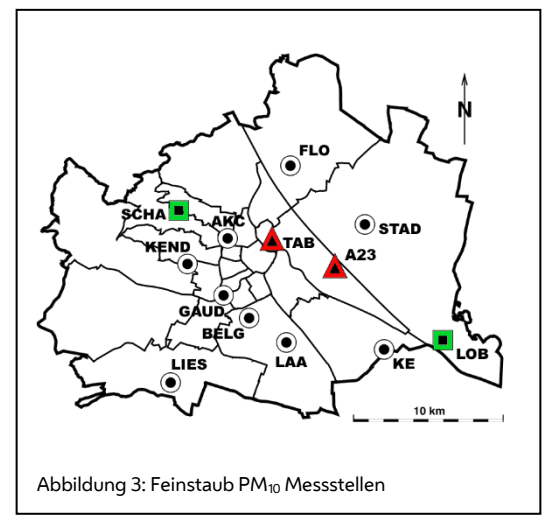
Abbildung 2: gemittelte Schwefeldioxid Jahresmittelwerte von 2010 bis 2019

Anmerkung: Auf Grund der seit Jahren sehr niedrigen Messwerte wird ab dem Jahr 2018 der Messfehler der Messgeräte rückwirkend täglich bestimmt und die Messdaten entsprechend korrigiert. Die Reduktion des Wien-Mittels von 4 μ g/m³ 2017 auf 1 μ g/m³ im Jahr 2018 ist auf diese Korrektur zurückzuführen und nicht auf eine reale Verringerung der SO₂-Konzentration in der Luft.

3.2 Feinstaub PM₁₀

 PM_{10} (PM, particulate mater) ist im Wesentlichen jener Teil des Gesamtschwebestaubs (TSP – Total Suspended Particles), dessen Partikel einen Durchmesser von 10 μ m nicht überschreiten⁷.

Die Lage der PM₁₀-Messstellen im Stadtgebiet wird in der Abbildung 3 dargestellt. Im Jahr 2019 wurden in Wien dreizehn PM₁₀-Messstellen gemäß IG-L betrieben. Davon liegt die Messstelle Taborstraße verkehrsnah⁸, die Messstation A23-Wehlistraße verkehrsbeeinflusst (rote Dreiecke in der nebenstehenden Abbildung), Schafberg und Lobau liegen in



Erholungsgebieten, die vom innerstädtischen Geschehen weitgehend unbeeinflusst sind (grüne Quadrate) und die übrigen Messstellen im bebauten Gebiet mit unterschiedlicher Dichte und Gebäudehöhe. Die Station Liesing-Gewerbegebiet ist in einem Industriegebiet am südlichen Stadtrand situiert. Detaillierte Informationen über die Standorte des Wiener Luftgütemessnetzes und deren Messausstattung sind in Abschnitt 7.3 zusammengefasst.

An acht Standorten wurde mit einem gravimetrischen Verfahren gemessen (Taborstraße, AKH, Laaer Berg, A23-Wehlistraße, Kendlerstraße, Schafberg, Gerichtsgasse und Lobau), das nach manueller Analyse Tagesmittelwerte liefert. An allen 13 Standorten wurde mit einer kontinuierlichen Methode gemessen, die äquivalent zum Referenzverfahren gemäß EU-Richtlinie RL 2008/50/EG ist und automatisch Messwerte als Halbstundenmittelwerte liefert. Diese kontinuierlichen Messgeräte basieren auf einem Verfahren, das mit Partikelzählung arbeitet (Grimm EDM-180). Detaillierte Informationen zu dem Nachweis der Äquivalenz, den eingesetzten Kalibrierfunktionen und dem Zeitplan der Geräteumstellung sind in Kapitel 6 und Kapitel 7.6 angegeben.

Grenzwertüberschreitungen

Pro Kalenderjahr dürfen ab dem Jahr 2010 höchstens 25 Tagesmittelwerte über dem Wert von 50 μ g/m³ liegen. Im Jahr 2019 lag die Anzahl von Überschreitungstagen zum fünften Mal in Folge unterhalb dieser Höchstgrenze. Die Richtlinie 2008/50/EG des Europäischen Parlaments und des Rates über Luftqualität und saubere Luft für Europa legt einen Grenzwert von höchstens 35 Tagesmittelwerten über dem Wert von 50 μ g/m³ pro Kalenderjahr fest. Im Jahr 2019 lag die Anzahl von Überschreitungstagen zum achten Mal in Folge unterhalb dieser Höchstgrenze. Den Maximalwert von 7 Überschreitungstagen erreichten die Messstellen Taborstraße, Gerichtsgasse und Stadlau.

 $^{^{7}}$ Gemäß IG-L bezeichnet PM $_{10}$ jene Partikel, die einen größenselektierenden Lufteinlass passieren, der für einen aerodynamischen Durchmesser von 10 μ m eine Abscheidewirksamkeit von 50 v.H. aufweist.

⁸ Verkehrsnah: Die Probenahme liegt in einer Entfernung von höchstens 10 m vom Fahrbahnrand.

Auch der Jahresmittelwert von 40 µg/m³ wurde an keiner Station überschritten (siehe Tabelle 15).

| PM ₁₀ | <u>Taborstraße⁹</u> | <u>AKH⁹</u> | Belgradplatz | <u>Laaer Berg⁹</u> | Kaiser-Ebersdorf | <u>A23-Wehlistraße</u> | Gaudenzdorf | <u>Kendlerstraße⁹</u> | <u>Schafberg²</u> | <u>Gerichtsgasse</u> ⁹ | <u>Lobau</u> ⁹ | Stadlau | Liesing-Gewerbegebiet |
|---|--------------------------------|------------------------|--------------|-------------------------------|------------------|------------------------|-------------|----------------------------------|-------------------|-----------------------------------|---------------------------|---------|-----------------------|
| JMW [μg/m³] | 20 | 17 | 19 | 18 | 19 | 19 | 17 | 19 | 15 | 19 | 15 | 18 | 16 |
| Anzahl der Tage mit Tagesmittelwerten größer 50 µg/m³ | 7 | 6 | 4 | 6 | 5 | 6 | 5 | 6 | 4 | 7 | 3 | 7 | 4 |

Tabelle 15: PM₁₀-Jahresmittelwerte und Anzahl der Tage mit TMW > 50 μg/m³ 2019

Die Ergebnisse der Standorte mit unterstrichenen Stationsnamen wurden gravimetrisch ermittelt, an allen anderen Standorten wurden sie mit einem äquivalenten kontinuierlichen Messverfahren gewonnen.

Gemäß IG-L – Winterstreuverordnung [16] kann der Anteil des Winterdienstes an der PM_{10} -Belastung berücksichtigt werden. Einzelne Überschreitungstage können damit auf Streu- bzw. Feuchtsalzanteile im PM_{10} zurückgeführt werden. Im Jahr 2019 wurde die Anzahl der zulässigen Überschreitungstage nicht überschritten, daher wurde die Analyse von Streu- bzw. Feuchtsalzanteilen nicht durchgeführt.

Es folgt Tabelle 16 mit einem detaillierten Aufschluss aller Tagesmittelwerte, an denen der PM $_{10}$ -Grenzwert von 50 μ g/m 3 im Zeitraum vom 1. Jänner 2019 bis 31. Dezember 2019 überschritten wurde.

| • | PM ₁ TM\ Nr. | o N > 50 μg/m³ Datum | <u>Taborstraße</u> ⁹ | AKH ⁹ | Belgradplatz | <u>Laaer Berg</u> ⁹ | Kaiser-Ebersdorf | A23-Wehlistraße ⁹ | Gaudenzdorf | Kendlerstraße | <u>Schafberg</u> ⁹ | <u>Gerichtsgasse</u> ⁹ | <u>Lobau</u> ⁹ | Stadlau | Liesing Gewerbegebiet |
|---|---------------------------|----------------------------|---------------------------------|------------------|--------------|--------------------------------|------------------|------------------------------|-------------|---------------|-------------------------------|-----------------------------------|---------------------------|---------|--------------------------|
| | ini. 1 | 01.01.2019 | _ | _ | _ | _ | | | | _ | | | _ | 52 | |
| | | | | | | | - | - | - | | - | - | - | | - |
| _ | 2 | 21.01.2019 | 61 | 54 | 53 | 61 | 71 | 61 | 52 | 54 | - | 55 | - | 64 | 51 |
| | 3 | 22.01.2019 | 81 | 76 | 71 | 83 | 70 | 80 | 67 | 80 | 77 | 79 | 68 | 72 | 69 |
| 4 | 4 | 23.01.2019 | 70 | 64 | 58 | 68 | 58 | 70 | 55 | 64 | 61 | 71 | 65 | 59 | 52 |
| į | 5 | 24.01.2019 | 55 | 51 | - | 54 | - | 57 | 53 | 51 | | 53 | - | 51 | - |
| (| 6 | 09.02.2019 | 52 | - | - | - | - | - | - | - | - | - | - | - | - |
| | 7 | 17.02.2019 | 64 | 55 | - | 58 | 51 | 58 | - | 55 | 51 | 62 | - | 58 | - |

⁹ Unterstrichene Stationsnamen wurden mit gravimetrischem Verfahren gemessen. An den anderen Standorten kommt ein kontinuierliches Messverfahren zum Einsatz.

15

| PM ₁₀ TMW > 50 μg/m ³ | <u>Taborstraße</u> ⁹ | <u>AKH</u> ° | Belgradplatz | Laaer Berg ⁹ | Kaiser-Ebersdorf | A23-Wehlistraße | Gaudenzdorf | Kendlerstraße ⁹ | Schafberg ⁹ | Gerichtsgasse ⁹ | <u>Lobau</u> ⁹ | Stadlau | Liesing Gewerbegebiet |
|---|---------------------------------|--------------|--------------|-------------------------|------------------|-----------------|-------------|----------------------------|------------------------|----------------------------|---------------------------|---------|--------------------------|
| Nr. Datum | | | | | | | | | | | | | |
| 8 18.02.2019 | 78 | 68 | 60 | 64 | 68 | 74 | 64 | 72 | 65 | 66 | 53 | 68 | 67 |
| 9 19.02.2019 | - | - | - | - | - | - | - | - | - | 51 | - | - | - |

Tabelle 16: Feinstaub PM_{10} : Tage mit Tagesmittelwerten größer 50 $\mu g/m^3$ im Jahr 2019

Da keine Überschreitung von Grenzwerten vorliegt, wurde von einer Einzelauswertung hinsichtlich des Vorliegens von Ausnahmetatbeständen (z.B. Störfall) im Sinne von § 7 IG-L abgesehen.

Die folgende Abbildung gibt einen Überblick über die Anzahl der Tage pro Jahr an denen der Tagesmittelwert von Feinstaub PM₁₀ über dem Wert von 50 μ g/m³ gelegen ist.

Feinstaub PM_{10} - Anzahl der Tage mit Tagesmittelwert über 50 $\mu g/m^3$



Abbildung 4: Anzahl der Tage mit einem Tagesmittelwert über 50 $\mu g/m^3$ von 2010 bis 2019

Ergebnisse der Immissionsmessungen

Die nachstehende Tabelle (Tabelle 17) dokumentiert die Langzeitbelastung durch Feinstaub- PM_{10} an den Wiener Messstellen anhand von Monats- und Jahresmittelwerten.

Die Mittelwerte werden in Mikrogramm pro Kubikmeter angegeben.

| Feinstaub (PM ₁₀) Monatsmit | telw | erte | im Ja | ahr 2 | 019 | | | | | | | | | | |
|---|------|------|-------|-------|-----|----|----|----|----|----|----|----|-----|-----|-----|
| | 01 | 02 | 03 | 04 | 05 | 06 | 07 | 08 | 09 | 10 | 11 | 12 | WMW | SMW | JMW |
| 2, Taborstraße | 23 | 29 | 18 | 25 | 14 | 22 | 18 | 16 | 14 | 22 | 17 | 21 | 26 | 18 | 20 |
| <u>9, AKH</u> | 21 | 25 | 14 | 21 | 11 | 18 | 15 | 14 | 12 | 20 | 16 | 19 | 23 | 15 | 17 |
| 10, Belgradplatz | 21 | 25 | 17 | 29 | 13 | 19 | 17 | 15 | 13 | 22 | 17 | 21 | 24 | 17 | 19 |
| 10, Laaer Berg | 21 | 26 | 15 | 23 | 12 | 19 | 16 | 14 | 12 | 19 | 17 | 19 | 24 | 16 | 18 |
| 11, Kaiser-Ebersdorf | 23 | 29 | 18 | 27 | 12 | 18 | 17 | 14 | 12 | 21 | 16 | 20 | 26 | 17 | 19 |
| 11, A23-Wehlistraße | 23 | 30 | 17 | 24 | 14 | 21 | 17 | 16 | 14 | 21 | 17 | 20 | 26 | 18 | 19 |
| 12, Gaudenzdorf | 21 | 26 | 16 | 27 | 12 | 17 | 14 | 12 | 11 | 19 | 17 | 19 | 23 | 15 | 17 |
| 16, Kendlerstraße | 21 | 26 | 16 | 23 | 12 | 20 | 19 | 15 | 13 | 21 | 17 | 20 | 24 | 17 | 19 |
| 18, Schafberg | 18 | 22 | 12 | 20 | 10 | 18 | 14 | 14 | 10 | 17 | 14 | 15 | 20 | 15 | 15 |
| 21, Gerichtsgasse | 23 | 28 | 17 | 24 | 13 | 20 | 17 | 15 | 12 | 21 | 17 | 20 | 26 | 17 | 19 |
| <u>22, Lobau</u> | 18 | 22 | 13 | 20 | 10 | 16 | 13 | 12 | 10 | 15 | 14 | 16 | 22 | 14 | 15 |
| 22, Stadlau | 24 | 29 | 18 | 25 | 12 | 17 | 15 | 12 | 12 | 20 | 15 | 18 | 27 | 15 | 18 |
| 23, Liesing-Gewerbegebiet | 19 | 24 | 15 | 25 | 11 | 17 | 11 | 10 | 8 | 18 | 14 | 18 | 23 | 14 | 16 |
| Wien-Mittel | 21 | 26 | 16 | 24 | 12 | 19 | 16 | 14 | 12 | 20 | 16 | 19 | 24 | 16 | 18 |

Legende:

WMW:Wintermittelwert (Okt 2018 bis März 2019) SMW:Sommermittelwert (Apr bis Sep) JMW:Jahresmittelwert (Jän bis Dez) Wien-Mittel: Mittelwert über alle Stationen

Wert zentriert und standard: Wert kursiv und rechtsbündig:

"A" zentriert:

Datenverfügbarkeit:

gemäß IG-L 75% oder mehr, aber weniger als 90% Grunddaten verfügbar weniger als 75% Grunddaten verfügbar

Tabelle 17: Feinstaub PM_{10} Monatsmittelwerte im Jahr 2019

Der maximale Tagesmittelwert des Jahres 2019 beträgt 83 $\mu g/m^3$ und wurde am 22. Jänner an der Messstelle Laaer Berg registriert. Das Maximum des Vorjahres 2018 betrug 95 $\mu g/m^3$ an der Station Taborstraße.

Die Jahresmittelwerte des Jahres 2019 liegen zwischen 20 μ g/m³ (Taborstraße) und 15 μ g/m³ (Schafberg und Lobau). Die Jahresmittelwerte des Vorjahres 2018 liegen zwischen 19 μ g/m³ (Schafberg) und 25 μ g/m³ (Stadlau).

Eine monatlich zusammengefasste Darstellung der Anzahl der Tage mit Überschreitungen des PM_{10} -Grenzwertes bietet die folgende Tabelle (Tabelle 18).

| PM ₁₀ - Anzahl der Tage mit Ta | gesm | ittel | wert | en gr | ößer | 50 μ | g/m | ³ per | Mon | at in | n Ja | hr 20 | 019 | | |
|---|------|-------|------|-------|------|-------------|-----|-------|-----|-------|------|-------|-----|-----|------|
| | 01 | 02 | 03 | 04 | 05 | 06 | 07 | 08 | 09 | 10 | 11 | 12 | Win | Som | Jahr |
| 2, Taborstraße | 4 | 3 | 0 | 0 | 0 | 0 | 0 | 0 | 0 | 0 | 0 | 0 | 18 | 0 | 7 |
| 9, AKH | 4 | 2 | 0 | 0 | 0 | 0 | 0 | 0 | 0 | 0 | 0 | 0 | 13 | 0 | 6 |
| 10, Belgradplatz | 3 | 1 | 0 | 0 | 0 | 0 | 0 | 0 | 0 | 0 | 0 | 0 | 12 | 0 | 4 |
| 10, Laaer Berg | 4 | 2 | 0 | 0 | 0 | 0 | 0 | 0 | 0 | 0 | 0 | 0 | 14 | 0 | 6 |
| 11, Kaiser-Ebersdorf | 3 | 2 | 0 | 0 | 0 | 0 | 0 | 0 | 0 | 0 | 0 | 0 | 13 | 0 | 5 |
| 11, A23-Wehlistraße | 4 | 2 | 0 | 0 | 0 | 0 | 0 | 0 | 0 | 0 | 0 | 0 | 14 | 0 | 6 |
| 12, Gaudenzdorf | 4 | 1 | 0 | 0 | 0 | 0 | 0 | 0 | 0 | 0 | 0 | 0 | 10 | 0 | 5 |
| 16, Kendlerstraße | 4 | 2 | 0 | 0 | 0 | 0 | 0 | 0 | 0 | 0 | 0 | 0 | 14 | 0 | 6 |
| 18, Schafberg | 2 | 2 | 0 | 0 | 0 | 0 | 0 | 0 | 0 | 0 | 0 | 0 | 10 | 0 | 4 |
| 21, Gerichtsgasse | 4 | 3 | 0 | 0 | 0 | 0 | 0 | 0 | 0 | 0 | 0 | 0 | 20 | 0 | 7 |
| 22, Lobau | 2 | 1 | 0 | 0 | 0 | 0 | 0 | 0 | 0 | 0 | 0 | 0 | 10 | 0 | 3 |
| 22, Stadlau | 5 | 2 | 0 | 0 | 0 | 0 | 0 | 0 | 0 | 0 | 0 | 0 | 17 | 0 | 7 |
| 23, Liesing-Gewerbegebiet | 3 | 1 | 0 | 0 | 0 | 0 | 0 | 0 | 0 | 0 | 0 | 0 | 11 | 0 | 4 |
| Wien-gesamt | 5 | 4 | 0 | 0 | 0 | 0 | 0 | 0 | 0 | 0 | 0 | 0 | 24 | 0 | 9 |

Legende:

WMW:Wintermittelwert (Okt 2018 bis März 2019) SMW:Sommermittelwert (Apr bis Sep) JMW:Jahresmittelwert (Jän bis Dez) Wien-Mittel: Mittelwert über alle Stationen

Datenverfügbarkeit:

Wert zentriert und standard: Wert kursiv und rechtsbündig:

"A" zentriert:

gemäß IG-L 75% oder mehr, aber weniger als 90% Grunddaten verfügbar weniger als 75% Grunddaten verfügbar

Tabelle 18: Anzahl der Tage mit PM₁₀ Überschreitungen im Jahr 2019

Schadstoffentwicklung

PM₁₀-Messungen werden vom Wiener Luftmessnetz seit Jänner 2002 durchgeführt. In den ersten Jahren konnte kein eindeutiger Trend der Belastung im Wiener Stadtgebiet festgestellt werden. In den letzten Jahren zeichnet sich hingegen trotz des höheren Wertes für 2018 ein abnehmender Trend ab. Generell erschwert jedoch die starke Abhängigkeit der PM₁₀-Konzentration von der Witterung im Winterhalbjahr eine Trendabschätzung.

Abbildung 5 gibt einen Überblick über die Jahresmittelwerte der letzten zehn Jahre.

Feinstaub (PM_{10}) - Jahresmittelwerte von 2010 bis 2019

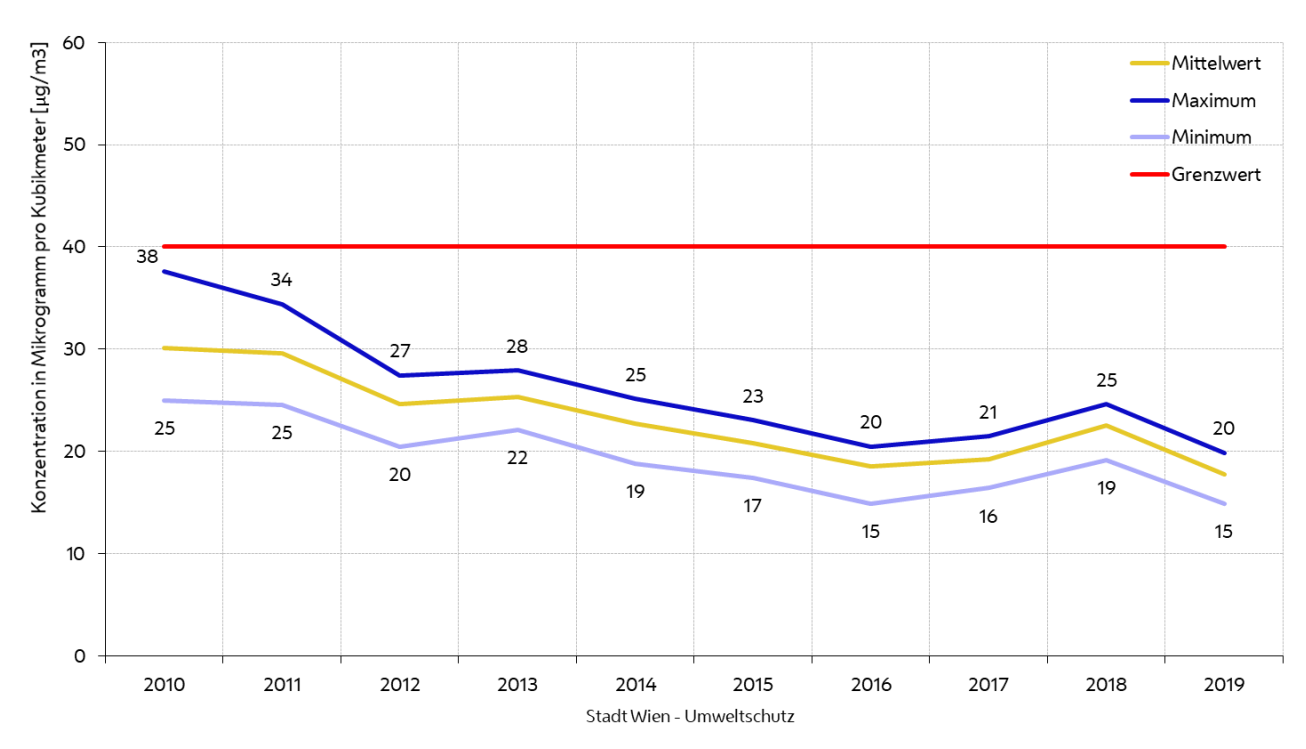
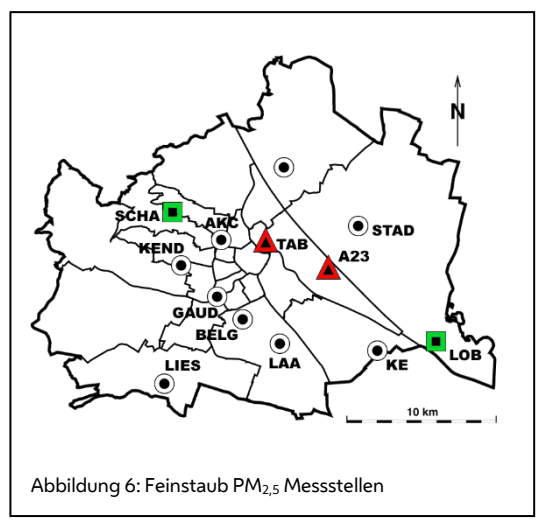


Abbildung 5: gemittelte Feinstaub PM_{10} Jahresmittelwerte von 2010 bis 2019

3.3 Feinstaub PM_{2,5}

 $PM_{2,5}$ ist im Wesentlichen jener Teil von PM_{10} , dessen Partikel einen Durchmesser von 2,5 μ m nicht überschreiten¹⁰.

Die Lage der PM_{2,5}-Messstellen im Stadtgebiet wird in der nebenstehenden Abbildung (Abbildung 6) dargestellt. Im Jahr 2019 wurden in Wien dreizehn PM_{2,5}-Messstellen gemäß IG-L betrieben. Das bedeutet, dass in diesem Jahr 7 Messstellen dazugekommen sind. Von diesen liegen die Messstellen A23-Wehlistraße und Taborstraße verkehrsnah¹¹ (rote Dreiecke in der nebenstehenden Abbildung) und die Lobau und Schafberg in einem Erholungsgebiet. Die Station Liesing-Gewerbegebiet ist in einem Industriegebiet am südlichen Stadtrand situiert, und



die übrigen Stationen liegen im bebauten Stadtgebiet mit unterschiedlicher Dichte und Gebäudehöhe. Nähere Informationen über die Standorte des Wiener Luftmessnetzes und deren Messausstattung sind in Abschnitt 7.3 zusammengefasst. An drei Messstellen ("Taborstraße", "AKH" und "A23-Wehlistraße") wurde mit einem gravimetrischen Verfahren gemessen. Zur tagesaktuellen Berichterstattung wurden an allen dreizehn PM_{2,5} Messstellen zusätzlich kontinuierliche Messgeräte (Grimm EDM-180) die mit Partikelzählung arbeiten betrieben. Detaillierte Informationen zur Äquivalenz dieser Geräte zum Referenzverfahren und den eingesetzten Kalibrierfunktionen sind in Kapitel 6 bzw. im Kapitel 7.6 angegeben.

Grenzwertüberschreitungen

Der Grenzwert beträgt 25 μ g/m³ als Jahresmittelwert. Im Jahr 2019 wurde dieser Grenzwert an keiner Messstelle überschritten. Der höchste beobachtete Jahresmittelwert beträgt 14 μ g/m³ an der Messstelle Taborstraße.

 $^{^{10}}$ Gemäß IG-L bezeichnet PM_{2,5} jene Partikel, die einen größenselektierenden Lufteinlass passieren, der für einen aerodynamischen Durchmesser von 2,5 μ m eine Abscheidewirksamkeit von 50 v.H. aufweist.

¹¹ Verkehrsnah: Die Probenahmestelle liegt in einer Entfernung von höchstens 10 m vom Fahrbahnrand.

Ergebnisse der Immissionsmessung

Die folgende Tabelle (Tabelle 19) zeigt die Wiener $PM_{2,5}$ Monats- und Jahresmittelwerte des Jahres 2019. Die Werte sind in Mikrogramm pro Kubikmeter angegeben.

| Feinstaub (PM _{2,5}) Monatsm | ittel | wert | e im . | Jahr | 2019 | | | | | | | | | | |
|--|-------|------|--------|------|------|----|----|----|----|----|----|----|-----|-----|-----|
| | 01 | 02 | 03 | 04 | 05 | 06 | 07 | 80 | 09 | 10 | 11 | 12 | WMW | SMW | JMW |
| 2, Taborstraße 9 | 18 | 21 | 12 | 16 | 9 | 14 | 12 | 12 | 9 | 14 | 12 | 15 | 19 | 12 | 14 |
| <u>9, AKH ⁹</u> | 17 | 19 | 10 | 15 | 8 | 13 | 11 | 10 | 8 | 13 | 12 | 15 | 18 | 11 | 13 |
| 10, Belgradplatz | 17 | 19 | 12 | 18 | 9 | 10 | 8 | 9 | 7 | 16 | 14 | 16 | 18 | 10 | 13 |
| 10, Laaer Berg | 17 | 20 | 11 | 16 | 8 | 9 | 8 | 8 | 7 | Α | Α | 17 | 19 | 9 | 12 |
| 11, Kaiser-Ebersdorf | 18 | 22 | 12 | 17 | 8 | 9 | 8 | 8 | 7 | 15 | 13 | 16 | 20 | 10 | 13 |
| 11, A23-Wehlistraße 9 | 18 | 22 | 11 | 16 | 9 | 14 | 11 | 11 | 8 | 13 | 12 | 15 | 19 | 11 | 13 |
| 12, Gaudenzdorf | 17 | 20 | 12 | 17 | 9 | 9 | 7 | 7 | 6 | 14 | 13 | 15 | 19 | 9 | 12 |
| 16, Kendlerstraße | 17 | 21 | 12 | 17 | 9 | 10 | 9 | 9 | 7 | 16 | 14 | 17 | 19 | 10 | 13 |
| 18, Schafberg | 16 | 18 | 10 | 16 | 8 | 10 | 8 | 8 | 6 | 14 | 12 | 13 | 17 | 10 | 12 |
| 21, Gerichtsgasse | 20 | 22 | 13 | 18 | 8 | 9 | Α | 8 | 7 | 15 | 13 | 15 | 21 | 10 | 13 |
| 22, Lobau | 16 | 18 | 10 | 16 | 8 | 9 | 7 | 7 | 6 | 11 | 11 | 13 | 16 | 9 | 11 |
| 22, Stadlau | 19 | 23 | 13 | 16 | 8 | 9 | 7 | 8 | 7 | 14 | 12 | 15 | 21 | 9 | 13 |
| 23, Liesing-Gewerbegebiet | 15 | 18 | 11 | 17 | 8 | 9 | 7 | 7 | 5 | 13 | 12 | 14 | 17 | 9 | 11 |
| Wien-Mittel | 17 | 20 | 11 | 17 | 8 | 10 | 9 | 9 | 7 | 14 | 12 | 15 | 19 | 10 | 12 |

Legende:

WMW:Wintermittelwert (Okt 2018 bis März 2019) SMW:Sommermittelwert (Apr bis Sep) JMW:Jahresmittelwert (Jän bis Dez) Wien-Mittel: Mittelwert über alle Stationen

Datenverfügbarkeit:Wert zentriert und standard: gemäß IG-L

Wert zentriert und standard: Wert kursiv und rechtsbündig:

"A" zentriert:

gemäß IG-L 75% oder mehr, aber weniger als 90% Grunddaten verfügbar weniger als 75% Grunddaten verfügbar

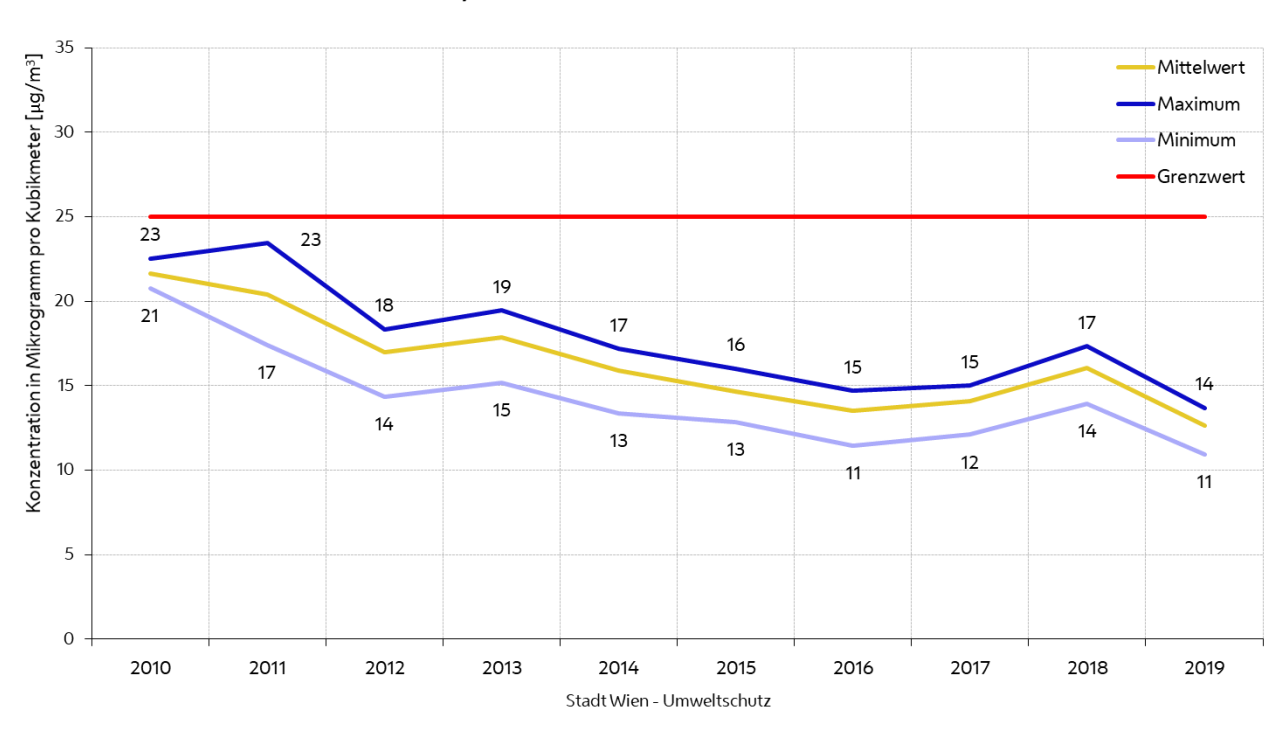
Tabelle 19: Feinstaub PM_{2,5} Monatsmittelwerte im Jahr 2019

Die Ursache für die geringe Verfügbarkeit der Daten im September, Oktober und November an der Messstation Laaer Berg, im Juli und September an der Messstation Schafberg und im Juli an der Messstation Gerichtsgasse ist auf eine Fehlfunktion des jeweiligen Messgerätes zurückzuführen.

Die Jahresmittelwerte betragen im Jahr 2019 zwischen 11 μ g/m³ (Station Lobau und Liesing-Gewerbegebiet) und 14 μ g/m³ (Station Taborstraße). Der höchste Tagesmittelwert beträgt 69 μ g/m³ und wurde am 23. Jänner 2019 an der Messstelle A23-Wehlistraße registriert. Das im Vorjahr gemessene Maximum beträgt 75 μ g/m³ (5. März 2018, Messstelle Taborstraße).

Schadstoffentwicklung

PM_{2,5}-Messungen werden vom Wiener Luftmessnetz seit Jänner 2003 durchgeführt. Ein sinkender Trend der Belastung im Wiener Stadtgebiet ist aus dem Verlauf der Jahresmittelwerte der letzten zehn Jahre zu erkennen (Abbildung 7).



Feinstaub (PM_{2,5}) - Jahresmittelwerte von 2010 bis 2019

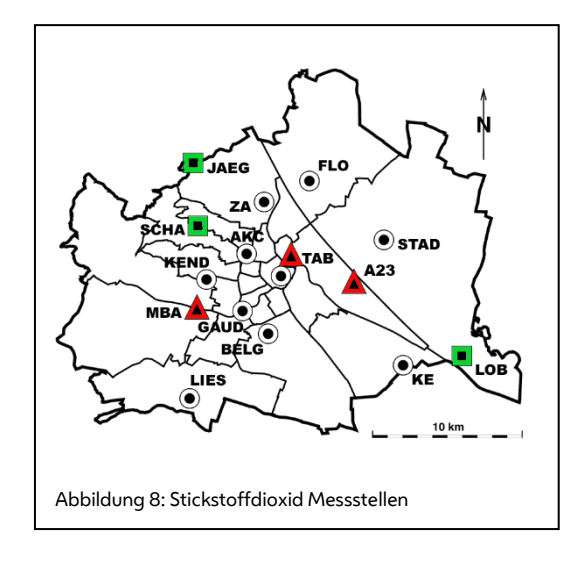
Abbildung 7: gemittelte $PM_{2,5}$ Jahresmittelwerte von 2010 bis 2019

Die starke Abhängigkeit der $PM_{2,5}$ -Konzentration von der Meteorologie erschwert generell eine Trendabschätzung.

3.4 Stickstoffdioxid (NO₂)

 NO_2 entsteht aus dem primär gebildeten NO durch Oxidation, wird aber zunehmend auch direkt emittiert, vor allem durch moderne Dieselkraftfahrzeuge. Ozon (O3) spielt als Oxidationsmittel eine wesentliche Rolle bei der Umwandlung von NO zu NO_2 . Die Summe der Stickstoffoxide NO und NO_2 wird als NO_x (Stickstoffoxide) bezeichnet und als Masse NO_2 berechnet.

Die Lage der NO₂-Messstellen im Stadtgebiet wird in der nebenstehenden Abbildung (Abbildung 8) dargestellt. Im Jahr 2019 wurden in Wien sechzehn NO₂-Messstellen gemäß IG-L betrieben. Davon liegen die Messstellen Taborstraße und Hietzinger Kai verkehrsnah¹² und die Stelle A23-Wehlistraße



verkehrsbeeinflusst (rote Dreiecke in der nebenstehenden Abbildung). Hermannskogel, Schafberg und Lobau liegen in Erholungsgebieten, die vom innerstädtischen Geschehen weitgehend unbeeinflusst sind (grüne Quadrate). Die Station Liesing-Gewerbegebiet ist in einem Industriegebiet am südlichen Stadtrand situiert, und die übrigen Stationen liegen im bebauten Gebiet mit unterschiedlicher Dichte und Gebäudehöhe. Detaillierte Informationen über die Standorte des Wiener Luftgütemessnetzes und deren Messausstattung sind in Abschnitt 7.3 zusammengefasst.

Die Messstelle Hietzinger Kai liegt 3 m vom Fahrbahnrand entfernt an einer Haupteinfallstraße Wiens mit einem durchschnittlichen täglichen Verkehrsaufkommen (DTV) von ca. 19100 Kraftfahrzeugen stadteinwärts. In der Taborstraße (DTV 14700) befindet sich die Messstelle ca. 3,5 m vom Fahrbahnrand entfernt und an der Messstelle A23-Wehlistraße wird ca. 165 m südöstlich der extrem verkehrsbelasteten Südosttangente (DTV 214000) gemessen. Die DTV's wurden dem Emissionskataster (emikat.at) – einem Datenmanagementsystem zur Verwaltung von emissionsrelevanten Informationen und zur Emissionsberechnung für Bundesländer und Gemeinden - entnommen.

Alarmwertüberschreitungen

Der Alarmwert von 400 μ g/m³ als Dreistundenmittelwert wurde an allen Messstellen eingehalten. Der höchste beobachtete Dreistundenmittelwert betrug 137 μ g/m³ an der Station Hietzinger Kai. Im Vorjahr 2018 betrug der höchste Wert 170 μ g/m³ - gemessen an der Messstelle Hietzinger Kai.

23

¹² Verkehrsnah: Die Probenahme liegt in einer Entfernung von höchstens 10 m vom Fahrbahnrand.

Grenzwertüberschreitungen

Im Jahr 2019 wurde der humanhygienische Grenzwert von 200 μ g/m³ (als Halbstundenmittelwert) an allen 16 Stationen eingehalten. Der höchst zulässige Wert für den Jahresmittelwert (35 μ g/m³ inklusive Toleranzmarge) wurde nur an einer Messstelle (Hietzinger Kai) mit einem Wert von 38 μ g/m³ überschritten. Der in der Richtlinie 2008/50/EG des Europäischen Parlaments und des Rates über Luftqualität und saubere Luft für Europa festgelegte Grenzwert von 40 μ g/m³ als Jahresmittelwert wurde an keiner Messstelle überschritten. Tabelle 20 zeigt eine Zusammenfassung der Werte.

| Stickstoffdioxid NO | ₂ (16 Messstellen) – i | Überschreitungen 20 |)19 | | |
|-----------------------------|-----------------------------------|----------------------------|---------|----------------|----------|
| Grenzwerte | Datum | Anzahl Überschreitungen | Maximum | Messstelle | Störfall |
| 200 μg/m³ (HMW) | 29.08.2019 | keine | 177 | Hietzinger Kai | - |
| Grenzwerte | Maximum | | | Messstelle | Störfall |
| $35 \mu g/m^3 (JMW)^{13}$ | 38 μg/m³ | | | Hietzinger Kai | nein |

Tabelle 20: Stickstoffdioxid Grenzwertüberschreitungen in Wien im Jahr 2019

Auf Grund von Überschreitungen des Grenzwertes plus Toleranzmarge für den Jahresmittelwert wurde bereits eine Statuserhebung erstellt und im Jahr 2005 veröffentlicht [11]. Die Ergebnisse dieser Statuserhebung sind nach wie vor auf alle vorliegenden Grenzwertüberschreitungen anwendbar.

Zielwertüberschreitungen

Im Jahr 2019 wurden bei Stickstoffdioxid an einem Tag 2 Tagesmittelwerte mit einem Messwert größer als $80 \,\mu g/m^3$ festgestellt. Im Jahr 2018 waren es 3 Tagesmittelwerte an drei Tagen. Betroffen sind die verkehrsnahen Standorte Hietzinger Kai und Taborstraße. Tabelle 21 gibt einen entsprechenden Überblick.

| Stickstoffdioxid - Zielwertübers | schreitungen 2019 (16 Messs | tellen) | | | | | | | | | | | |
|----------------------------------|-----------------------------|----------------|--|--|--|--|--|--|--|--|--|--|--|
| Zielwert: 80µg/m³ als Tagesmitt | elwert | | | | | | | | | | | | |
| Tage > Zielwert | , 5 | | | | | | | | | | | | |
| 1Tag | 84 μg/m³ | Hietzinger Kai | | | | | | | | | | | |
| 1Tag | 83 µg/m³ | Taborstraße | | | | | | | | | | | |

Tabelle 21: Stickstoffdioxid Zielwertüberschreitungen in Wien im Jahr 2019

-

¹³ Der JMW-Grenzwert von 35 μ g/m³ ergibt sich aus dem eigentlichen Grenzwert von 30 μ g/m³ und einer Toleranzmarge für das Jahr 2015 von 5 μ g/m³.

Ergebnisse der Immissionsmessungen

Eine Jahresübersicht der NO_2 -Messergebnisse aller Wiener Messstellen, angegeben in Mikrogramm pro Kubikmeter, bietet die folgende Tabelle (Tabelle 22).

| Jahresübersicht über die Stickstoffdioxid (NO ₂) Jahres- und Monatsmittelwerte | | | | | | | | | | | | | | | |
|--|----|----|----|----|----|----|----|----|----|----|----|----|-----|-----|-----|
| | 01 | 02 | 03 | 04 | 05 | 06 | 07 | 08 | 09 | 10 | 11 | 12 | WMW | SMW | JMW |
| 1, Stephansplatz | 24 | 30 | 26 | 20 | 16 | 15 | 16 | 15 | 18 | 25 | 20 | 27 | 25 | 17 | 21 |
| 2, Taborstraße | 33 | 39 | 34 | 30 | 24 | 28 | 24 | 25 | 26 | 35 | 30 | 34 | 35 | 26 | 30 |
| 9, AKH | 24 | 30 | 25 | 18 | 15 | 13 | 15 | 15 | 18 | 26 | 22 | 28 | 26 | 16 | 21 |
| 10, Belgradplatz | 28 | 35 | 29 | 24 | 20 | 21 | 20 | 20 | 22 | 29 | 25 | 31 | 30 | 21 | 25 |
| 11, Kaiser-Ebersdorf | 24 | 32 | 23 | 21 | 17 | 17 | 21 | Α | 20 | 24 | 20 | 25 | 25 | 19 | 22 |
| 11, A23-Wehlistraße | 32 | 44 | 38 | 32 | 29 | 29 | 31 | 29 | 30 | 31 | 24 | 29 | 34 | 30 | 31 |
| 12, Gaudenzdorf | 28 | 34 | 27 | 25 | 19 | 20 | 21 | 18 | 21 | 28 | 24 | 30 | 29 | 21 | 25 |
| 13, Hietzinger Kai | 39 | 46 | 41 | 39 | 32 | 40 | 33 | 36 | 33 | 40 | 38 | 40 | 43 | 36 | 38 |
| 16, Kendlerstraße | 24 | 30 | 23 | 22 | 17 | 16 | 18 | 15 | 17 | 26 | 22 | 28 | 26 | 17 | 21 |
| 18, Schafberg | 17 | 19 | 11 | 10 | 8 | 9 | 8 | 9 | 9 | 16 | 16 | 20 | 16 | 9 | 13 |
| 19, Hermannskogel | 13 | 15 | 7 | 8 | 6 | 5 | 4 | 5 | 6 | 11 | 12 | 14 | 13 | 6 | 9 |
| 19, Hohe Warte | 20 | 26 | 19 | 14 | 12 | 12 | 11 | 13 | 14 | 21 | 20 | 24 | 22 | 13 | 17 |
| 21, Gerichtsgasse | 26 | 32 | 26 | 19 | 19 | 17 | 18 | 19 | 22 | 27 | 23 | 29 | 27 | 19 | 23 |
| 22, Lobau | 16 | 19 | 16 | 12 | 11 | 9 | 10 | 10 | 10 | 12 | 13 | 16 | 16 | 10 | 13 |
| 22, Stadlau | 25 | 34 | Α | 20 | 19 | 16 | 19 | 14 | 17 | 21 | 19 | 26 | 26 | 17 | 21 |
| 23, Liesing-Gewerbegebiet | 24 | 28 | 23 | 18 | 13 | 14 | 12 | 13 | 15 | 23 | 19 | 25 | 24 | 14 | 19 |
| Wien-Mittel | 25 | 31 | 25 | 21 | 17 | 17 | 18 | 17 | 19 | 25 | 22 | 27 | 26 | 18 | 22 |

Legende:

WMW:Wintermittelwert (Okt 2018 bis März 2019) SMW:Sommermittelwert (Apr bis Sep) JMW:Jahresmittelwert (Jän bis Dez) Wien-Mittel: Mittelwert über alle Stationen Wert zentriert und standard: Wert kursiv und rechtsbündig:

"A" zentriert:

Datenverfügbarkeit:

gemäß IG-L 75% oder mehr, aber weniger als 90% Grunddaten verfügbar weniger als 75% Grunddaten verfügbar

Tabelle 22: Stickstoffdioxid Monatsmittelwerte in Wien im Jahr 2019

Die geringe Verfügbarkeit der Daten im April (Stadlau) und Juli (Kaiser-Ebersdorf) bzw. den Ausfall im März (Stadlau) und August (Kaiser-Ebersdorf) ist auf eine Fehlfunktion der Messgeräte zurückzuführen.

Eine Jahresübersicht der Stickstoffoxid Messergebnisse (NO_X ist die Summe aus Stickstoffmonoxid und Stickstoffdioxid) aller Wiener Messstellen, angegeben in Mikrogramm pro Kubikmeter, bietet die folgende Tabelle (Tabelle 23).

| Jahresübersicht über die Stickstoffoxid (NO _X) Jahres- und Monatsmittelwerte | | | | | | | | | | | | | | | |
|--|----|-----|----|----|----|----|----|----|----|-----|-----|-----|-----|-----|-----|
| | 01 | 02 | 03 | 04 | 05 | 06 | 07 | 08 | 09 | 10 | 11 | 12 | WMW | SMW | JMW |
| 1, Stephansplatz | 32 | 42 | 33 | 23 | 19 | 16 | 17 | 17 | 21 | 37 | 29 | 49 | 34 | 19 | 28 |
| 2, Taborstraße | 55 | 69 | 54 | 41 | 33 | 37 | 32 | 32 | 37 | 66 | 56 | 73 | 61 | 35 | 49 |
| 9, AKH | 35 | 45 | 35 | 22 | 19 | 16 | 18 | 18 | 24 | 42 | 33 | 56 | 40 | 19 | 30 |
| 10, Belgradplatz | 44 | 53 | 41 | 30 | 25 | 24 | 23 | 23 | 28 | 50 | 43 | 63 | 47 | 26 | 37 |
| 11, Kaiser-Ebersdorf | 35 | 49 | 32 | 27 | 21 | 20 | 24 | Α | 28 | 38 | 30 | 49 | 39 | 24 | 32 |
| 11, A23-Wehlistraße | 56 | 80 | 61 | 47 | 43 | 38 | 40 | 40 | 45 | 63 | 44 | 66 | 63 | 42 | 52 |
| 12, Gaudenzdorf | 44 | 52 | 37 | 31 | 23 | 23 | 25 | 22 | 27 | 49 | 39 | 60 | 45 | 25 | 36 |
| 13, Hietzinger Kai | 96 | 104 | 84 | 73 | 62 | 68 | 55 | 65 | 67 | 108 | 110 | 128 | 109 | 65 | 85 |
| 16, Kendlerstraße | 39 | 49 | 36 | 30 | 22 | 17 | 23 | 19 | 24 | 44 | 38 | 59 | 41 | 22 | 33 |
| 18, Schafberg | 20 | 22 | 13 | 11 | 9 | 9 | 9 | 10 | 10 | 19 | 21 | 29 | 20 | 10 | 15 |
| 19, Hermannskogel | 17 | 17 | 9 | 10 | 7 | 7 | 6 | 7 | 7 | 14 | 14 | 17 | 16 | 7 | 11 |
| 19, Hohe Warte | 26 | 34 | 24 | 17 | 14 | 14 | 12 | 14 | 17 | 30 | 29 | 43 | 30 | 15 | 23 |
| 21, Gerichtsgasse | 39 | 53 | 38 | 22 | 23 | 19 | 20 | 22 | 28 | 42 | 36 | 53 | 41 | 23 | 33 |
| 22, Lobau | 19 | 23 | 20 | 13 | 12 | 10 | 11 | 11 | 12 | 16 | 16 | 23 | 19 | 12 | 16 |
| 22, Stadlau | 38 | 61 | Α | 23 | 24 | 21 | 25 | 19 | 27 | 40 | 31 | 50 | 41 | 23 | 32 |
| 23, Liesing-Gewerbegebiet | 39 | 49 | 33 | 25 | 18 | 18 | 15 | 16 | 21 | 42 | 38 | 59 | 41 | 19 | 31 |
| Wien-Mittel | 40 | 50 | 37 | 28 | 23 | 22 | 22 | 22 | 26 | 44 | 38 | 55 | 43 | 24 | 34 |

Legende:

WMW:Wintermittelwert (Okt 2018 bis März 2019) SMW:Sommermittelwert (Apr bis Sep) JMW:Jahresmittelwert (Jän bis Dez) Wien-Mittel: Mittelwert über alle Stationen Wert zentriert und standard: Wert kursiv und rechtsbündig:

"A" zentriert:

Datenverfügbarkeit:

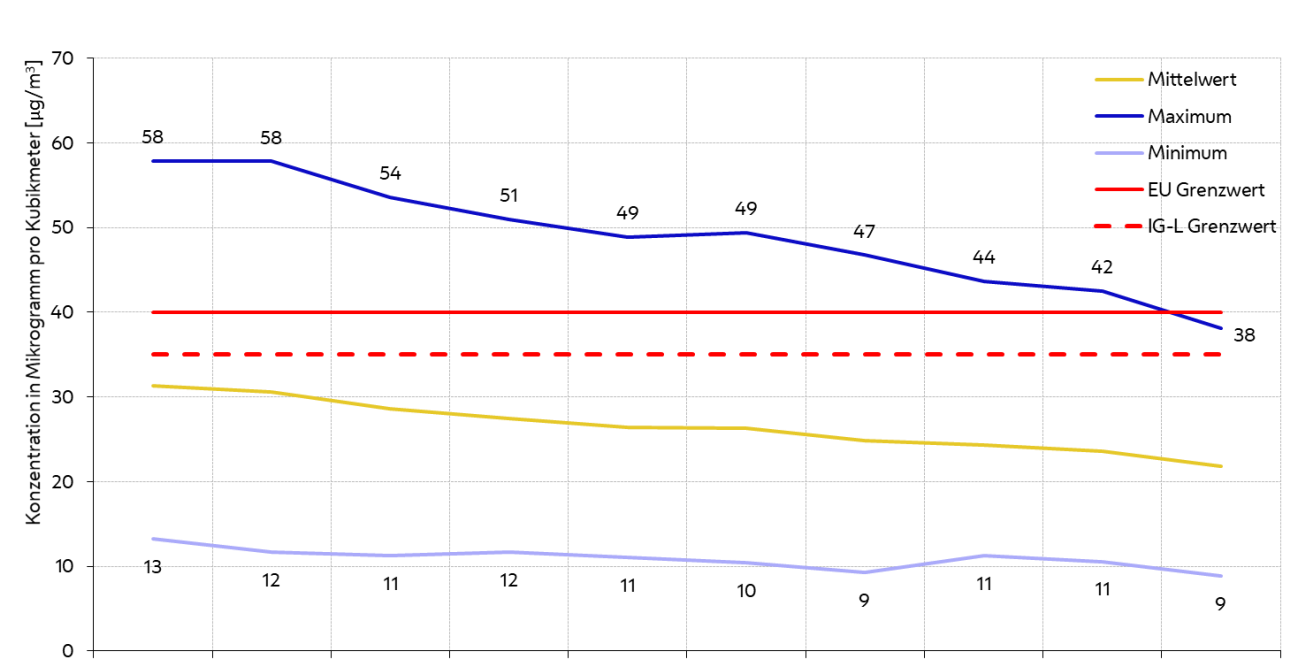
gemäß IG-L 75% oder mehr, aber weniger als 90% Grunddaten verfügbar weniger als 75% Grunddaten verfügbar

Tabelle 23: Stickstoffoxid Monatsmittelwerte in Wien im Jahr 2019

Die geringe Verfügbarkeit der Daten im April (Stadlau) und Juli (Kaiser-Ebersdorf) bzw. den Ausfall im März (Stadlau) und August (Kaiser-Ebersdorf) ist auf eine Fehlfunktion der Messgeräte zurückzuführen.

Schadstoffentwicklung

In der Abfolge der über das Wiener Stadtgebiet gemittelten Jahresmittelwerte der letzten zehn Jahre ist vor allem in den letzten Jahren ein Abwärtstrend der Stickstoffdioxidbelastung erkennbar, wie aus der nachfolgenden Abbildung (Abbildung 10) ersichtlich ist.



Stickstoffdioxid - Jahresmittelwerte von 2010 bis 2019

Abbildung 9: gemittelte Stickstoffdioxid Jahresmittelwerte von 2010 bis 2019

Die Jahresmittelwerte der Stickstoffoxid-Konzentrationen zeigen dagegen einen insgesamt deutlich sinkenden Trend.

Stadt Wien - Umweltschutz

Stickstoffoxid - Jahresmittelwerte von 2010 bis 2019

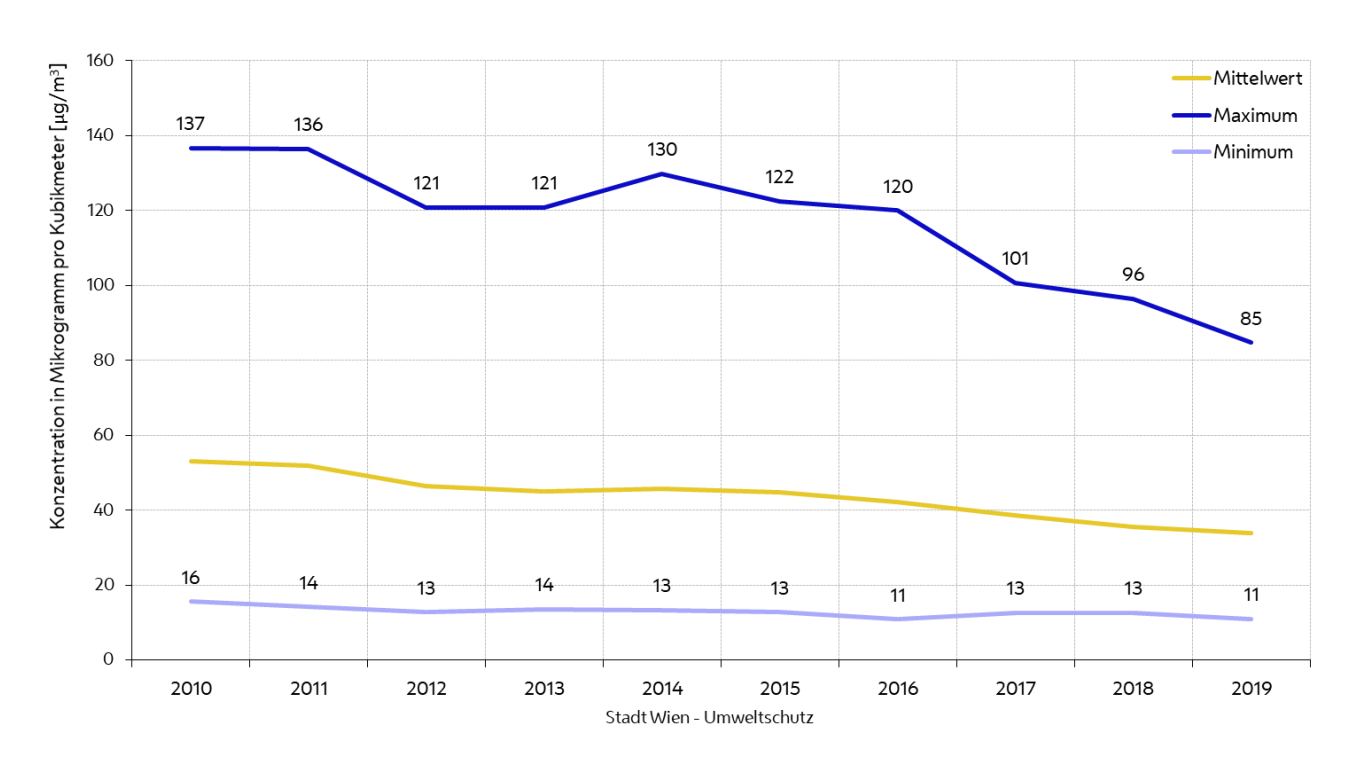


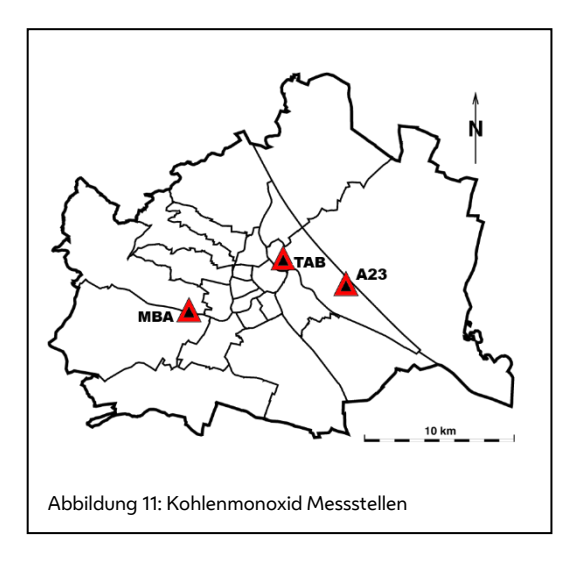
Abbildung 10: gemittelte Stickstoffoxid Jahresmittelwerte von 2010 bis 2019

3.5 Kohlenmonoxid (CO)

Die Lage der CO-Messstellen im Stadtgebiet wird in der nebenstehenden Abbildung (Abbildung 11) dargestellt. Im Jahr 2019 wurden in Wien drei CO-Messstellen gemäß IG-L betrieben. Davon liegen die Messstellen Taborstraße und Hietzinger Kai verkehrsnah¹⁴ und die Messstelle A23-Wehlistraße verkehrsbeeinflusst (rote Dreiecke in der nebenstehenden Abbildung).

Grenzwertüberschreitungen

Im Jahr 2019 sind keine Überschreitungen des Grenzwertes von 10 mg/m³ als Achtstundenmittelwert festgestellt worden. Der höchste beobachtete Achtstundenmittelwert betrug 1,16 mg/m³ an der Station Taborstraße.



Ergebnisse der Immissionsmessungen

Die folgende Tabelle (Tabelle 24) gibt einen Überblick über die Kohlenmonoxid – Monatsmittelwerte in Wien im Jahr 2019. Die Angaben erfolgen in Milligramm pro Kubikmeter.

| Jahresübersicht über | die K | ohler | nmon | oxid . | Jahre | s- un | d Mo | onats | mitte | lwert | е | | | | |
|----------------------|-------|-------|------|--------|-------|-------|------|-------|-------|-------|-----|-----|-----|-----|-----|
| | 01 | 02 | 03 | 04 | 05 | 06 | 07 | 08 | 09 | 10 | 11 | 12 | WMW | SMW | JMW |
| 2, Taborstraße | 0,4 | 0,4 | 0,3 | 0,3 | 0,2 | 0,2 | 0,2 | 0,2 | 0,2 | 0,3 | 0,3 | 0,4 | 0,4 | 0,2 | 0,3 |
| 11, A23-Wehlistraße | 0,3 | 0,4 | 0,3 | 0,3 | 0,2 | 0,2 | 0,2 | 0,2 | 0,2 | 0,3 | 0,2 | 0,3 | 0,3 | 0,2 | 0,3 |
| 13, Hietzinger Kai | 0,3 | 0,4 | 0,3 | 0,3 | 0,2 | 0,2 | 0,2 | 0,3 | 0,3 | 0,3 | 0,4 | 0,4 | 0,4 | 0,3 | 0,3 |
| Wien-Mittel | 0,3 | 0,4 | 0,3 | 0,3 | 0,2 | 0,2 | 0,2 | 0,2 | 0,2 | 0,3 | 0,3 | 0,4 | 0,3 | 0,2 | 0,3 |

Legende:

WMW:Wintermittelwert (Okt 2018 bis März 2019)

SMW:Sommermittelwert (Apr bis Sep) JMW:Jahresmittelwert (Jän bis Dez)

Wien-Mittel: Mittelwert über alle Stationen

Wert zentriert und standard: Wert kursiv und rechtsbündig:

"A" zentriert:

Datenverfügbarkeit:

gemäß IG-L

75% oder mehr, aber weniger als 90% Grunddaten verfügbar

weniger als 75% Grunddaten verfügbar

Tabelle 24: Kohlenmonoxid Monatsmittelwerte in Wien im Jahr 2019

¹⁴ Verkehrsnah: Die Probenahme liegt in einer Entfernung von höchstens 10 m vom Fahrbahnrand.

0,1

0,0

2010

Schadstoffentwicklung

Seit Jahren wurden im Wiener Luftgütemessnetz keine Gesundheitsschutzgrenzwertüberschreitungen registriert. Ein sinkender Trend ist ab dem Jahr 2000 zu beobachten.

Die Abbildung 12 gibt einen Überblick über den Verlauf der Jahresmittelwerte der letzten zehn Jahre.

Konzentration in Milligramm pro Kubikmeter [µg/m³] Mittelwert Maximum Minimum 0,46 0,42 0,38 0,38 0,37 0,35 0,35 0,32 0,32 0,30 0,36 0,34 0,30 0,30 0,28 0,28 0,28 0,27 0,26 0,25 0,2

2014

Stadt Wien - Umweltschutz

2013

2015

2016

2017

2018

2019

Kohlenmonoxid - Jahresmittelwerte von 2010 bis 2019

Abbildung 12: gemittelte Kohlenmonoxid Jahresmittelwerte von 2010 bis 2019

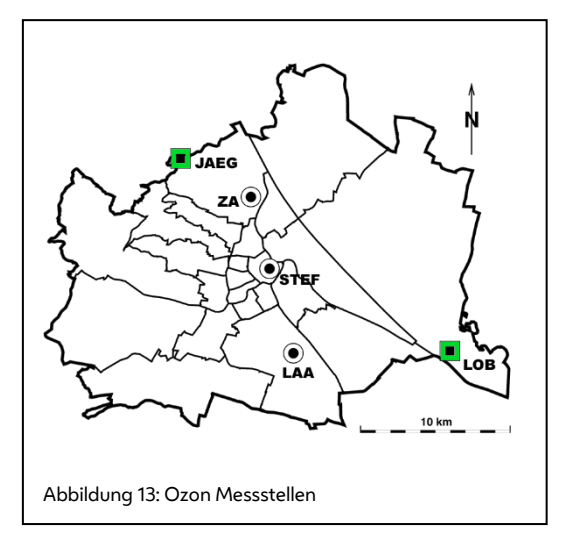
2012

2011

3.6 Ozon (O₃)

Die Lage der Ozon-Messstellen im Stadtgebiet wird in der nebenstehenden Abbildung (Abbildung 13) dargestellt. Im Jahr 2019 wurden in Wien fünf Ozon-Messstellen gemäß Ozongesetz [5] betrieben. Davon liegen die Messstellen Hermannskogel und Lobau in Erholungsgebieten, die vom innerstädtischen Geschehen weitgehend unbeeinflusst sind (grüne Quadrate). Die übrigen Stationen liegen im bebauten Gebiet mit unterschiedlicher Dichte und Gebäudehöhe.

Der Sekundärschadstoff Ozon mit seinen komplexen chemischen Bildungsprozessen ist aufgrund der räumlichen Verteilung von überregionaler und internationaler Bedeutung.



Eine verkehrsnahe Erfassung von Ozon ist nicht sinnvoll, da aufgrund der reduzierenden Wirkung durch Verkehrsabgase, im speziellen durch NO, die Ozonkonzentration in unmittelbarer Nähe von Fahrzeugemissionen stark abgesenkt wird. Aus diesem Grund werden die höchsten Belastungen auch abseits von Verkehrswegen festgestellt. Die Messung dieses Schadstoffes konzentriert sich daher auf den Grünraum. Aber auch an Standorten mit hoher Bevölkerungsdichte (z.B. Stephansplatz) wird Ozon gemessen.

Überschreitungen der Ozon-Alarmschwelle in Nordostösterreich

Im Jahr 2019 wurde in Wien die Ozon-Alarmschwelle von 240 μg/m³ nicht überschritten.

Gemäß Ozongesetz [5] wird eine Überschreitung der Ozon-Alarmschwelle im Ozon-Überwachungsgebiet I, Nordostösterreich, festgestellt, sobald an zumindest einer Messstelle in diesem Gebiet der Einstundenwert über den Wert von 240 μ g/m³ steigt. Die Bevölkerung wird daraufhin solange über die erhöhte Ozonbelastung in Nordostösterreich informiert, bis eine weitere Überschreitung innerhalb der nächsten 24 Stunden nicht zu erwarten ist.

Die Alarmschwelle wurde im Jahr 2019 an keinem Tag im Ozon-Überwachungsgebiet I, Nordostösterreich überschritten.

Überschreitungen der Ozon-Informationsschwelle

Im Jahr 2019 wurden in Wien Überschreitungen der Ozon-Informationsschwelle von 180 µg/m³ gemessen.

Gemäß Ozongesetz [5] wird eine Überschreitung der Ozon-Informationsschwelle (180 μ g/m³ als Einstundenmittelwert) im Ozon-Überwachungsgebiet I, Nordostösterreich festgestellt, sobald an mindestens einer Messstelle in diesem Gebiet eine Überschreitung registriert wurde. Die Bevölkerung wird anschließend solange verstärkt über die Ozonbelastung in Nordostösterreich informiert, bis eine weitere Überschreitung innerhalb der nächsten 24 Stunden nicht zu erwarten ist.

Im Jahr 2019 wurden 25 Überschreitungen der Ozon-Informationsschwelle (180 μ g/m³ als Einstundenmittelwert) in Nordostösterreich festgestellt. In der folgenden Tabelle (Tabelle 25) sind alle Ozon-Episoden in Nordostösterreich für das Jahr 2019 zusammengestellt (Uhrzeiten in MESZ).

| Ozon-Episodei | 1 | Anzahl betroffen | | |
|----------------|---------------------|------------------|------------------|------------|
| in Nordostöste | rreich 2019 | Wien | Niederösterreich | Burgenland |
| 27.06. | ausgelöst um 14 Uhr | keine | keine | 1 |
| 28.06 | entwarnt um 9 Uhr | keine | keine | keine |
| 01.07 | ausgelöst um 13 Uhr | 4 | 5 | keine |
| 02.07 | entwarnt um 8 Uhr | keine | keine | keine |
| 26.07 | ausgelöst um 12 Uhr | 2 | keine | keine |
| 27.07 | entwarnt um 9 Uhr | keine | keine | keine |
| 29.08 | ausgelöst um 15 Uhr | keine | keine | 1 |
| 30.08 | entwarnt um 9 Uhr | keine | keine | keine |

Tabelle 25: Ozon-Episoden in Nordostösterreich im Jahr 2019 (Informationsschwelle)

Alle im Jahr 2019 in Wien gemessenen Überschreitungen der Ozon-Informationsschwelle von 180 μ g/m³ sind in der folgenden Tabelle (Tabelle 26) detailliert beschrieben (Datum und Uhrzeit in MESZ, Werte in μ g/m³).

| Datum | Messstelle | 11 ⁰⁰ | 12 ⁰⁰ | 13 ⁰⁰ | 14 ⁰⁰ | 15 ⁰⁰ | 16 ⁰⁰ | 17 ⁰⁰ | 18 ⁰⁰ | 19 ⁰⁰ | 20 ⁰⁰ |
|--------|---------------|------------------|------------------|------------------|------------------|------------------|------------------|-------------------------|------------------|-------------------------|------------------|
| 01.07. | Stephansplatz | - | - | - | 201 | 192 | - | - | - | - | - |
| 01.07 | Laaer Berg | - | - | - | - | 182 | - | - | - | - | - |
| 01.07 | Hermannskogel | - | - | - | - | - | - | 181 | - | - | - |
| 01.07 | Hohe Warte | - | - | 183 | 210 | 216 | 192 | - | - | - | - |
| 26.07 | Stephansplatz | - | - | 200 | - | - | - | - | - | - | - |
| 26.07 | Laaer Berg | - | 203 | - | - | - | - | - | - | - | - |

Tabelle 26: Ozon-Episoden in Wien im Jahr 2019 (Informationsschwelle)

Zielwertüberschreitungen

Im Jahr 2019 wurden bei Ozon insgesamt 822 stundenweise gleitende Achtstundenmittelwerte an 51 Tagen mit einem Wert größer als 120 μ g/m³ festgestellt. Im Jahr 2018 waren es 1197 Achtstundenmittelwerte an 71 Tagen. Der höchste gemessene Achtstundenmittelwert des Jahres 2019 beträgt 169 μ g/m³ an der Station Stephansplatz und Hohe Warte, 2018 waren es 182 μ g/m³ an der Station Hermannskogel. Tabelle 27 gibt einen entsprechenden Überblick.

| Ozon-Zielwertüberschreit Zielwert: 120 μg/m³ als Acht | | |
|---|----------------------------------|-----------------------|
| Messstelle | MW8-O > 120 μg/m³ | Maximum |
| Hohe Warte | 142 Überschreitungen an 25 Tagen | 169 μg/m ³ |
| Stephansplatz | 115 Überschreitungen an 21 Tagen | 169 μg/m ³ |

¹⁵ Achtstundenwerte bei Ozon werden aus Einstundenwerten gebildet.

32

| Ozon-Zielwertüberschre Zielwert: 120 μg/m³ als Ad | itungen 2019 (5 Messstellen) :htstundenmittelwert | |
|---|--|-----------------------|
| Messstelle | MW8-O > 120 μg/m³ | Maximum |
| Laaer Berg | 147 Überschreitungen an 24 Tagen | 165 μg/m ³ |
| Hermannskogel | 346 Überschreitungen an 48 Tagen | 163 μg/m ³ |
| Lobau | 72 Überschreitungen an 17 Tagen | 147 μg/m ³ |

Tabelle 27: Ozon-Zielwertüberschreitungen in Wien im Jahr 2019

Ergebnisse der Immissionsmessungen

Die Monats- und Jahresmittelwerte der Wiener Ozon-Messstellen sind in der folgenden Tabelle (Tabelle 28) wiedergegeben.

Die Werte sind in Mikrogramm pro Kubikmeter angegeben.

| Jahresübersicht über | die O | zon J | lahre | s- und | d Mor | natsn | nittel | werte | e 2019 | 7 | | | | | |
|----------------------|-------|-------|-------|--------|-------|-------|--------|-------|--------|----|----|----|-----|-----|-----|
| | 01 | 02 | 03 | 04 | 05 | 06 | 07 | 08 | 09 | 10 | 11 | 12 | WMW | SMW | JMW |
| 1, Stephansplatz | 42 | 43 | 57 | 70 | 67 | 87 | 85 | 81 | 62 | 37 | 36 | 34 | 41 | 76 | 58 |
| 10, Laaer Berg | 48 | 50 | 65 | 79 | 73 | 90 | 87 | 73 | 55 | 34 | 31 | 32 | 49 | 76 | 60 |
| 19, Hermannskogel | 56 | 64 | 82 | 91 | 81 | 98 | 95 | 90 | 72 | 54 | 48 | 45 | 59 | 88 | 73 |
| 19, Hohe Warte | 47 | 47 | 62 | 77 | 71 | 88 | 85 | 75 | 58 | 33 | 34 | 34 | 45 | 76 | 59 |
| 22, Lobau | 40 | 42 | 58 | 71 | 60 | 72 | 67 | 63 | 45 | 32 | 32 | 31 | 41 | 63 | 51 |
| Wien-Mittel | 47 | 49 | 65 | 78 | 70 | 87 | 84 | 76 | 58 | 38 | 36 | 35 | 47 | 76 | 60 |

Legende:

WMW:Wintermittelwert (Okt 2018 bis März 2019) SMW:Sommermittelwert (Apr bis Sep) JMW:Jahresmittelwert (Jän bis Dez)

Wien-Mittel: Mittelwert über alle Stationen

Datenverfügbarkeit:

Wert zentriert und standard: ge Wert kursiv und rechtsbündig: 73

"A" zentriert:

gemäß IG-L 75% oder mehr, aber weniger als 90% Grunddaten verfügbar

weniger als 75% Grunddaten verfügbar

Tabelle 28: Ozon Monatsmittelwerte in Wien im Jahr 2019

Die Ursache für die geringe Verfügbarkeit der Daten im Mai an der Messstation Stephansplatz ist auf eine Fehlfunktion des Messgerätes zurückzuführen.

Aufgrund des Bildungsmechanismus von Ozon ist die Intensität der Sonneneinstrahlung ein wesentlicher und bestimmender Faktor für hohe Ozonwerte. In den Wintermonaten werden deshalb auch sehr selten Überschreitungen des Zielwertes (MW8-O > 120 $\mu g/m^3$) festgestellt.

Die nachstehende Tabelle (Tabelle 29) gibt einen Überblick über die im Jahr 2019 in Wien erfassten Tage mit Überschreitungen des Ozon-Zielwertes, der Ozon-Informationsschwelle und der Ozon-Alarmschwelle.

| Anzahl Tage mit Ozon MW8-O > 120 μg/m³ | Stephanplatz | Laaer Berg | Hermannskogel | Hohe Warte | Lobau | Wien |
|---|--------------|------------|---------------|------------|-------|------|
| März | 0 | 0 | 0 | 0 | 0 | 0 |
| April | 1 | 3 | 9 | 5 | 3 | 9 |
| Mai | 0 | 2 | 5 | 2 | 2 | 5 |
| Juni | 8 | 7 | 11 | 9 | 2 | 14 |
| Juli | 8 | 10 | 13 | 8 | 7 | 13 |
| August | 4 | 2 | 9 | 1 | 3 | 9 |
| September | 0 | 0 | 1 | 0 | 0 | 1 |
| Oktober | 0 | 0 | 0 | 0 | 0 | 0 |
| Jahr 2019 | 21 | 24 | 48 | 25 | 17 | 51 |

| Anzahl Tage mit Ozon 1MW > 180 μg/m³ | Stephansplatz | O Laaer Berg | Hermannskogel | Hohe Warte | O Lobau | Wien |
|---|---------------|--------------|---------------|------------|---------|------|
| März | 0 | 0 | 0 | 0 | 0 | 0 |
| April | 0 | 0 | 0 | 0 | 0 | 0 |
| Mai | 0 | 0 | 0 | 0 | 0 | 0 |
| Juni | 0 | 0 | 0 | 0 | 0 | 0 |
| Juli | 2 | 2 | 1 | 1 | 0 | 2 |
| August | 0 | 0 | 0 | 0 | 0 | 0 |
| September | 0 | 0 | 0 | 0 | 0 | 0 |
| Oktober | 0 | 0 | 0 | 0 | 0 | 0 |
| Jahr 2019 | 2 | 2 | 1 | 1 | 0 | 2 |

| Anzahl Tage mit Ozon 1MW > 240 μg/m³ | Stephansplatz | Laaer Berg | Hermannskogel | Hohe Warte | Lobau | Wien |
|---|---------------|------------|---------------|------------|-------|------|
| März | 0 | 0 | 0 | 0 | 0 | 0 |
| April | 0 | 0 | 0 | 0 | 0 | 0 |
| Mai | 0 | 0 | 0 | 0 | 0 | 0 |
| Juni | 0 | 0 | 0 | 0 | 0 | 0 |
| Juli | 0 | 0 | 0 | 0 | 0 | 0 |
| August | 0 | 0 | 0 | 0 | 0 | 0 |
| September | 0 | 0 | 0 | 0 | 0 | 0 |
| Oktober | 0 | 0 | 0 | 0 | 0 | 0 |
| Jahr 2019 | 0 | 0 | 0 | 0 | 0 | 0 |

Tabelle 29: Anzahl der Ozon – Überschreitungstage in Wien im Jahr 2019

Dabei zeigt sich das in der folgenden Illustration dargestellte Belastungsbild (Abbildung 14).

| | | Jänner | | | | | | | | | | | F | E | ŧ |) | Ί | 16 | ar | | | | | | | | | V | lä | ir | Z | | | | | | | | | | | | F | ۱ | p | ri | I | | | | | | | | | | | | |
|----------------|---|--------|---|---|---|---|-------|---|-------|---|---|---|---|---|---|---|---|----|----|---|---|---|---|---|---|---|---|---|----|---|-------|-------|-------|---------|---|---|---------|---|---|---|---|---|---|---|---|----|---|---|---|---|---|----|---|---|---|---|---------|---|-----------|
| Stephansdom | | | | | - | | | | | | - | - | - | | - | - | - | | | - | | | | | - | - | - | | - | - | | | | | | - | - | - | - | - | - | | | | | | | | | | | | | | | | | | |
| Laaer Berg | M | n | I | I | I | I | Π | П | Π | M | M | M | M | I | | | - | I | I | | I | M | I | n | M | | I | П | | I | Π | Π | Π | \prod | n | M | \prod | | I | I | П | П | П | П | Π | I | I | I | I | I | I | II | I | I | I | M | П | П | floor |
| Hermannskogel | M | M | n | n | | I | M | M | M | M | M | M | M | I | - | M | - | M | n | 3 | n | M | I | M | M | I | M | M | M | I | M | M | M | M | M | M | M | I | M | M | П | M | П | П | Π | M | M | M | M | M | M | M | M | M | M | m | T | П | $ lab{I}$ |
| Zentralanstalt | | | - | - | - | | | I | | | | | | | - | | - | | - | - | - | | | | | - | | | - | - | | I | | | | | - | - | | | | П | П | П | | II | I | I | I | П | I | II | I | I | | | \prod | П | |
| Lobau | | - | | | | | | | | | | | | | - | | - | | | | | | | - | - | - | - | | - | *************************************** | - | | - | | - | - | - | - | | - | | П | | П | I | | I | | | | I | | I | I | | П | | П | |

| | Mai | Juni | Juli | August |
|----------------|-----|------|------|--------|
| Stephansdom | | | | |
| Laaer Berg | | | | |
| Hermannskogel | | | | |
| Zentralanstalt | | | | |
| Lobau | | | | |

| | September | Oktober | November | Dezember |
|----------------|-----------|---------|----------|----------|
| Stephansdom | | | | |
| Laaer Berg | | | | |
| Hermannskogel | | | | |
| Zentralanstalt | | | | |
| Lobau | | | | |

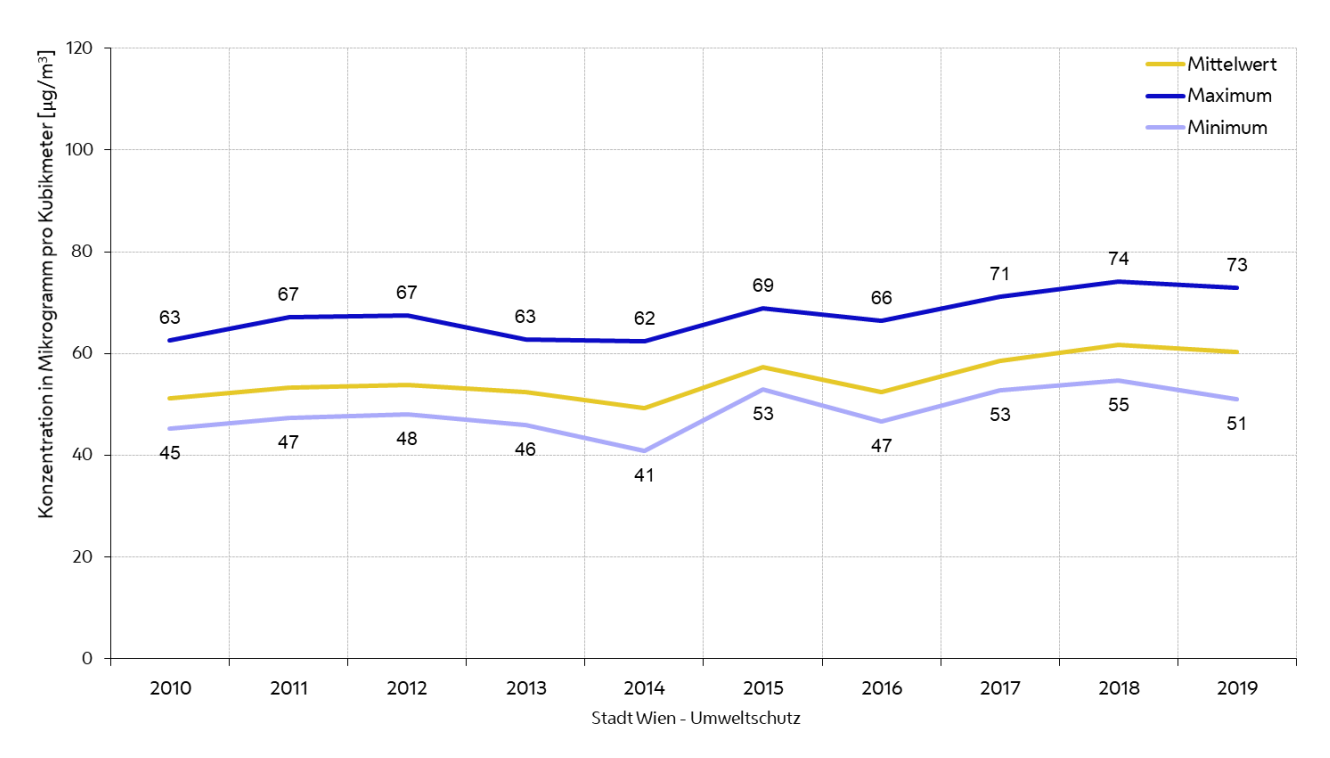
..... MW8-O > 120 μg/m³ 1MW > 180 μg/m³ 1MW > 240 μg/m³

Abbildung 14: Ozon Überschreitungen in Wien im Jahr 2019 – Belastungsbild

Schadstoffentwicklung

Aufgrund der starken Witterungsabhängigkeit der Ozonbelastung sind Trendaussagen schwierig.

Wie die untenstehende Darstellung (Abbildung 15) der Ozon-Jahresmittelwerte der letzten 10 Jahre zeigt, ist ein Anstieg der Ozonbelastung erkennbar.



Ozon - Jahresmittelwerte von 2010 bis 2019

Abbildung 15: gemittelte Ozon Jahresmittelwerte von 2010 bis 2019 $\,$

Städtische Messstellen sind für Langzeituntersuchungen wegen des Einflusses messstellennaher NO-Emittenten auf die Ozonkonzentration nur bedingt geeignet. Die Spitzenbelastung, beurteilt anhand des maximal gemessenen Einstundenmittelwertes eines Jahres, schwankt deutlich im Laufe der Jahre, wie aus nachstehender Abbildung (Abbildung 16) hervorgeht. Die Abhängigkeit von meteorologischen Einflüssen wirkt sich bei den Spitzenwerten noch stärker aus als bei Langzeitmittelwerten. Lange anhaltende sommerliche Hochdruckwetterlagen bei geringen Windgeschwindigkeiten begünstigen die Ozonbildung.

Die Spitzenbelastungen zeigen im Zeitraum der letzten zehn Jahre einen gleichbleibenden Trend.

Konzentration in Mikrogramm pro Kubikmeter $[\mu g/m^3]$ Stadt Wien - Umweltschutz

Maximaler Ozon-Einstundenwert eines Jahres

Abbildung 16: Maximaler Ozon-Einstundenwert eines Jahres von 2010 bis 2019

Vegetationsschutz

Im Ozongesetz ist ein Vegetationsschutz-Zielwert verankert, der sogenannte AOT40 ("accumulation over threshold 40 ppb"), der gemäß der Standortkriterien aus § 9 Abs. 4 Ozonmesskonzeptverordnung [7] an den Messstellen Hermannskogel, Hohe Warte und Lobau überwacht wird. Dabei wird der über 80 μ g/m³ (das sind etwa 40 ppb) liegende Anteil der Einstundenwerte (1MW) der Ozonkonzentration von 8 bis 20 Uhr im Zeitraum Mai bis Juli, also in der Hauptaktivitätszeit der Pflanzenwelt, summiert. Gemittelt über fünf Jahre soll dieser Wert 18000 μ g/m³h nicht übersteigen. Der Vegetationsschutz-Zielwert wurde im Jahr 2019 an allen drei Messstellen überschritten. Der über fünf Jahre gemittelte AOT40 beträgt an der Messstelle Hermannskogel 22245 μ g/m³h, an der Messstelle Hohe Warte 22151 μ g/m³h und an der Messstelle Lobau 15788 μ g/m³h.

Abbildung 17 stellt den Verlauf der AOT40 Messwerte der letzten zehn Jahre dar.

Ozon: AOT40 gemittelt über 5 Jahre an Wiener Standorten

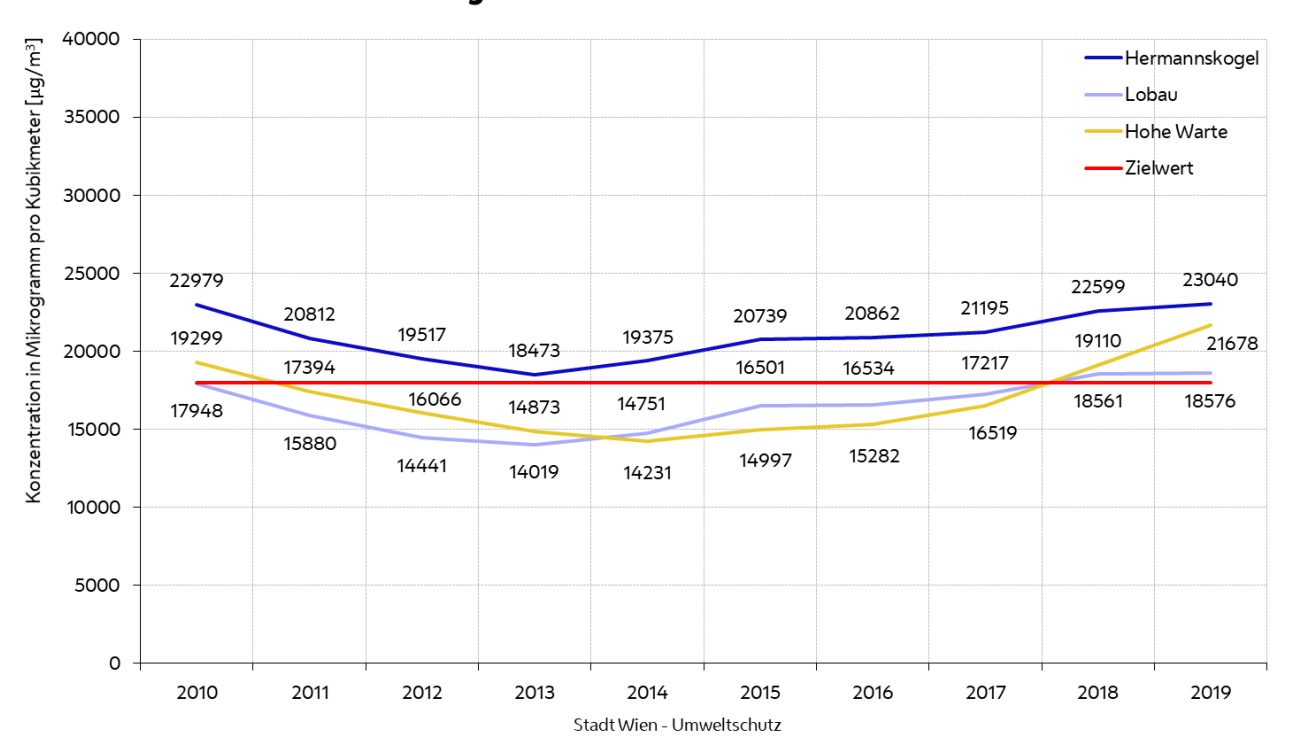


Abbildung 17: Ozon, AOT40 gemittelt über 5 Jahre in Wien

4 Ergebnisse diskontinuierlicher Analysen

4.1 Benzol

Für Wien ist eine Mindestanzahl von zwei Benzol-Messstellen in der Messkonzeptverordnung [2] vorgeschrieben. Die Messstelle A23-Wehlistraße wurde als Trendmessstelle für Benzol festgelegt und als zweite Benzol-Messstelle dient die am stärksten verkehrsbelastete Messstelle Hietzinger Kai (siehe Abschnitt 7.3).

Grenzwertüberschreitungen

Der Grenzwert für Benzol ist im IG-L als Jahresmittelwert (JMW) von 5 μ g/m³ definiert und wurde im Jahr 2019 an beiden Messstellen eingehalten.

Ergebnisse der Immissionsmessung

In der nachstehenden Abbildung (Abbildung 18) werden, beginnend mit dem Jahr 2010, die Jahresmittelwerte der zwei Messstationen angeführt. Im Jahr 2019 wurde an der Wiener Benzol-Messstation A23-Wehlistraße ein Wert von 0,8 μ g/m³ und an der Station Hietzinger Kai ein Wert von 0,9 μ g/m³ gemessen.

Benzol Jahresmittelwerte 2010 bis 2019

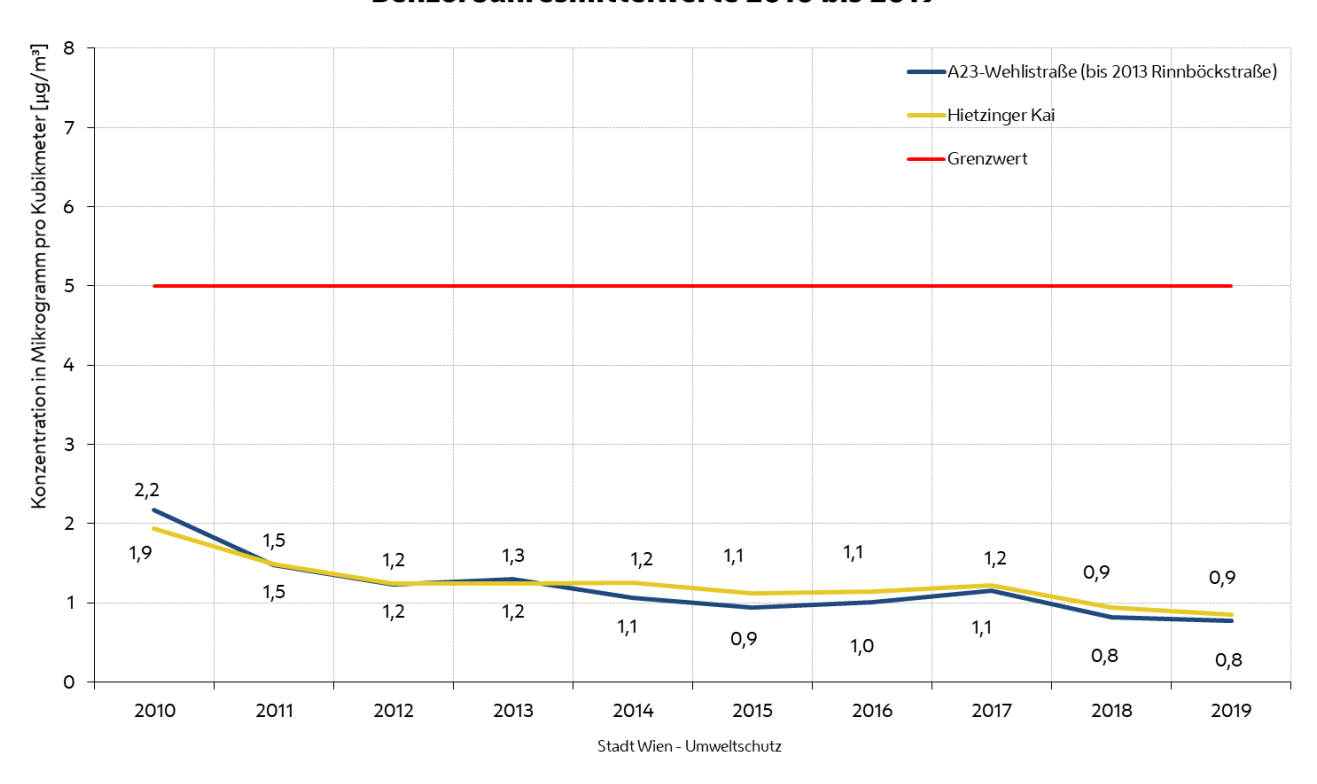


Abbildung 18: Benzol Jahresmittelwerte von 2010 bis 2019

Die höchsten gemessenen Werte liegen seit Jahren deutlich unterhalb des festgelegten Grenzwertes von $5 \,\mu g/m^3$.

Schadstoffentwicklung

Über einen Beobachtungszeitraum von mehr als zehn Jahren ist kein deutlicher Trend und eher ein Gleichbleiben der Benzolbelastung an beiden Messstandorten festzustellen.

4.2 Benzo(a)pyren

Der Benzo(a)pyren-Gehalt in der Feinstaub-Fraktion PM_{10} wird vom Wiener Luftmessnetz beginnend mit dem Jahr 2007 überwacht. Abbildung 19 zeigt den Verlauf der Messwerte der letzten 10 Jahre. Der Grenzwert nach IG-L beträgt 1 ng/m³ und wird an den drei Stationen AKH, A23-Wehlistraße und Schafberg im Jahr 2019 eingehalten. An der Station A23-Wehlistraße wurde 2019 ein Wert von 0,4 ng/m³ und an der Station AKH ein Wert von 0,3 ng/m³ gemessen. Der ab 2018 neu implementierte Standort Schafberg weist 2019 den Wert von 0,2 ng/m³ auf.

Im Beobachtungszeitraum von den letzten Jahren ist kein eindeutiger Trend der Benzo(a)pyrenbelastung an den Messstandorten festzustellen.

1,5 Konzentration in Nanogramm pro Kubikmeter [ng/m³] AKH 1,3 A23-Wehlistraße (bis 2013 Rinnböckstraße) Schafberg 1,0 1,0 0,5 0,5 0,5 0,5 0,5 0,6 0,4 0,4 0,3 0,5 0,4 0,5 0,4 0,4 0,4 0,3 0,3 0,3 0,2 0,0 2010 2011 2012 2013 2014 2015 2016 2017 2018 2019 Stadt Wien - Umweltschutz

Benzo(a)pyren Jahresmittelwerte 2010 bis 2019

Abbildung 19: Bezo(a)pyren Jahresmittelwerte 2010 bis 2019

Für die Messung von Benzo(a)pyren im PM₁₀ werden aus den bei der PM₁₀-Messung anfallenden Feinstaubfiltern an jedem dritten Tag Proben entnommen, monatsweise mittels Hochleistungsflüssigchromatographie (HPLC) gemäß ÖNORM EN 15549 analysiert und ein Jahresmittelwert berechnet.

4.3 Schwermetalle im PM₁₀

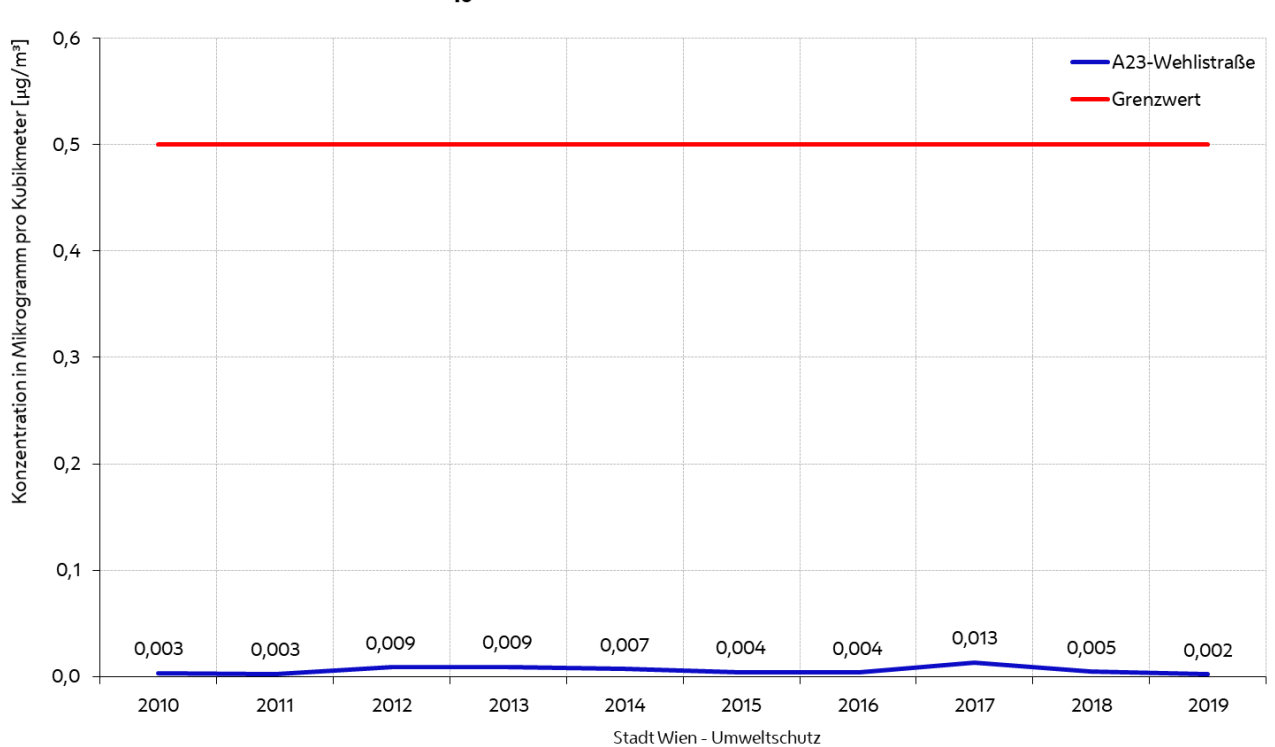
Der Gehalt der Schwermetalle Blei, Arsen, Kadmium und Nickel in der Feinstaub-Fraktion PM₁₀ wird vom Wiener Luftgütemessnetz beginnend mit dem Jahr 2007 überwacht. Für die Messung werden aus den bei der PM₁₀-Messung anfallenden Feinstaubfiltern an jedem sechsten Tag Proben entnommen, einzeln mit Atomabsorptionsspektrometrie analysiert und ein Jahresmittelwert berechnet. Die Analysenergebnisse für Kadmium in PM₁₀ liegen häufig unterhalb der Bestimmungsgrenze des Messverfahrens. Die folgende Tabelle (Tabelle 30) gibt einen Überblick über die Entwicklung der Messwerte.

| Schwermet | alle – Jahresi | mittelwe | rte (JM | W) von 2 | 2010 bis | 2019 | | | | | |
|-----------|------------------|----------|---------|----------|----------|-------|-------|-------|-------|-------|-------|
| | Grenzwert | 2010 | 2011 | 2012 | 2013 | 2014 | 2015 | 2016 | 2017 | 2018 | 2019 |
| Blei | $0,5 \mu g/m^3$ | 0,003 | 0,003 | 0,009 | 0,009 | 0,007 | 0,004 | 0,004 | 0,013 | 0,005 | 0,002 |
| Arsen | 6 ng/m³ | 1,4 | 0,7 | 0,8 | 0,7 | 0,6 | 0,7 | 0,5 | 0,6 | 0,7 | 0,3 |
| Kadmium | 5 ng/m³ | 0,1 | 0,2 | 0,2 | 0,2 | 0,2 | 0,1 | 0,1 | 0,1 | 0,1 | 0,3 |
| Nickel | 20 ng/m³ | 1,0 | 1,0 | 1,3 | 1,2 | 0,9 | 0,9 | 0,8 | 0,9 | 0,7 | 0,6 |

Tabelle 30: Schwermetalle in PM_{10} – Jahresmittelwerte in Wien von 2010 bis 2019

Alle Grenzwerte gemäß IG-L für Schwermetalle wurden im Jahr 2019 eingehalten. In den folgenden vier Abbildungen sind die Werte der Jahresmittelwerte von 2010 bis 2019 für die einzelnen Schwermetalle dargestellt.

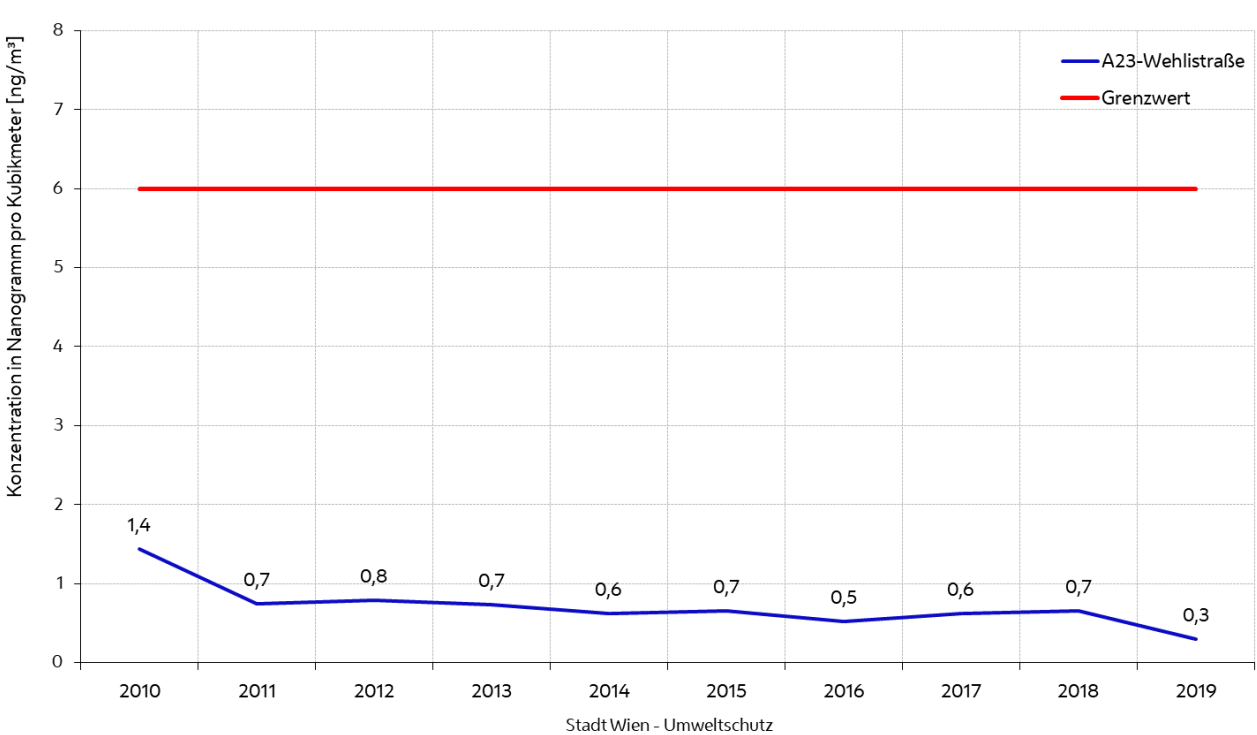
Die nachfolgende Abbildung 20 zeigt die Entwicklung des Bleigehalts in der Feinstaub-Fraktion PM₁₀ in den letzten zehn Jahren.



Blei in PM₁₀ - Jahresmittelwerte 2010 bis 2019

Abbildung 20: Blei in PM_{10} – Jahresmittelwerte von 2010 bis 2019

Die nachfolgende Abbildung 21 zeigt die Entwicklung des Arsengehalts in der Feinstaub-Fraktion PM_{10} in den letzten zehn Jahren.



Arsen in PM₁₀ - Jahresmittelwerte 2010 bis 2019

Abbildung 21: Arsen in PM_{10} – Jahresmittelwerte von 2010 bis 2019

Die nachfolgende Abbildung 22 zeigt die Entwicklung des Kadmiumgehalts in der Feinstaub-Fraktion PM_{10} in den letzten zehn Jahren.



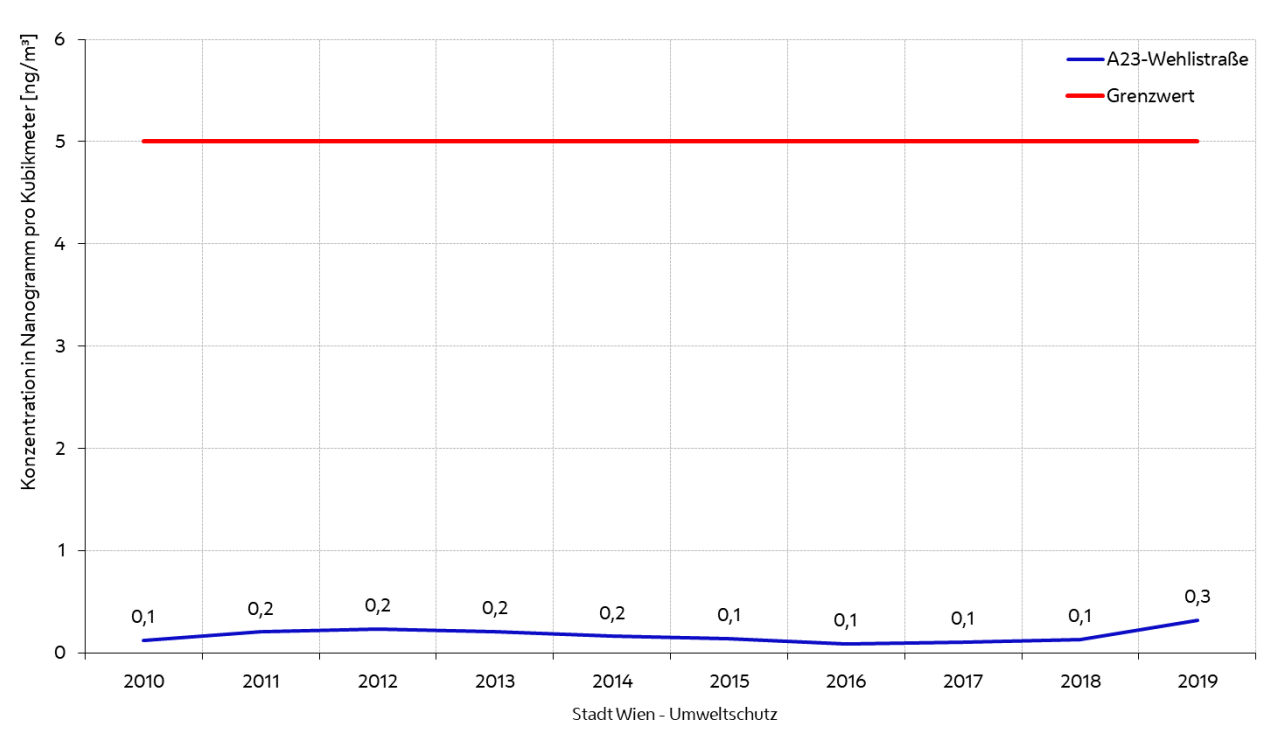


Abbildung 22: Kadmium in PM_{10} – Jahresmittelwerte von 2010 bis 2019

Die nachfolgende Abbildung 23 zeigt die Entwicklung des Nickelgehalts in der Feinstaub-Fraktion PM_{10} in den letzten zehn Jahren.

Nickel in PM₁₀ - Jahresmittelwerte 2010 bis 2019

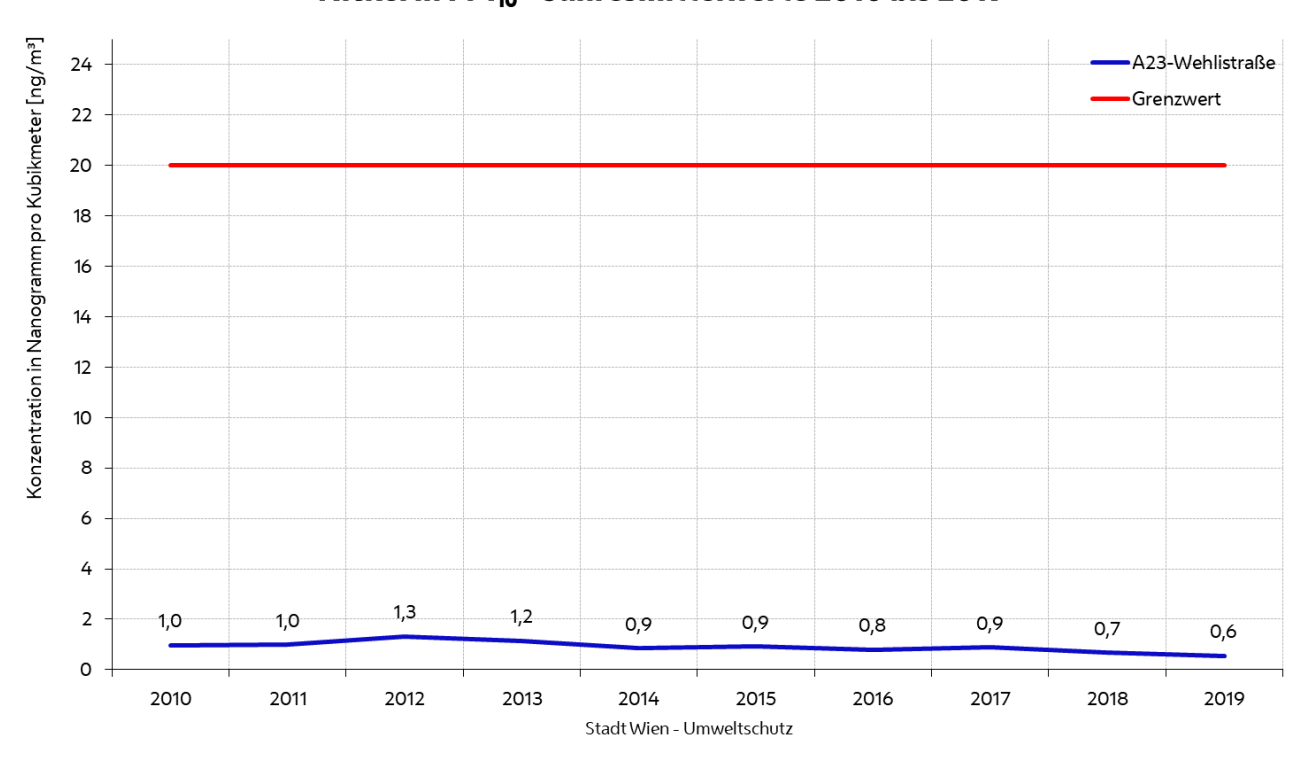


Abbildung 23: Nickel in PM_{10} – Jahresmittelwerte von 2010 bis 2019

4.4 Staubniederschlag

Messmethode

Der Staubniederschlag wird mit dem sogenannten Bergerhoffverfahren bestimmt. Dieses Messverfahren beruht darauf, dass der durch Gravitation und turbulente Diffusion sedimentierte Anteil von partikelförmigen luftfremden Stoffen monatlich in Gefäßen gesammelt wird. Das Sammelgut wird von groben Verunreinigungen (Blätter, Insekten, Federn, etc.) händisch gereinigt, anschließend eingedampft und der Rückstand abgewogen.

In Wien wurden für die Sammlung von Staubdepositionen zwei Standorte gewählt. Einer befindet sich in einem Grüngebiet (Laaer Wald), der zweite unweit einer Stadtautobahn (Ostautobahn) mit sehr hohem Verkehrsaufkommen. Der Standort an der Ostautobahn wurde wegen der Errichtung eines Gebäudes im Jahr 2012 um ca. 470 Meter entlang der A4 Richtung Südost verlegt.

Grenzwertüberschreitungen und Schadstoffentwicklung

Für den Staubniederschlag ist ein Grenzwert von 210 mg/(m²d) als Jahresmittelwert festgelegt. Im Jahr 2019 wurden 66 mg/(m²d) an der Station Laaer Wald gemessen und 73 mg/(m²d) an der Station A4-Ostautobahn. Wie Abbildung 24 veranschaulicht, wurde an beiden Wiener Messstandorten der IG-L Grenzwert bisher unterschritten. Die Messmethode ist mit großen Unsicherheiten behaftetet. Ein signifikanter Trend ist nicht ableitbar.

Staubniederschlag Jahresmittelwerte 2010 bis 2019

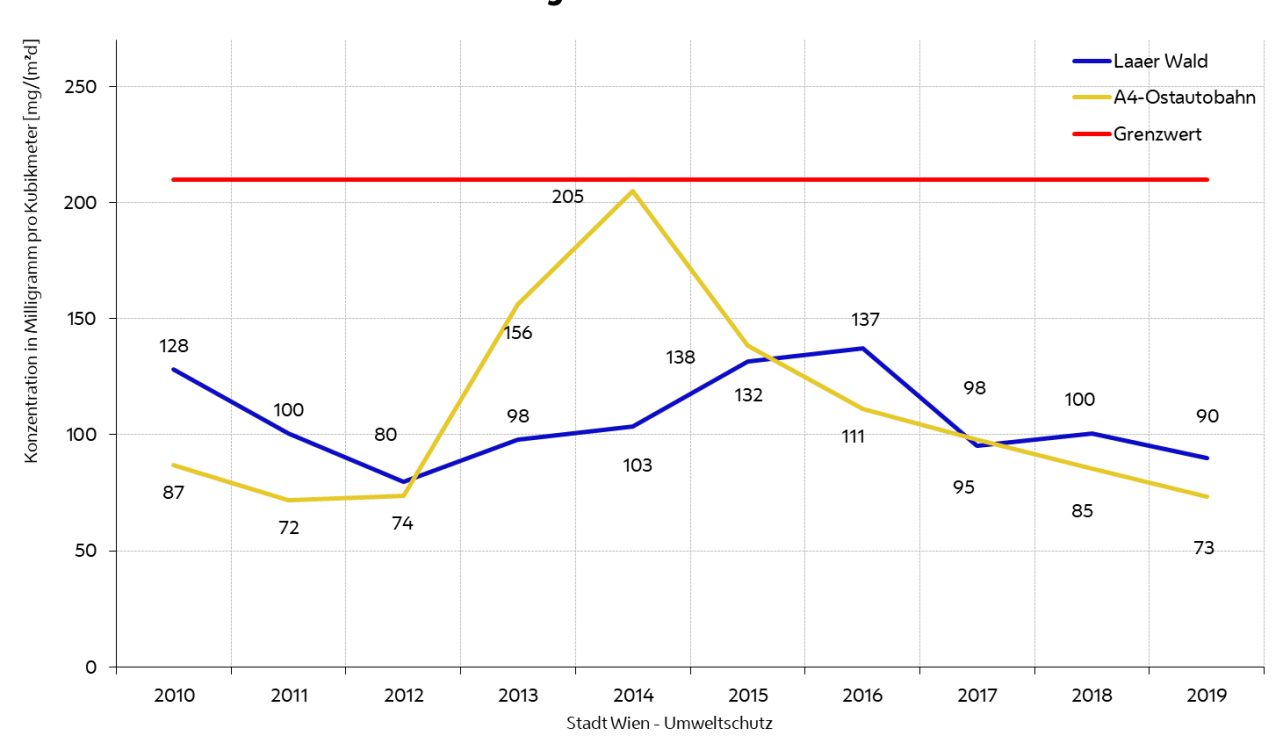


Abbildung 24: Staubniederschlag – Jahresmittelwerte von 2010 bis 2019

4.5 Blei im Staubniederschlag

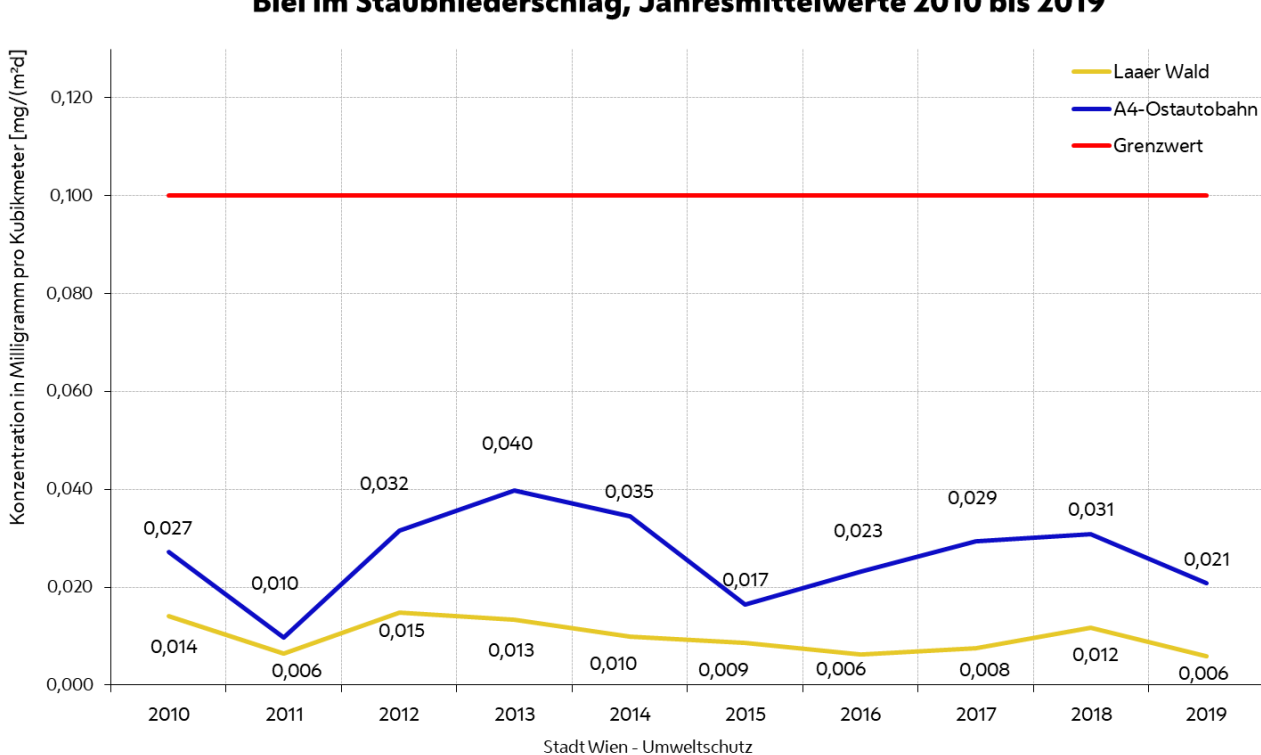
Messmethode

Der zur Bestimmung des Staubniederschlags gewonnene Rückstand des Sammelgutes wird mit Königswasser aufgeschlossen und mittels Atomabsorptionsspektrometrie analysiert.

Grenzwertüberschreitungen und Schadstoffentwicklung

Der Depositionsgrenzwert nach IG-L von Blei im Staubniederschlag ist mit 0,100 mg/(m^2 d) als Jahresmittelwert definiert und wird an den Stationen Laaer Wald und A4-Ostautobahn überwacht. Der Grenzwert wird an beiden Stationen weit unterschritten. Im Jahr 2019 wurden 0,006 mg/(m^2 d) an der Station Laaer Wald gemessen und 0,021 mg/(m^2 d) an der Station A4-Ostautobahn.

Abbildung 25 veranschaulicht die Entwicklung der letzten zehn Jahre.



Blei im Staubniederschlag, Jahresmittelwerte 2010 bis 2019

Abbildung 25: Blei im Staubniederschlag – Jahresmittelwerte von 2010 bis 2019

Die Messmethode ist mit großen Unsicherheiten behaftet. Ein signifikanter Trend ist dadurch nicht ableitbar. Allerdings sind die Werte weiterhin deutlich unter dem Grenzwert.

4.6 Kadmium im Staubniederschlag

Messmethode

Für die Messung des Kadmiumgehalts im Staubniederschlag wird der zur Bestimmung des Staubniederschlags gewonnene Rückstand des Sammelgutes mit Königswasser aufgeschlossen und mittels Atomabsorptionsspektrometrie analysiert.

Grenzwertüberschreitungen und Schadstoffentwicklung

Der Depositionsgrenzwert nach IG-L für Kadmium im Staubniederschlag ist mit 0,002 mg/(m^2d) als Jahresmittelwert definiert und wird an den Stationen Laaer Wald und A4-Ostautobahn überwacht. Im Jahr 2019 wurden an der Station Laaer Wald 0,0001 mg/(m^2d) und an der Station A4-Ostautobahn 0,0003 mg/(m^2d) gemessen.

Abbildung 26 zeigt eine Übersicht über die Jahresmittelwerte der letzten zehn Jahre.

Konzentration in Milligramm pro Kubikmeter [mg/(m²d] Laaer Wald 0,0024 A4-Ostautobahn Grenzwert 0,0021 0,0018 0,0015 0,0011 0,0012 0,0007 0,0009 0,0006 0,0005 0,0004 0,0006 0.0004 0,0003 0,0003 0,0003 0,0002 0,0003 0,0003 0,0002 0,0001 0,0002 0,0002 0,0002 0,0002 0,0001 0,0001 0,0001 0,0000 2010 2011 2012 2013 2014 2015 2016 2017 2018 2019

Kadmium im Staubniederschlag, Jahresmittelwerte 2010 bis 2019

Abbildung 26: Kadmium im Staubniederschlag – Jahresmittelwerte von 2010 bis 2019

Der Kadmiumgehalt im Staubniederschlag liegt an beiden Messstellen deutlich unter dem festgelegten Grenzwert. Eindeutige Trendaussagen können anhand der Messergebnisse nicht getroffen werden.

5 Vorerkundungsmessungen

Ab dem Jahr 2020 sind umfangreiche mehrjährige Bauarbeiten im direkten Umfeld des Standorts der Messstelle AKH geplant. Die Messstelle muss daher voraussichtlich in der zweiten Jahreshälfte 2020 verlegt werden. Nach umfangreicher Evaluierung möglicher Ersatzstandorte wurde der Messbus des Wiener Luftgütemessnetzes Mitte Oktober 2019 an einem dieser Standorte aufgestellt um die Eignung dieses Standortes als neuen Aufstellpunkt der Trendmessstelle AKH festzustellen.

6 Ausblick

Feinstaub PM₁₀ und PM_{2,5}

Im Jahr 2020 sind keine Änderungen geplant.

Die Ausstattung der Feinstaubmessung für PM_{10} im Wiener Luftmessnetz erfolgt im Zeitraum 2008 bis 2020 gemäß folgendem Schema (Tabelle 31).

| Messstelle | 2008 | 2009 | 2010 | 2011 | 2012 | 2013 | 2014 | 2015 | 2016 | 2017 | 2018 | 2019 | 2020 |
|---------------------------|------|------|------|------|------------------|------------------|------------------|------------------|------------------|------------------|------------------|------------------|------------------|
| Taborstraße | G/S | G/S | G/Ä | G/Ä | G/Ä ₂ |
| AKH | G/S | G/S | G/Ä | G/Ä | G/Ä ₂ | G/\ddot{A}_2 |
| Belgradplatz | G/S | S | Ä | Ä | Ä ₂ | Ä ₂ | G/Ä ₂ | G/Ä2 | G/Ä2 | G/Ä ₂ | G/Ä ₂ | Ä ₂ | Ä ₂ |
| Laaer Berg | S | G/S | Ä | Ä | Ä ₂ | G/Ä ₂ | Ä ₂ |
| Kaiser- | S | G/S | Ä | Ä | Ä ₂ | G/Ä ₂ | Ä ₂ | Ä ₂ |
| Rinnböckstraße | G/S | G/S | G/Ä | G/Ä | G/Ä ₂ | G/Ä ₂ | - | - | - | - | - | - | - |
| A23- | - | - | - | - | - | - | G/Ä ₂ | G/\ddot{A}_2 |
| Gaudenzdorf | G/S | S | Ä | Ä | Ä | Ä ₂ | G/Ä ₂ | G/Ä ₂ | G/Ä ₂ | G/Ä ₂ | Ä ₂ | Ä ₂ | G/Ä ₂ |
| Kendlerstraße | S | G/S | G/Ä | Ä | Ä ₂ | Ä2 | G/Ä ₂ | Ä ₂ |
| Schafberg | G/S | S | Ä | Ä | Ä | Ä ₂ | G/Ä ₂ | G/Ä ₂ | Ä ₂ |
| Gerichtsgasse | S | G/S | Ä | Ä | Ä | Ä ₂ | G/Ä ₂ | Ä ₂ |
| Lobau | S | G/S | Ä | Ä | Ä ₂ | Ä2 | Ä ₂ | Ä2 | Ä2 | Ä ₂ | Ä ₂ | G/Ä ₂ | Ä ₂ |
| Stadlau | G/S | S | G/Ä | G/Ä | G/Ä ₂ | G/Ä ₂ | Ä ₂ | Ä ₂ | Ä ₂ | Ä ₂ | Ä ₂ | Ä ₂ | G/Ä ₂ |
| Liesing- Gewerbegebiet | G/S | S | G/Ä | G/Ä | G/Ä ₂ | Ä ₂ | Ä ₂ | Ä ₂ |

Legende:

- G: Gravimetrische Erfassung, offizielle Messung (IG-L)
- G/S: Gravimetrische Erfassung, offizielle Messung (IG-L) und tagesaktuelle Berichterstattung mit Standortfaktor (zulässig bis 2009)
- G/Ä: Gravimetrische Erfassung, offizielle Messung (IG-L) und tagesaktuelle Berichterstattung mit äquivalentem kontinuierlichen Messverfahren nach dem ß-Strahlen-Absorptionsprinzip
- G/Ä₂: Gravimetrische Erfassung, offizielle Messung (IG-L) und tagesaktuelle Berichterstattung mit äquivalentem kontinuierlichen Messverfahren nach dem Partikelzählerprinzip
 - S: Messung mit Standortfaktor, offizielle Messung (IG-L)
 - Ä: Äquivalentes, kontinuierliches Messverfahren nach dem ß-Strahlen-Absorptionsprinzip, offizielle Messung (IG-L)
 - Ä2: Äquivalentes, kontinuierliches Messverfahren nach dem Partikelzählerprinzip, offizielle Messung (IG-L)

Tabelle 31: PM₁₀ Erfassung an Wiener Messstellen

Die Ausstattung der Feinstaubmessung für $PM_{2,5}$ in Wien entwickelt sich ab 2008 gemäß folgendem Schema (Tabelle 32).

| Messstelle | 2008 | 2009 | 2010 | 2011 | 2012 | 2013 | 2014 | 2015 | 2016 | 2017 | 2018 | 2019 | 2020 |
|---------------------------|------|------|------|------|------------------|------------------|------------------|------------------|------------------|------------------|------------------|------------------|------------------|
| Taborstraße | G/S | G/S | G/Ä | G/Ä | G/Ä ₂ |
| AKH | G/S | G/S | G/Ä | G/Ä | G/Ä ₂ |
| Belgradplatz | - | - | - | - | - | - | - | - | - | - | - | Ä2 | Ä2 |
| Laaer Berg | - | ı | - | 1 | - | - | - | - | - | - | - | Ä ₂ | Ä ₂ |
| Kaiser- Ebersdorf | - | - | - | - | - | - | - | - | - | - | - | Ä ₂ | Ä ₂ |
| Rinnböckstraße | - | - | - | G | G/Ä ₂ | G/Ä ₂ | - | - | - | - | - | _ | - |
| A23- Wehlistraße | - | - | - | - | - | - | G/Ä ₂ | Ä ₂ |
| Gaudenzdorf | - | - | - | - | - | - | - | - | - | - | - | Ä ₂ | Ä ₂ |
| Kendlerstraße | - | - | - | G | G/Ä ₂ | G/Ä ₂ | Ä ₂ | Ä ₂ | Ä ₂ | Ä ₂ | Ä ₂ | Ä ₂ | G/Ä ₂ |
| Schafberg | - | - | - | - | - | - | - | - | - | - | - | Ä ₂ | Ä ₂ |
| Gerichtsgasse | - | - | - | - | - | - | - | - | - | - | - | Ä ₂ | G/Ä ₂ |
| Lobau | - | - | - | G | G/Ä ₂ | Ä ₂ | Ä ₂ |
| Stadlau | - | - | - | G | G/Ä ₂ | G/Ä ₂ | Ä2 | Ä2 | Ä ₂ | Ä2 | Ä2 | Ä ₂ | G/Ä ₂ |
| Liesing- Gewerbegebiet | - | - | - | - | - | - | - | - | - | - | - | Ä ₂ | Ä ₂ |

Legende:

- G: Gravimetrische Erfassung, offizielle Messung (IG-L)
- G/S: Gravimetrische Erfassung, offizielle Messung (IG-L) und tagesaktuelle Berichterstattung mit Standortfaktor (zulässig bis 2009)
- G/Ä: Gravimetrische Erfassung, offizielle Messung (IG-L) und tagesaktuelle Berichterstattung mit äquivalentem kontinuierlichen Messverfahren nach dem ß-Strahlen-Absorptionsprinzip
- G/Ä₂: Gravimetrische Erfassung, offizielle Messung (IG-L) und tagesaktuelle Berichterstattung mit äquivalentem kontinuierlichen Messverfahren nach dem Partikelzählerprinzip
 - S: Messung mit Standortfaktor, offizielle Messung (IG-L)
 - Ä: Äquivalentes, kontinuierliches Messverfahren nach dem ß-Strahlen-Absorptionsprinzip, offizielle Messung (IG-L)
 - Ä2: Äquivalentes, kontinuierliches Messverfahren nach dem Partikelzählerprinzip, offizielle Messung (IG-L)

Tabelle 32: PM_{2,5} Erfassung an Wiener Messstellen

7 Anhang

7.1 Abkürzungen

Mittelwerte

Die Berechnung der Mittelwerte erfolgt gemäß Anlage 6 IG-L. Die Zeitangaben beziehen sich auf das Ende des jeweiligen Mittelungszeitraums in Mitteleuropäischer Zeit (MEZ).

| Kürzel | Bezeichnung | Bemerkung |
|--------|---------------------------|---|
| HMW | Halbstundenmittelwert | Schrittweite: 30 Minuten (48 Werte pro Tag) |
| 1MW | Einstundenmittelwert | Schrittweite: eine Stunde (24 Werte pro Tag) |
| MW3 | Dreistundenmittelwert | Gleitende Auswertung aus HMW, Schrittweite: 30 Minuten |
| 8WM | Achtstundenmittelwert | Gleitende Auswertung aus HMW, Schrittweite: 30 Minuten |
| MW8-O | Achtstundenmittelwert für | Gleitende Auswertung aus 1MW, Schrittweite: 60 Minuten |
| TMW | Tagesmittelwert | Mittelwert der HMW von 0-24 Uhr |
| MMW | Monatsmittelwert | Mittelwert der HMW eines Monats |
| WMW | Wintermittelwert | Mittelwert der HMW vom 1. Oktober des Vorjahres bis 31. März |
| SMW | Sommermittelwert | Mittelwert der HMW vom 1. April bis 30. September |
| JMW | Jahresmittelwert | Mittelwert der HMW eines Jahres |
| AOT40 | AOT40 | Englisch: "accumulation over threshold of 40 ppb" ¹⁶ |

Tabelle 33: Mittelwerte

-

¹⁶ Der AOT40 ist im Ozongesetz [5] als die Summe der Differenzen zwischen den Konzentrationen über 80 μ g/m³ und 80 μ g/m³ unter ausschließlicher Verwendung der Einstundenmittelwerte (1MW) zwischen 8 und 20 Uhr MEZ im Zeitraum von Mai bis Juli definiert.

Luftschadstoffe

| Kürzel | Bezeichnung | Bemerkung |
|-------------------------------|--------------------------------|------------------------------------|
| SO ₂ | Schwefeldioxid | |
| PM ₁₀ | Feinstaub < 10 μm | "Particulate Matter" ¹⁷ |
| PM _{2,5} | Feinstaub < 2,5 µm | "Particulate Matter" ¹⁸ |
| NO ₂ | Stickstoffdioxid | |
| NO | Stickstoffmonoxid | |
| NO _x | Stickstoffoxide | $NO_x[ppb] = NO[ppb] + NO_2[ppb]$ |
| СО | Kohlenmonoxid | |
| O ₃ | Ozon | |
| C ₆ H ₆ | Benzol | |
| Cd | Kadmium | |
| As | Arsen | |
| Ni | Nickel | |
| B(a)P | Benzo(a)pyren | |
| Pb | Blei | |
| DEP | Staubniederschlag (Deposition) | |

Tabelle 34: Luftschadstoffe

Meteorologie

| Kürzel | Bezeichnung | Bemerkung |
|--------|-----------------------------------|----------------------------|
| WGR | Windgeschwindigkeit und -richtung | |
| TP | Temperatur | |
| REG | Regen | beinhaltet auch Schneefall |
| RF | Relative Luftfeuchtigkeit | |

Tabelle 35: Meteorologie

 $^{^{17}}$ Partikel, die einen größenselektierenden Lufteinlass passieren, der für einen aerodynamischen Durchmesser von 10 μ m eine Abscheidewirksamkeit von 50 % aufweist.

 $^{^{18}}$ Partikel, die einen größenselektierenden Lufteinlass passieren, der für einen aerodynamischen Durchmesser von 2,5 μ m eine Abscheidewirksamkeit von 50 % aufweist.

Einheiten

| Kürzel | Bezeichnung | Bemerkung |
|-----------------------|---------------------------------|--|
| μg/m³ | Mikrogramm pro Kubikmeter | 10 ⁻⁶ Gramm pro Kubikmeter |
| mg/m ³ | Milligramm pro Kubikmeter | 10 ⁻³ Gramm pro Kubikmeter |
| ng/m³ | Nanogramm pro Kubikmeter | 10 ⁻⁹ Gramm pro Kubikmeter |
| μm | Mikrometer | |
| ppb | parts per billion | Man beachte: billion = 10 ⁹ , d.h. "Milliarde" im Deutschen |
| ppm | parts per million | |
| mg/(m ² d) | Milligramm pro Quadratmeter und | |
| ilig/(iii u) | Tag | |

Tabelle 36: Einheiten

Allgemein

| Kürzel | Bezeichnung | Bemerkung |
|--------|---|---|
| IG-L | Immissionsschutzgesetz-Luft | BGBl. I Nr. 115/1997 in der geltenden Fassung (siehe [1]) |
| ICP/MS | Massenspektrometrie mit induktiv gekoppeltem Plasma | Inductively Coupled Plasma / Mass Spectrometry |

Tabelle 37: Bezeichnungen – allgemein

7.2 Umrechnungsfaktoren

Umrechnung zwischen Einheiten

 $1 \text{ mg/m}^3 = 1000 \mu\text{g/m}^3 \text{ und } 1 \text{ ppm} = 1000 \text{ ppb}$

Umrechnung zwischen Mischungsverhältnissen

Die in Tabelle 38 angegebenen Umrechnungsfaktoren sind bundesweit einheitlich vorgegeben.

| Schadstoff | Molmasse | Umrechnung |
|--|----------|-------------------------------------|
| SO ₂ | 64,1 | 1 ppb = 2,6647338 μg/m³ |
| NO | 30,0 | 1 ppb = 1,2471453 μg/m ³ |
| NO ₂ | 46,0 | 1 ppb = 1,9122895 μg/m ³ |
| CO | 28,0 | 1 ppb = 1,1640023 μg/m ³ |
| O ₃ | 48,0 | 1 ppb = 1,9954325 μg/m ³ |
| C ₆ H ₆ (Benzol) | 78,1 | 1 ppb = 3,2456 μg/m³ |

Tabelle 38: Umrechnung der Mischungsverhältnisse

Folgende Normbedingungen werden dabei gemäß Anlage 6 IG-L vorausgesetzt: 20°C (293,15K) bei 1013 hPa.

7.3 Messstellen im Jahr 2019

| Mes | Messstellen des Wiener Luftmessnetzes im Jahr 2019 | r Luftme | ssnet | zes im Jahr | 2019 | | | | | | | | | | | | | | |
|----------------|--|-----------|-----------------|-----------------------------|----------------|---------------------------|----|------------|--------------------------|-----------|-----------|--|--------------------|---------------------|--------------|-----|--|-----------------------------------|--|
| Bez. | Name | Kürzel | SO | Feinstaub & Staubdeposition | aub & oosition | × | 9 | 03 С. Н. | الم As, Ni, Cd, Pb | _ | B(a)P TP | WGR | Länge (O) WGS84 | Breite (N) WGS84 | See- höhe | ₹ | Adresse | Topographie | Nutzung |
| - - | Stephansplatz | STEF | Ş | | | NOx Horiba | ő | <u>"</u> | | | | | 16,3732536 | 48,20815000 | 172 | 7 | Stephansplatz 1 | Ebene im Stadtzentrum | städtischer Ballungsraum |
| 7 | Taborstraße | TAB | | PM2,5 grav. | PM10 grav. | NOx Horiba | 8 | | | | | WGR | 16,3809181 | 48,21673944 | 162 | 4 | Ecke Glockengasse | Ebene | städtischer Ballungsraum |
| 6. | АКН | AKC | | PM2,5 grav. | PM10 grav. | NOx Horiba | | | | B(a)P | <u>Б</u> | RF | 16,3455531 | 48,21951694 | 199 | 3,5 | Borschkegasse | Leichte Hanglage | städtischer Ballungsraum |
| 10. | Belgradplatz | BELG | | PM2,5 äquiv. | PM10 äquiv. | NOx Horiba | | | | | | | 16,3614172 | 48,17435306 | 218 | 3,5 | Belgradplatz | Leichte Hanglage am Wienerberg | |
| 9. | Laaer Berg | LAA | | PM2,5 äquiv. | PM10 grav. | | O³ | <u>"</u> | | | | WGR | 16,3929203 | 48,16103639 | 251 | 3,5 | Theodor Sickelg.1 | am Rücken des Wienerbergs | Randgebiet eines st. Ballungsraums |
| 10. | Laaer Wald | | | | DEP | | | | | | | | 16,3977817 | 48,16030444 | 200 | 1,5 | | Rücken des Wienerbergs | Park nahe städt. Ballungsraum |
| Ę | Kaiser-Ebersdorf | Ϋ́Ε | SO ₂ | PM2,5 äquiv. | PM10 äquiv. | NOx Horiba | | | | | TP | WGR/RF | 16,4760508 | 48,15670861 | 158 | 3,5 | Alberner Straße 8 | Ebene | Randgebiet eines st. Ballungsraums |
| Ę | Ostautobahn | | | | DEP | | | | | | | | 16,4701981 | 48,16537194 | 155 | 1,5 | Kanzelgarten 481 | Ebene | Industriegebiet |
| 12. | Gaudenzdorf | GAUD | | PM2,5 äquiv. | PM10 äquiv. | NO× Horiba | | | | | ₽ | RF | 16,3393311 | 48,18714694 | 179 | 3,5 | Dunklergasse 1-7 | Ebene | städtischer Ballungsraum |
| 13. | Hietzinger Kai | MBA | | | | NOx Horiba | 8 | υς Υ | -2° | | | | 16,3000203 | 48,18837250 | 194 | 2,5 | Hietzinger Kai 1-3 | Ebene | Einfallsstraße |
| 16. | Kendlerstraße | KEND | | PM2,5 äquiv. | PM10 grav. | NO× Horiba | | | | | | WGR | 16,3097503 | 48,20500278 | 236 | 3,5 | Kendlerstraße 40 | Leichte Hanglage | städtischer Ballungsraum |
| 78 | Schafberg | SCHA | SO ₂ | PM2,5 äquiv. | PM10 grav. | NO× Horiba | | | | B(a)P | | WGR | 16,3015636 | 48,23536972 | 319 | 3,5 | Josef-Redl-Gasse 2 | Hanglage | Randgebiet eines st. Ballungsraums |
| 19. | Hermannskogel | JAEG | | | | NOx Horiba | 0 | ő | | | <u></u> ₽ | WGR/RF | 16,2972633 | 48,27015833 | 488 | 3,5 | Nahe Jägerwiese | Hügel im Wienerwald | |
| 19. | Hohe Warte | ZA | SO2 | | | NOx Horiba | ိ | <u>.</u> e | | | | | 18,3570781 | 48,24899139 | 200 | 9 | Hohe Warte 38 | Hügelland am Wienerwald | Villenviertel am Stadtrand |
| 20. | A23-Wehlistraße | A23 | SO ₂ | PM2,5 grav. PM2,5 | PM10 grav. | NOx Horiba | 0 | СвН | As, Ni, Cd, Pb | i, B(a)P | T T | WGR/RF | 16,4345489 | 48,20305806 | 162 | 3,5 | Wehlistraße 366 | Ebene | städtischer Ballungsraum |
| 21. | Gerichtsgasse | FLO | | PM2,5 äquiv. | PM10 grav. | NO× Horiba | | | | | | | 16,3969531 | 48,26108639 | 164 | 3,5 | Gerichtsgasse 1a | Ebene | städtischer Ballungsraum |
| 22. | Lobau | ГОВ | | PM2,5 grav. | PM10 grav. | NOx Horiba | O³ | Ę. | | | TP | WGR/RF | 16,5256139 | 48,16206944 | 155 | 3 | Grundwasserwerk Untere Lobau | Ebene | Augebiet neben Ballungsraum |
| 22. | Stadlau | STAD | SO2 | PM2,5 äquiv. | PM10 äquiv. | NOx Horiba | | | | | | WGR | 16,458345 | 48,22636083 | 159 | 3,5 | Hausgrundweg 23 | Ebene | Randgebiet eines st. Ballungsraums |
| 23. | Liesing, Gewerbegebiet | LIES | | PM2,5 äquiv. | PM10 äquiv. | NO _× Horiba | | | | | | WGR | 16,3012761 | 48,14125083 | 217 | 3,5 | Carlbergergasse neben Onr. 69 | Ebene | Industriegebiet |
| grav. | grav gravimetrische Feinstaubmessung | einstaubi | messu | gu. | | ; | | | Bezugs | system de | er Koor | Bezugssystem der Koordinaten: Austria NS (MGI) | ria NS (MGI) | | | ΡΑ | hA Höhe der Ansaugung über Grund in Metern | über Grund in Metern | |

Abbildung 27: Messstellen des Wiener Luftmessnetzes¹⁹

_

. kontinuierliche Feinstaubmessung äquivalent zum Referenzverfahren

 $^{^{19} \} Positions angaben in \ Dezimal grad (n\"{o}rdliche \ Breite \ und \ \ddot{o}stliche \ L\"{a}nge) \ im \ Bezugssystem \ WGS84. \ Kartendarstellung \ z.B. \ durch: \\ \underline{www.wien.gv.at/umweltgut/public} \rightarrow Messwerkzeug \rightarrow Koordinaten \rightarrow Koordinatensystem \ _WGS84" \rightarrow Koordinateneingabe$

7.4 Messverfahren

Kontinuierliche Messverfahren

Die kontinuierlichen Messverfahren liefern Halbstundenmittelwerte. Die folgende Tabelle (Tabelle 39) gibt einen Überblick.

| Messprinzipien der kontinuierlichen Messverfahren | Gerätetyp | Nachweisgrenze | Messprinzip |
|--|-----------------|---|---|
| SO ₂ | Horiba APSA 370 | $0,73 \mu g/m^3 (2\sigma)$ | UV-Fluoreszenz |
| PM₁₀ äquivalent | Grimm EDM-180 | Reproduzier- barkeit: 3% im max. Bereich | Laserstreulichtmessung; Probeluft wird mit 72 I/h direkt über einen TSP-Kopf und den Probeeinlass in die Messzelle geführt. Die optische Messzelle zählt und detektiert jeden einzelnen Partikel. Alle Partikel werden in 31 verschiedenen Größenkanäle eingeteilt. Die erhaltenen Anzahlkonzentrationen werden dann mit dem korrespondierenden Dichtefaktor multipliziert. Zugelassen für EN12341, EN14907, GOST R Kalibrierfunktion 2019: a) für Kendlerstraße: $y_{PM10} = 0,830 \ y_{Grimm-PM10} + 0,613$ b) für A23-Wehlistraße: $y_{PM10} = 0,922 \ y_{Grimm-PM10} + 1,882$ c) für alle anderen Stationen: $y_{PM10} = 0,871 \ y_{Grimm-PM10} - 1,099$ |
| PM _{2,5} äquivalent | Grimm EDM-180 | Reproduzier- barkeit: 3% im max. Bereich | Laserstreulichtmessung; Probeluft wird mit 72 I/h direkt über einen TSP-Kopf und den Probeeinlass in die Messzelle geführt. Die optische Messzelle zählt und detektiert jedes einzelne Partikel. Alle Partikel werden in 31 verschiedenen Größenkanäle eingeteilt. Die erhaltenen Anzahlkonzentrationen werden dann mit dem korrespondierenden Dichtefaktor multipliziert. Zugelassen für EN12341, EN14907, GOST R Kalibrierfunktion 2019: a) für A23-Wehlistraße: $y_{PM2,5} = 0.82 \ y_{Grimm-PM2,5} + 0.60$ b) für alle anderen Stationen: $y_{PM2,5} = 0.888 \ y_{Grimm-PM2,5} + 0.938$ |
| NO ₂ (Horiba) | Horiba APNA 370 | 0,55 μg/m³ (2σ) | Chemilumineszenz |
| СО | Horiba APMA 370 | 0,123 mg/m³ (2σ) | Nichtdispersive Infrarot-Absorption |
| O ₃ | API T400 | 1,4 µg/m³ | Ultraviolett-Absorption |

Tabelle 39: Überblick über die kontinuierlichen Messverfahren

Diskontinuierliche Messverfahren

Die diskontinuierlichen Messverfahren (Tabelle 40) erfordern eine manuelle Auswertung der Proben und haben eine Auflösung von Tagesmittelwerten (bzw. Monatsmittelwerten bei B(a)P). Bei PM_{10} und $PM_{2,5}$ erfolgt die Probennahme täglich, bei Benzol als Stichprobe im Abstand von acht Tagen, bei Benzo(a)pyren im Abstand von drei Tagen und bei Schwermetallen im Abstand von sechs Tagen.

| Messprinzipien der diskontinuierlichen Messverfahren | Gerätetyp | Bestimmungs- grenze | Messprinzip |
|--|--------------------|------------------------|---|
| PM ₁₀ grav. | Digitel DA-80 H | < 1 µg/m³ | Ansaugung über PM ₁₀ - bzw. PM _{2,5} -Kopf mit 30 m ³ /h auf Filtertyp Qual. 227/1/60, 150 mm (Glasfaser); |
| PM _{2,5} grav. | Digitel DA-80 H | <1µg/m³ | an Tagen mit Schwermetallanalysen bei PM ₁₀ : Quarzfaser-Filter QM-A WHAT1851-150. Massenbestimmung gravimetrisch gemäß EN 12341 |
| Benzol | Digitel DPA96MV | 0,21 μg/m³ | Elution mit Kohlenstoffdisulfid, gaschromatographische Analyse mit GC-FID (ÖNORM EN 14662-2) Beim Wiener Luftmessnetz erfolgt die Benzol- Probenahme diskontinuierlich mittels Besaugung von Dräger-Aktivkohleröhrchen-B/G mit einem DIGITEL Pumpenaggregat DPA96M. Der Durchsatz liegt dabei bei 1 Liter Luft pro Minute. Die Probenahmedauer für eine Einzelprobe (Tagesprobe) beträgt 24 Stunden. Die Probenahme beginnt um 00.00 Uhr und endet um 24.00 Uhr des gleichen Tages. Jeden 8. Tag wird eine Messung durchgeführt (nach jeder Tagesprobe erfolgt demnach eine Pause von sieben Tagen). Dadurch verschiebt sich die Probenahme jeweils um einen Wochentag. Die Probenahme erfolgt in beiden Messstellen am gleichen Tag. Nach Extraktion der Aktivkohleschicht der Proben mit Kohlenstoffdisulfid wird der gewonnene Extrakt mittels Gaschromatografie und massenspektrometrischer Detektion analysiert. |

| Messprinzipien der diskontinuierlichen Messverfahren | Gerätetyp | Bestimmungs- grenze | Messprinzip |
|--|-----------|---------------------------|---|
| Arsen im PM ₁₀ | | 0,24 ng/ m ³ | Atomabsorptionsspektrometrie mit Hydridsystem |
| Nickel im PM ₁₀ | | 1,2 ng/ m ³ | A |
| Kadmium im PM ₁₀ | | 0,24 ng/ m ³ | Atomabsorptionsspektrometrie im Graphitrohrofen mit Zeeman Untergrundkorrektur |
| Blei im PM ₁₀ | | 0,0012 μg/ m ³ | Graphic officient file Zeeman Office groundkorrektor |
| Benzo(a)pyren | | 0,06 ng/m ³ | Hochleistungsflüssigchromatographie (HPLC) gemäß ÖNORM EN 15549 |

Tabelle 40: Überblick über die diskontinuierlichen Messverfahren

7.5 Messunsicherheiten

Die österreichweit einheitliche Qualitätssicherung der Messdaten ist in der IG-L-Messkonzeptverordnung 2012 [2] in § 10, § 11, § 20 und Anlage 4 geregelt. Diese Vorschriften basieren auf internationalen Normen und Leitfäden, um die weltweite Vergleichbarkeit der Messwerte zu gewährleisten.

Basierend auf diesen gesetzlichen Vorgaben wurde von Vertretern der Länder, des Umweltbundesamtes, sowie des Bundes ein Leitfaden [21] zur Immissionsmessung nach dem Immissionsschutzgesetz-Luft [1] erarbeitet. Er enthält eine österreichweit einheitliche Vorgangsweise für die Qualitätssicherung von Immissionsmessungen nach IG-L.

Die Qualitätsziele der Messdaten werden gemäß Leitfaden [21] anhand der relativen erweiterten kombinierten Messunsicherheit beurteilt.

Die kombinierte Messunsicherheit setzt sich aus den messgeräte- und ortsspezifischen Anteilen, Unsicherheiten des Messverfahrens und der zur Kalibration eingesetzten Prüfgasquelle zusammen, die einzelnen Beiträge werden dabei aufsummiert. Verluste durch die Probenahme werden in dieser Berechnung nicht berücksichtigt.

Für die erweiterte kombinierte Messunsicherheit wird die kombinierte Messunsicherheit verdoppelt, um ein Vertrauensniveau von 95 % zu erreichen. Diese erweiterte kombinierte Messunsicherheit wird für den Vergleich mit den als Prozentzahlen ausgedrückten Datenqualitätszielen (in der Regel 15%) durch Bezug auf den jeweiligen Grenzwert in die relative erweiterte kombinierte Messunsicherheit umgerechnet.

Im Feldbetrieb wird die Messunsicherheit von Schwefeldioxid, Stickstoffoxide und Ozon für den Einstundenmittelwert, für Kohlenmonoxid für den Achtstundenmittelwert, sowie für Schwefeldioxid, Stickstoffoxide und Ozon auch für den Jahresmittelwert berechnet.

Für die einzelnen Komponenten ergeben sich über alle Wiener Messstellen für den Einstundenmittelwert bzw. bei Kohlenmonoxid für den Achtstundenmittelwert die in Tabelle 41 angeführten Werte.

| Komponente | relative erweiterte kombinierte Messunsicherheit, Mittel aller Stationen | relative erweiterte kombinierte Messunsicherheit, Maximum | Datenqualitäts- ziel | Datenqualitäts- ziel eingehalten | |
|--------------------|---|--|-------------------------|-------------------------------------|----|
| SO ₂ | 9,8 % | 9,8 % | 15 % | ja | 6 |
| NO/NO ₂ | 9,6% | 9,6% | 15 % | ja | 16 |
| CO | 13,5 % | 13,5 % | 15 % | ja | 3 |
| O ₃ | 7,0 % | 7,0 % | 15 % | ja | 5 |

Tabelle 41: rel. erweiterte kombinierte Messunsicherheiten für Einstundenmittelwerte 2019

Für die einzelnen Komponenten ergeben sich über alle Stationen für den Jahresmittelwert die in Tabelle 42 angeführten Werte.

| Komponente | relative erweiterte kombinierte Messunsicherheit, Mittel aller Stationen | relative erweiterte kombinierte Messunsicherheit, Maximum | Datenqualitäts- ziel | Datenqualitäts- ziel eingehalten | |
|--------------------|---|--|-------------------------|-------------------------------------|----|
| SO ₂ | 6,4 % | 7,8 % | 15 % | ja | 6 |
| NO/NO ₂ | 8,8 % | 8,8 % | 15 % | ja | 16 |
| O ₃ | 5,1% | 5,1% | 15 % | ja | 5 |

Tabelle 42: rel. erweiterte kombinierte Messunsicherheiten für Jahresmittelwerte 2019

Für die kontinuierlichen tageszeitauflösenden Feinstaubmessungen ist eine relative erweiterte Messunsicherheit von 25 % in Bezug auf den Tagesmittelwert zulässig. Die Beurteilung erfolgt dabei im Rahmen des Nachweises der Äquivalenz und der Herleitung von Kalibrierfunktionen mit Hilfe einer europaweit einheitlichen Excel-Auswertung (siehe Abschnitt 7.6). Nach diesen Ergebnissen wird das Datenqualitätsziel von 25 % für Feinstaub in den Fraktionen PM₁₀ und PM_{2,5} im Jahr 2019 in Wien eingehalten, wie aus nachstehender Tabelle 43 ersichtlich ist.

| Komponente | relative erweiterte Messunsicherheit, Mittel aller Stationen | relative erweiterte Messunsicherheit, Maximum | Datenqualitäts- ziel | Datenqualitäts- ziel eingehalten | |
|-------------------|--|---|-------------------------|-------------------------------------|---|
| PM ₁₀ | 10,7 % | 11,2 % | 25 % | ja | 8 |
| PM _{2,5} | 18,7 % | 19,1% | 25 % | ja | 3 |

Tabelle 43: rel. erweiterte Messunsicherheiten für kontinuierliche Feinstaub-Jahresmittelwerte 2019

²⁰ Die Anzahl der Messstellen, an denen die Messunsicherheit durch Parallelmessung mit einem Referenzverfahren bestimmt wurde.

7.6 Nachweis der Äquivalenz und Herleitung von Kalibrierfunktionen

Gemäß IG-L-MKV 2012, Anlage 1, Abschnitt B, müssen die Messnetzbetreiber, wenn sie ein anderes Verfahren als die Referenzmethode einsetzen, nachweisen, dass das eingesetzte Messverfahren äquivalente Ergebnisse liefert. Die zur Anpassung an das Referenzverfahren angewandte Kalibrierfunktion, sowie deren Herleitung sind im Jahresbericht zu dokumentieren. Die Messstationen, an denen für den Nachweis der Äquivalenz Parallelmessungen mit der Referenzmethode durchgeführt wurden, müssen genannt werden. Für den Nachweis der Äquivalenz ist der Leitfaden der Kommission der Europäischen Gemeinschaft (Guide to the demonstration of equivalence of ambient air monitoring methods [19]) heranzuziehen.

Zur Feinstaub-Messung wurden im Jahr 2019 im Wiener Luftmessnetz Messungen nach dem Referenzverfahren (gravimetrische Messungen mittels Digitel DA-80H) und mit einem äquivalenten Messverfahren mit Messgeräten der Type Grimm EDM 180 durchgeführt. Weitere Einzelheiten zu den Messverfahren sind in Tabelle 39 angegeben.

7.6.1 Verwendete Kalibrierfunktionen

Kalibrierfunktionen äquivalenter PM₁₀-Ergebnisse

| PM ₁₀ -Messstelle | Messgeräte-Typ | Kalibrierfunktion |
|-------------------------------|----------------|---|
| Taborstraße ²¹ | Grimm EDM-180 | $y_{PM10} = 0.871 y_{Grimm-PM10} + 1.099$ |
| AKH ²¹ | Grimm EDM-180 | $y_{PM10} = 0.871 y_{Grimm-PM10} + 1.099$ |
| Belgradplatz | Grimm EDM-180 | $y_{PM10} = 0.871 y_{Grimm-PM10} + 1.099$ |
| Laaer Berg ²¹ | Grimm EDM-180 | $y_{PM10} = 0.871 y_{Grimm-PM10} + 1.099$ |
| Kaiser-Ebersdorf | Grimm EDM-180 | $y_{PM10} = 0.871 y_{Grimm-PM10} + 1.099$ |
| A23-Wehlistraße ²¹ | Grimm EDM-180 | $y_{PM10} = 0.922 y_{Grimm-PM10} + 1.882$ |
| Gaudenzdorf | Grimm EDM-180 | $y_{PM10} = 0.871 y_{Grimm-PM10} + 1.099$ |
| Kendlerstraße ²¹ | Grimm EDM-180 | $y_{PM10} = 0.830 y_{Grimm-PM10} + 0.613$ |
| Schafberg ²¹ | Grimm EDM-180 | $y_{PM10} = 0.871 y_{Grimm-PM10} + 1.099$ |
| Gerichtsgasse ²¹ | Grimm EDM-180 | $y_{PM10} = 0.871 y_{Grimm-PM10} + 1.099$ |
| Lobau ²¹ | Grimm EDM-180 | $y_{PM10} = 0.871 y_{Grimm-PM10} + 1.099$ |
| Stadlau | Grimm EDM-180 | $y_{PM10} = 0.871 y_{Grimm-PM10} + 1.099$ |
| Liesing-Gewerbegebiet | Grimm EDM-180 | $y_{PM10} = 0.871 y_{Grimm-PM10} + 1.099$ |

Tabelle 44: Kalibrierfunktionen für äquivalente PM_{10} -Ergebnisse des Jahres 2019

_

 $^{^{21}}$ An dieser Messstation wurde PM $_{10}$ mit dem gravimetrischen Referenzverfahren gemessen. Zur tagesaktuellen Berichterstattung hat das Wiener Luftmessnetz parallel dazu äquivalente Messverfahren eingesetzt. Die im Jahresbericht veröffentlichten Messergebnisse stammen jedoch vom Referenzverfahren.

Kalibrierfunktionen äquivalenter PM_{2,5}-Ergebnisse

| PM _{2,5} -Messstelle | Messgeräte-Typ | Kalibrierfunktion |
|-------------------------------|----------------|--|
| Taborstraße ²² | Grimm EDM-180 | $y_{PM2,5} = 0.82 y_{Grimm-PM2,5} + 0.6$ |
| AKH ²² | Grimm EDM-180 | $y_{PM2,5} = 0.82 y_{Grimm-PM2,5} + 0.6$ |
| Belgradplatz | Grimm EDM-180 | $y_{PM2,5} = 0.82 y_{Grimm-PM2,5} + 0.6$ |
| Laaer Berg | Grimm EDM-180 | $y_{PM2,5} = 0.82 y_{Grimm-PM2,5} + 0.6$ |
| Kaiser-Ebersdorf | Grimm EDM-180 | $y_{PM2,5} = 0.82 y_{Grimm-PM2,5} + 0.6$ |
| A23-Wehlistraße ²² | Grimm EDM-180 | $y_{PM2,5} = 0.888 y_{Grimm-PM2,5} + 0.938$ |
| Gaudenzdorf | Grimm EDM-180 | $y_{PM2,5} = 0.82 y_{Grimm-PM2,5} + 0.6$ |
| Kendlerstraße | Grimm EDM-180 | $y_{PM2,5} = 0.82 y_{Grimm-PM2,5} + 0.6$ |
| Schafberg | Grimm EDM-180 | $y_{PM2,5} = 0.82 y_{Grimm-PM2,5} + 0.6$ |
| Gerichtsgasse | Grimm EDM-180 | $y_{PM2,5} = 0.82 y_{Grimm-PM2,5} + 0.6$ |
| Lobau | Grimm EDM-180 | $y_{PM2,5} = 0.82 y_{Grimm-PM2,5} + 0.6$ |
| Stadlau | Grimm EDM-180 | $y_{PM2,5} = 0.82 y_{Grimm-PM2,5} + 0.6$ |
| Liesing-Gewerbegebiet | Grimm EDM-180 | $y_{PM2,5} = 0.82 y_{Grimm-PM2,5} + 0.6$ |

Tabelle 45: Kalibrierfunktionen für äquivalente PM_{2.5}-Ergebnisse des Jahres 2019

7.6.2 Herleitung der Kalibrierfunktionen

PM₁₀, Grimm EDM-180

Während des Jahres 2019 wurden im Wiener Luftmessnetz für die tagesaktuelle Berichterstattung, sowie die Erstellung von Monatsberichten die folgenden Kalibrierfunktionen verwendet, die Anfang 2019 für das Jahr 2018 bestimmt wurden (Herleitung siehe[12]):

1. Kalibrierfunktion 2018 für Wien, ohne "Kendlerstraße":

$$y_{PM10} = 0.894 y_{Grimm-PM10} + 0.4$$

2. Kalibrierfunktion 2018 für "Kendlerstraße":

$$y_{PM10} = 0.826 y_{Grimm-PM10}$$

Das Wiener Luftgütemessnetz hat gemäß Leitfaden [19] diese Kalibrierfunktionen durch Parallelmessung mit dem gravimetrischen Referenzverfahren im Zeitraum 1.1.2019 bis 31.12.2019 an den acht Messstellen "Taborstraße", "AKH", "Laaer Berg", "A23-Wehlistraße", "Kendlerstraße", "Schafberg", "Gerichtsgasse" und "Lobau" überprüft. Die unter Anwendung obiger Kalibrierfunktionen ermittelten Vergleichsdaten bestehen die im Leitfaden [19] vorgeschriebenen Überprüfungen²³ nicht! Dabei zeigen die Vergleichsdaten der Messstellen "A23-Wehlistraße" und "Kendlerstraße" einen anderen Zusammenhang als die der restlichen Messstellen. Für äquivalente PM₁₀-Ergebnisse von Messgeräten der Type Grimm EDM-180 wurden die folgenden Kalibrierfunktionen neu ermittelt:

 $^{^{22}}$ An dieser Messstation wurde PM $_{2,5}$ mit dem gravimetrischen Referenzverfahren gemessen. Zur tagesaktuellen Berichterstattung hat das Wiener Luftmessnetz parallel dazu äquivalente Messverfahren eingesetzt. Die im Jahresbericht veröffentlichten Messergebnisse stammen jedoch vom Referenzverfahren.

²³ Die Überprüfungen wurden mit der europaweit standardisierten Excel-Auswertung [20] durchgeführt.

1. Kalibrierfunktion 2019 für Wien, ohne "A23-Wehlistraße" und ohne "Kendlerstraße":

$$y_{PM10} = 0.871 y_{Grimm-PM10} + 1.099$$

2. Kalibrierfunktion 2019 für "A23-Wehlistraße":

$$y_{PM10} = 0.922 y_{Grimm-PM10} + 1.882$$

3. Kalibrierfunktion 2019 für "Kendlerstraße":

$$y_{PM10} = 0.830 y_{Grimm-PM10} + 0.613$$

Diese Kalibrierfunktionen wurden rückwirkend für alle Ergebnisse 2019 angewendet und werden für die tagesaktuelle Berichterstattung, sowie die Erstellung von Monatsberichten auch im Jahr 2020 eingesetzt. Die Herleitung dieser Kalibrierfunktionen erfolgte mit Hilfe der standardisierten Excel-Anwendung [20]. Die Ergebnisse sind in den folgenden Tabellen zusammengefasst.

| Testfall 2019 $y_{PM10} = 0.871 y_{Grimm-PM10} + 1.099$ | Anzahl gültiger Wertepaare | entfernte Ausreißer | Wertepaare Frühling | Wertepaare Sommer | Wertepaare Herbst | Wertepaare Winter | Erweiterte relative Messunsicherheit | Test bestanden? |
|---|-------------------------------|------------------------|------------------------|----------------------|----------------------|----------------------|---|-----------------|
| Taborstraße | 365 | 0 | 90 | 91 | 92 | 92 | 11,2% | ja |
| AKH | 360 | 3 | 87 | 91 | 92 | 90 | 10,1% | ja |
| Laaer Berg | 307 | 0 | 90 | 89 | 83 | 45 | 10,6% | ja |
| Schafberg | 349 | 0 | 90 | 88 | 79 | 92 | 9,3% | ja |
| Gerichtsgasse | 327 | 1 | 85 | 91 | 59 | 92 | 10,2% | ja |
| Lobau | 358 | 1 | 87 | 91 | 92 | 88 | 10,6% | ja |
| alle Stationen | 2066 | 5 | 529 | 541 | 497 | 499 | 10,1% | ja |
| alle Wertepaare > 30 µg/m³ | 227 | 1 | 124 | 35 | 7 | 61 | 15,6% | ja |

Tabelle 46: Ergebnisse der PM₁₀-Äquivalenzüberprüfung mit dem Messgerätetyp Grimm EDM-180 für ganz Wien ohne die Stationen "A23-Wehlistraße" und "Kendlerstraße"

| Testfall 2019 $y_{PM10} = 0,922 \ y_{Grimm-PM10} + 1,882$ | Anzahl gültiger Wertepaare | entfernte Ausreißer | Wertepaare Frühling | Wertepaare Sommer | Wertepaare Herbst | Wertepaare Winter | Erweiterte relative Messunsicherheit² | Test bestanden? |
|---|-------------------------------|------------------------|------------------------|----------------------|----------------------|----------------------|--|-----------------|
| A23-Wehlistraße | 360 | 4 | 87 | 89 | 92 | 92 | 10,2% | ja |
| alle Wertepaare > 30 µg/m³ | 49 | 1 | 25 | 11 | 0 | 13 | 14,9% | ja |

 $Tabelle~47: Ergebnisse~der~PM_{10}-\ddot{A}quivalenz\ddot{u}berpr\ddot{u}fung~mit~dem~Messger\ddot{a}tetyp~Grimm~EDM-180~f\ddot{u}r~die~Station~, \\ A23-Wehlistraße"~A23-Wehlistr$

 $^{^{24}}$ Die erweiterte relative Messunsicherheit berücksichtigt sämtliche Fehlerarten des Messverfahrens und muss für PM $_{10}$ unter 25% liegen.

| Testfall 2019 $y_{PM10} = 0,830 y_{Grimm-PM10} + 0,613$ | Anzahl gültiger Wertepaare | entfernte Ausreißer | Wertepaare Frühling | Wertepaare Sommer | Wertepaare Herbst | Wertepaare Winter | Erweiterte relative Messunsicherheit ²⁴ | Test bestanden? |
|---|-------------------------------|---------------------|------------------------|----------------------|-------------------|-------------------|---|-----------------|
| Kendlerstraße | 362 | 2 | 87 | 91 | 92 | 92 | 10,0% | ja |
| alle Wertepaare > 30 μg/m³ | 44 | 0 | 20 | 9 | 1 | 14 | 17,6% | ja |

Tabelle 48: Ergebnisse der PM₁₀-Äquivalenzüberprüfung mit dem Messgerätetyp Grimm EDM-180 für die Station "Kendlerstraße"

PM_{2,5}, Grimm EDM-180

Während des Jahres 2019 wurde im Wiener Luftmessnetz für die tagesaktuelle Berichterstattung, sowie die Erstellung von Monatsberichten die folgende Kalibrierfunktion verwendet, die Anfang 2019 für das Jahr 2018 bestimmt wurden (Herleitung siehe[12]):

$$y_{PM2.5} = 0.82 y_{Grimm-PM2.5} + 0.60$$

Das Wiener Luftmessnetz hat gemäß Leitfaden [19] diese Kalibrierfunktion durch Parallelmessung mit dem gravimetrischen Referenzverfahren im Zeitraum 1.1.2019 bis 31.12.2019 an den drei Messstellen "Taborstraße", "AKH" und "A23-Wehlistraße" überprüft.

Die unter Anwendung obiger Kalibrierfunktion ermittelten Vergleichsdaten bestehen die im Leitfaden [19] vorgeschriebenen Überprüfungen²⁵ mit Ausnahme der Station "A23-Wehlistraße"! Für äquivalente PM_{2,5}- Ergebnisse von Messgeräten der Type Grimm EDM-180 wurde daher für "A23-Wehlistraße" mit Hilfe der Excel-Anwendung [20] eine neue Kalibrierfunktion ermittelt und für alle anderen Stationen die bestehende Kalibrierfunktion aus 2018 für 2019 übernommen:

1. Kalibrierfunktion 2019 für Wien, ohne "A23-Wehlistraße":

$$y_{PM2.5} = 0.82 y_{Grimm-PM2.5} + 0.60$$

2. Kalibrierfunktion 2019 für "A23-Wehlistraße":

$$y_{PM2,5} = 0.888 y_{Grimm-PM2,5} + 0.938$$

Diese Kalibrierfunktionen wurden rückwirkend für alle Ergebnisse 2019 angewendet und wird für die tagesaktuelle Berichterstattung auch im Jahr 2020 eingesetzt.

²⁵ Die Überprüfungen wurden mit der europaweit standardisierten Excel-Auswertung [20] durchgeführt.

Die Testergebnisse der PM_{2,5}-Kalibrierfunktionen 2019 für Grimm EDM-180 Messgeräte sind in den folgenden Tabellen zusammengefasst:

| Testfall 2019 $y_{PM2,5} = 0.82 y_{Grimm-PM2,5} + 0.6$ | Anzahl gültiger Wertepaare | entfernte Ausreißer | Wertepaare Frühling | Wertepaare Sommer | Wertepaare Herbst | Wertepaare Winter | Erweiterte relative Messunsicherheit ²⁶ | Test bestanden? |
|--|-------------------------------|---------------------|---------------------|-------------------|-------------------|-------------------|---|-----------------|
| Taborstraße | 365 | 0 | 90 | 91 | 92 | 92 | 19,1% | ja |
| AKH | 364 | 0 | 90 | 91 | 92 | 91 | 16,7% | ja |
| alle Stationen | 729 | 0 | 180 | 182 | 184 | 183 | 17,9% | ja |
| alle Wertepaare > 18 µg/m³ | 133 | 0 | 53 | 25 | 11 | 44 | 22,0% | ja |

Tabelle 49: Ergebnisse der PM_{2,5}-Äquivalenzüberprüfung mit dem Messgerätetyp Grimm EDM-180 für Wien ohne der Station "A23-Wehlistraße"

| Testfall 2019 $y_{PM2,5} = 0.888 y_{Grimm-PM2,5} + 0.938$ | Anzahl gültiger Wertepaare | entfernte Ausreißer | Wertepaare Frühling | Wertepaare Sommer | Wertepaare Herbst | Wertepaare Winter | Erweiterte relative Messunsicherheit ²⁶ | Test bestanden? | |
|---|-------------------------------|---------------------|---------------------|-------------------|-------------------|-------------------|---|-----------------|--|
| A23-Wehlistraße | 365 | 0 | 90 | 91 | 92 | 92 | 16,0% | ja | |
| alle Wertepaare > 18 μg/m³ | 68 | 0 | 32 | 12 | 4 | 20 | 17,3% | ja | |

Tabelle 50: Ergebnisse der PM_{2,5}-Äquivalenzüberprüfung mit dem Messgerätetyp Grimm EDM-180 für die Station "A23-Wehlistraße"

 $^{^{26}\, \}text{Die}\,\, erweiterte}\,\, relative\,\, \text{Messunsicherheit}\,\, ber\"{\text{ucksichtigt}}\, s \\ \ddot{\text{a}} mt \\ \text{liche}\,\, \text{Fehlerarten}\,\, des\,\, \text{Messverfahrens}\,\, \text{und}\,\, muss\,\, f \\ \ddot{\text{u}} r\,\, \text{PM}_{2,5}\, \text{unter}\,\, 25\%$ liegen.

8 Literatur²⁷

- [1] Bundesgesetz zum Schutz vor Immissionen durch Luftschadstoffe, mit dem die Gewerbeordnung 1994, das Luftreinhaltegesetz für Kesselanlagen, das Berggesetz 1975, das Abfallwirtschaftsgesetz und das Ozongesetz geändert werden (*Immissionsschutzgesetz-Luft, IG-L*), BGBI I Nr. 115/1997, idF BGBI. I Nr. 73/2018.
- [2] Verordnung des Bundesministers für Land- und Forstwirtschaft, Umwelt und Wasserwirtschaft über das Messkonzept zum Immissionsschutzgesetz-Luft (IG-L-MKV 2012), BGBI. II Nr. 127/2012, idF BGBI. II Nr. 208/2017.
- [3] Verordnung des Bundesministers für Land- und Forstwirtschaft, Umwelt und Wasserwirtschaft über den Aktionsplan zum Immissionsschutzgesetz-Luft, BGBI. II Nr. 207/2002.
- [4] Verordnung des Bundesministers für Land- und Forstwirtschaft, Umwelt und Wasserwirtschaft über Immissionsgrenzwerte und Immissionszielwerte zum Schutz der Ökosysteme und der Vegetation, BGBl. II Nr. 298/2001.
- [5] Bundesgesetz über Maßnahmen zur Abwehr der Ozonbelastung und die Information der Bevölkerung über hohe Ozonbelastungen, mit dem das Smogalarmgesetz, BGBl. Nr. 38/1989, geändert wird (*Ozongesetz*), BGBl 210/1992, idF BGBl I 34/2003.
- [6] Verordnung des Bundesministers für Umwelt, Jugend und Familie über die Einteilung des Bundesgebietes in Ozon-Überwachungsgebiete, BGBI 513/1992, idF BGBI II 359/1998.
- [7] Verordnung des Bundesministers für Land- und Forstwirtschaft, Umwelt und Wasserwirtschaft über das Messkonzept und das Berichtswesen zum Ozongesetz (*Ozonmesskonzeptverordnung Ozon-MKV*), BGBI II Nr. 99/2004, idF BGBI II 209/2017.
- [8] Richtlinie 2008/50/EG des Europäischen Parlaments und des Rates vom 21. Mai 2008 über Luftqualität und saubere Luft in Europa, Amtsblatt der Europäischen Union Nr. L 152 vom 11.6.2008, S. 1 44.
- [9] Amt der Wiener Landesregierung: Statuserhebung Hietzinger Kai 2000 Stickstoffdioxid (NO₂) gemäß
 Immissionsschutzgesetz Luft.
 MA 22 Umweltschutz, MA 22 5389/2001, 2001,

http://www.wien.gv.at/umwelt/luft/pdf/iglstatus2000.pdf.

62

²⁷ Bundesgesetzblätter der Republik Österreich können über das Rechtsinformationssystem des Bundeskanzleramts (http://www.ris.bka.gv.at) eingesehen werden.

- [10] Amt der Wiener Landesregierung: Statuserhebung PM10 2002 & 2003 in Wien gemäß Immissionsschutzgesetz Luft basierend auf einer Studie des Umweltbundesamtes.
 MA 22 Umweltschutz, MA 22 246/2005, 2005,
 http://www.wien.qv.at/umwelt/luft/pdf/iglstatus2003-pm10.pdf.
- [11] Amt der Wiener Landesregierung: Statuserhebung NO₂ 2002 & 2003 in Wien gemäß Immissionsschutzgesetz Luft basierend auf einer Studie des Umweltbundesamtes.

 MA 22 Umweltschutz, MA 22 687/2005, 2005,

 http://www.wien.gv.at/umwelt/luft/pdf/iglstatus2003-no2.pdf.
- [12] Amt der Wiener Landesregierung: Jahresbericht 2018, Luftgütemessungen der Umweltschutzabteilung der Stadt Wien gemäß Immissionsschutzgesetz-Luft.
 MA 22 Umweltschutz, MA 22 583934/2019, 2019,
 https://www.wien.gv.at/umwelt/luft/pdf/luftguete2018.pdf.
- [13] Amt der Wiener Landesregierung: Statuserhebung SO₂ 2005 gemäß Immissionsschutzgesetz-Luft durchgeführt von Wien und Niederösterreich Überschreitung des zulässigen SO₂-Halbstundenmittelwertes an der Messstelle Hermannskogel.
 MA 22 Umweltschutz, MA 22 272/2006, 2006, http://www.wien.gv.at/umwelt/luft/pdf/iglstatus2005-so2.pdf.
- [14] Amt der Wiener Landesregierung: Statuserhebung NO₂ 2006 gemäß Immissionsschutzgesetz Luft. MA 22 Umweltschutz, MA 22 1295/2008, 2008, http://www.wien.gv.at/umwelt/luft/pdf/iglstatus2006-no2.pdf.
- [15] W. Spangl, C. Nagl: *Jahresbericht der Luftgütemessungen in Österreich 2018.*Umweltbundesamt GmbH, Reports, Band 0675, ISBN 978-3-99004-494-0,
 http://www.umweltbundesamt.at/fileadmin/site/publikationen/REP0675.pdf.
- [16] Verordnung des Bundesministers für Land- und Forstwirtschaft, Umwelt und Wasserwirtschaft, betreffend die Kriterien für die Beurteilung, ob eine PM10-Grenzwertüberschreitung auf Aufwirbelung von Partikeln nach Ausbringung von Streusalz oder Streusplitt zurückzuführen ist, BGBI II Nr. 131/2012.
- [17] Wolf A., Fröhlich M., Moosmann L.: Äquivalenztest für PM10 und PM2,5, Äquivalenztest optischer PM-Monitore im Auftrag der Firma Grimm an 4 Messstellen in Österreich, Umweltbundesamt GmbH, Jänner 2010,

 http://www.grimm-aerosol.com/assets/grimm_aerosol_technik_report_approval_pm10_2-5.pdf
- [18] Fröhlich M.: "Österreichischer PM-Äquivalenztest", Umweltbundesamt GmbH, ÖAW Sitzung vom 6.11.2008.
- [19] EC WORKING GROUP (2010): "Guide to the Demonstration of Equivalence of Ambient Air Monitoring Methods", Report by an EC Working Group on Guidance for the Demonstration of Equivalence, Jänner 2010.

 (http://ec.europa.eu/environment/air/quality/legislation/pdf/equivalence.pdf)
- [20] Harrison, D.: CEN-TC264-WG15_N0807_Equivalence_Tool_V30_Beta_151119.xlsx, Bureau Veritas, 16.11.2019.

- [21] Vertreter der Länder und des Bundes: *Leitfaden zur Immissionsmessung nach dem Immissionsschutzgesetz-Luft (i.d.g.F.)*, Österreichweit einheitliche Vorgangsweise zur Sicherstellung der Vergleichbarkeit der Immissionsmessdaten, Teil 1: Kontinuierliche Immissionsmessung von SO₂, NO_X, CO und O₃, Umweltbundesamt GmbH, 2009.
- [22] Richtlinie (EU) 2015/1480 der Kommission vom 28. August 2015 zur Änderung bestimmter Anhänge der Richtlinien 2004/107/EG und 2008/50/EG des Europäischen Parlaments und des Rates betreffend Referenzmethoden, Datenvalidierung und Standorte für Probenahmestellen zur Bestimmung der Luftqualität, Amtsblatt der Europäischen Union Nr. L 226 vom 29.8.2015, S. 4-11.
- [23] Richtlinie 2004/107/EG des Europäischen Parlaments und des Rates vom 15. Dezember 2004 über Arsen, Kadmium, Quecksilber, Nickel und polyzyklische aromatische Kohlenwasserstoffe in der Luft, Amtsblatt der Europäischen Union Nr. L 23 vom 26.1.2005, S. 3-16.